

НУБІП України

НУБІП України

МАГІСТЕРСЬКА КВАЛІФІКАЦІЙНА РОБОТА

НУБІП України

ШЕЛЕПЕТЕНЬ НАЗАР БОГДАНОВИЧ

НУБІП України

НУБІП України

НУБІП України

НУБІП України

# НУБІП України

НАЦІОНАЛЬНИЙ УНІВЕРСИТЕТ БЮРЕСУРСІВ  
І ПРИРОДОКОРИСТУВАННЯ УКРАЇНИ

Механіко-технологічний факультет

УДК 631.372-027.45

НУБІП України

ПОГОДКЕНО  
Декан механіко-технологічного факультету

ДОПУСКАЄТЬСЯ ДО ЗАХИСТУ  
Завідувач кафедри  
технічного сервісу та інженерного  
менеджменту імені М. П. Момотенка  
(назва кафедри)

Вячеслав БРАТШКО

Іван РОГОВСЬКИЙ

НУБІП України

(підпис) (ім'я, прізвище)  
«  
» 2023 р.

(підпис) (ім'я, прізвище)  
«  
» 2023 р.

# НУБІП України

МАГІСТЕРСЬКА КВАЛІФІКАЦІЙНА РОБОТА

на тему Удосконалення експлуатаційних властивостей комбінованого керування пружно-демпуючими елементами системи підресорювання автомобіля

НУБІП України

Спеціальність 274 «Автомобільний транспорт»  
(код і назва)

Освітня програма «Автомобільний транспорт»  
(назва)

Орієнтація освітньої програми освітньо-професійна  
(освітньо-професійна, або освітньо-наукова)

НУБІП України

Гарант освітньої програми  
доктор технічних наук, професор  
(науковий ступінь та вчене звання)

Керівник магістерської кваліфікаційної роботи  
д.т.н., проф.

Валерій ВОЙТЮК  
(ім'я, прізвище)

Валерій ВОЙТЮК  
(освітньо-професійна, або освітньо-наукова)

НУБІП України

Виконав:  
(науковий ступінь та вчене звання)

Назар НЕЛЕНЕНТЬ  
(ім'я, прізвище)

КІЇВ – 2023

# НАЦІОНАЛЬНИЙ УНІВЕРСИТЕТ БЮРЕСУРСІВ І ПРИРОДОКОРИСТУВАННЯ УКРАЇНИ

## Механіко-технологічний факультет

ЗАТВЕРДЖУЮ

Завідувач кафедри технічногосервісуга

інженерного менеджменту ім. М.П.Момотенка

д.т.н., проф.

(науковий ступінь, зване звання)

Іван РОГОВСЬКИЙ

(підпись)

(ім'я, прізвище)

«\_\_\_\_\_»

2023 р.

# ЗАВДАННЯ ДО ВИКОНАННЯ МАГІСТЕРСЬКОЇ КВАЛІФІКАЦІЙНОЇ РОБОТИ СТУДЕНТУ

Назарій ШЕЛЕПЕТЕНЬ  
(прізвище, ім'я, по батькові)  
Спеціальність 274 «Автомобільнийтранспорт»  
(код і назва)

Освітня програма «Автомобільнийтранспорт»  
(назва)

Орієнтація освітньої програми освітньо-професійна

(освітньо-професійна або освітньо-пружова)

Тема магістерської кваліфікаційної роботи Удосконаленняексплуатаційнихвластивостей  
комбінованогокеруванняпружно-демфуючимиелементамисистеміпідресорюванняавтомобіля  
затверджена наказом ректора НУБіП України від «30» грудня 2022 р. № 1944 «С»

Термін подання завершеної роботи на кафедру

(рік, місяць, число)

Вихідні дані до магістерської кваліфікаційної роботи науково-технічна література; результати науково-  
дослідних робіт по літературних джерелах удосконалення експлуатаційних властивостей комбінованого  
керуванняпружно-демфуючимиелементамисистеміпідресорюванняавтомобіля

Перелік питань, що підлягають дослідженню:

1. Аналізстанутинядослідженъ,мета,задачідослідження

Теоретичний

розрахунок значень удосконалення експлуатаційних властивостей комбінованого керуванняпружно-  
демфуючимиелементамисистеміпідресорюванняавтомобіля

3. Методика експериментальних дослідень удосконалення експлуатаційник властивостей  
комбінованогокеруванняпружно-демфуючимиелементамисистеміпідресорюванняавтомобіля

4. Результатиекспериментальнихдослідженъ,техніко-економічнаефективністьвиконанихдослідженъ

Перелік графічного матеріалу Електроннапрезентаціяна14слайдах

Дата видачі завдання

«11»листопада2022р.

Керівник магістерської кваліфікаційної роботи

Валерій ВОЙТЮК

(підпись)

(ім'я прізвище)

Завдання прийняв до виконання

(підпись)

Назарій ШЕЛЕПЕТЕНЬ

(ім'я прізвище)

# НУБІП України

Магістерська робота складається з **РЕФЕРАТ** сторінок пояснівальної записки, листів формату А1 графічної частини і комплекту технологічної документації.

Мета роботи – провести комплексний аналіз існуючих способів і на його основі розробити технологічний процес ремонту рульового керування автомобіля **AUDI-80** з дослідженням поздовжньо-кутових коливань транспортного засобу.

Пояснювальна записка складається з шести частин. В загально-технічній частині проведений аналіз конструктивно-технологічних особливостей призначення деталей, приводиться короткий опис існуючих способів конструкцій рульового керування. В технологічній частині розроблено технологічні процеси діагностування, розбирання, складання гідропідсилювача рульового керування, розроблено технологічний процес дефектування і відновлення вала сошки.

В конструкторській частині приведено конструкцію і розрахунок спец пристосування – знімача підшипників. В організаційно-економічній частині дипломної роботи представлено техніко-економічне обґрунтування вартість деталі, повну вартість ремонту вузла, економічний ефект від впровадження запропонованого технологічного процесу, а також наведені заходи по економії матеріальних та енергетичних ресурсів.

Експериментальним дослідженням випробувань була перевірка теоретичних передумов про вплив РУП на параметри коливань підпресореною і непідпресореною мас і зсув ДН. Для цього проводився запис коливань пневмопідвіски з серйними і з удосконаленими регуляторами. Для проведення експериментів був створений контрольно-вимірювальний комплекс. Типові осцилограми коливань ДН передньої і задньої підвісок при русі автомобіля з серйним РУП.

# НУБІП України

## ЗМІСТ

### ВСТУП

### ЗАГАЛЬНО-ТЕХНІЧНИЙ РОЗДІЛ

1.1 Будова та характеристика рульового управління

1.2 Різновиди рульових рейок та їх загальна будова

1.3 Характерні несправності рульового управління

1.4 Висновки та постановка завдання на магістерську роботу

## 2 ТЕХНОЛОГІЧНА ЧАСТИНА

2.1. Розробка технологічного процесу ремонту деталі

2.2. Критерій ефективного зносу деталей рульових рейок

2.3. Технологія ремонту рульової рейки

2.4. Розбирання або збирання рульового керування

2.5. Технологічний план виконання всіх ремонтних операцій

2.6. Розрахунок операцій технологічного процесу.

## 3. КОНСТРУКТОРСЬКА ЧАСТИНА

3.1. Стенд для розбирання рульового механізму.

3.2. Здійснення перевірки та регулювання дюфта

3.3. Знімач пальців тяги рульової

3.4. Розрахунок електроприводу електромеханічного підйомника

3.5. Розрахунок деталей пристрою на міцність

## 4 СПЕЦІАЛЬНА ЧАСТИНА

4.1 Використання прикладного програмного забезпечення для вирішення задач

магістерської роботи

4.2 Класифікація програмного забезпечення САПР

4.3 Впровадження систем автоматизованого проектування

## **5 НАУКОВА ЧАСТИНА**

5.1. Аналіз заходів по управлінню ресурсом машини

5.2 Удосконалення системи технічного обслуговування ходової частини автомобіля

5.3 Стабілізація динамічної підвіски ТЗ шляхом удосконалення конструктивних параметрів.

## **6 ПРОЕКТНИЙ РОЗДІЛ**

6.1 Розрахунок річної виробничої програми автомобільного парку підприємства

6.1.1 Вибір і корегування нормативів

6.1.2 Визначення кількості ТО і КР за цикл

6.1.3 Розрахунок коефіцієнтів технічної готовності і використання автомобілів

6.1.4 Визначення річного пробігу автомобілів

6.1.5 Розрахунок коефіцієнту переходу від циклу до року

6.1.8 Визначення річного обсягу робіт з ТО і ремонту автомобілів

6.1.7 Визначення змінної програми ТО автомобілів

6.1.9 Визначення обсягу робіт по самообслуговуванню автомобільного парку

підприємства

6.2 Розрахунок обсягу проектування

6.2.1 Розподіл обсягу робіт для визначення розрахункових даних

6.2.2 Розрахунок кількості робітників

6.2.3 Вибір технологічного устаткування і оснастки

6.2.4 Розрахунок площі обґрунтування планувальних рішень

## **7 ОБГРУНТУВАННЯ ЕКОНОМІЧНОЇ ЕФЕКТИВНОСТІ**

7.1 Підприємство як економічний суб'єкт

7.2 Визначення вартості відновлення деталі

7.3 Заходи по економії матеріальних та енергетичних ресурсів

7.4 Визначення вартості відновлення деталі без використання пристрою

7.5 Розрахунок економічної ефективності впровадження пристрою

# НУБІП України

В процесі експлуатації автомобіля його робоча властивість поступово

погіршується із-за зношування деталей. Справним вважають автомобіль, який відповідає всім вимогам нормативно-технологічної документації. Працездатний автомобіль на відміну від справного повинен задовільнити лише тим вимогам, виконання яких дозволяє використовувати його за призначенням без загрози безпеці руху. Пошкодженням називають перехід автомобілів в несправних, але в працездатних стан. Відмовою називають перехід автомобіля в непрацездатний

стан. Поточний ремонт автомобіля проводять на автотранспортних підприємствах він повинен забезпечувати гарантовану працездатність автомобіля на пробігу іншого чергового планового ремонту. При тривалій експлуатації автомобіля досягають такого стану, коли їх ремонт в умовах АТП ставати неможливим або економічно недоцільним, в цьому випадку вони прямують на авторемонтне підприємство.

Близько 70-75% деталей автомобіля що наступили на капітальний ремонт, може поступати повторно або без ремонту, або після їх відновлення. До них відносяться більшість найбільш складних і дорогих деталей, а так само і валі, осі, дапфи та інші. Вартість відновлення цих деталей не перевищує 10-50% вартості їх виготовлення при цьому досягається велика економія металу і енергетичних ресурсів.

# НУБІП України

# НУБІП України

# ЗАГАЛЬНО-ТЕХНІЧНИЙ РОЗДІЛ

## 1.1 Будова та характеристика рульового управління

Рульова рейка (кермовий редуктор) – це силовий агрегат кермового механізму, призначений для перерозподілу сил від кермової колонки до керованих коліс.

Зусилля водія послідовно передається від колеса кермового керування на кермову колонку, з'єднану через кермовий кардан з кермовою рейкою (редуктором), а далі через Рульові тяги та наконечники зусилля передається на поворотні важелі, з'єднані з керованими колесами через поворотні папфи. Рульова рейка вважається досить надійним вузлом, який виходить з ладу рідко, однак бувають і виключення, коли рейка доставляє масу незручностей автовласникам. Основною причиною несправності можна вважати навантаження, яким піддається рульова рейка під час експлуатації транспортного засобу.

Черівна дорога "передається" рейці з рульовим тягам, крім того рульова рейка схильна навантажень з боку самого водія, який волею-неволею постійно обертає рульове колесо, тим самим навантажуючи рейку. Саме з цих причин довговічна на перший погляд деталь, може легко вийти з ладу і доставити масу неприємностей.

Розрізняють кілька основних видів рульових рейок — механічна та гіdraulічна (гідропідсилювач керма — ГУР). Перша — властива першим вітчизняним моделям, нащадки яких випускаються і донині. Механічна рейка згодом була замінена гіdraulічною через більш досконалого механізму наступниці і зручного управління. Трохи пізніше з'явився і третій тип рульової рейки — електричний (ЭУР). Дано модифікація працює без гіdraulіки, її роль виконує електромоторчик. Недоліком ЭУР є висока вартість і складність механізму, ремонт якого не кожному під силу.

Рульова рейка складається з таких механізмів:

**Рульові тяги і наконечники** Крімляться вони до висувними механізмами рульової рейки, з їх допомогою здійснюється поворот коліс;

**Шестерні і зубчаста планка.** За допомогою шестерень і планки здійснюється передача зусилля від керма на рульові тяги, а також управління парою коліс;

**Картер** Його також називають корпусом, найчастіше виконаний з алюмінію, у ньому розташовуються основні деталі рейки;

**Система пружин.** Необхідні вони для щільного прилягання рейки до шестірні, якщо пружини справні, люфт і вільний хід керма практично відсутні;

**Підшипники** Необхідні для легкості здійснення маневрів і поворотних рухів рейки

**Обмежувачі.** За допомогою обмежувачів визначається максимальне значення повороту (ходу рульової рейки) від правого до лівого краю.

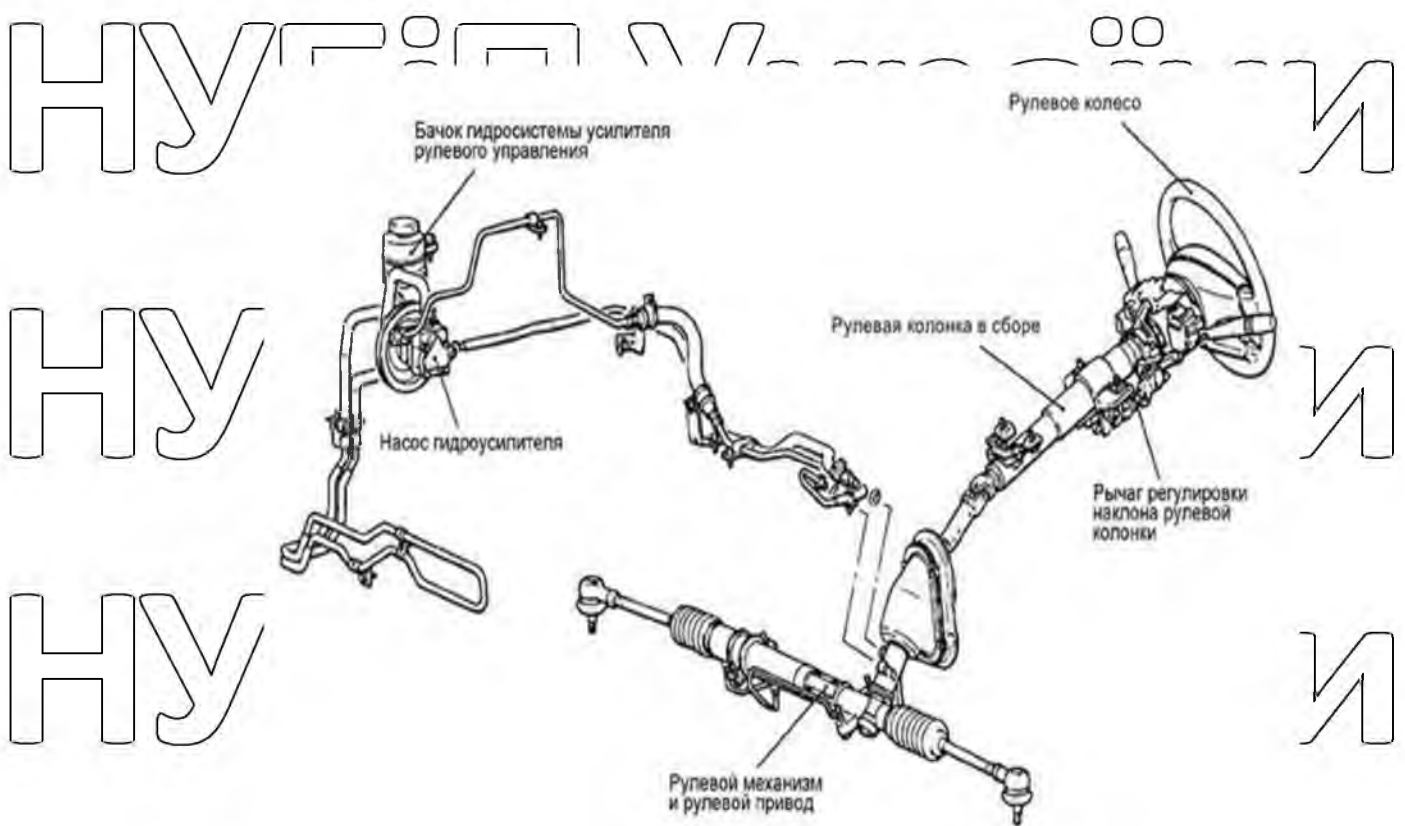


Рисунок 1.1 – Загальна будова рульового управління

Підсилювач керма з'єднаний з картером рульової рейки, тому в роботу він включається лише тоді, коли мотор працює і відбувається нагнітання рідини ГУР. У рух шків гідропідсилювача приводить ремінна передача, в свою чергу гіdraulічний насос всередині рейки створює тиск і впливає на колісні тяги на вимогу водія. Важливу роль у роботі ГУР грає вбудований комп'ютер, який виробляє розрахункову силу і тиску.

Торсіон в зв'язку з електросистемами розподіляє тиск в залежності від повороту керма;

Золотниковий розподільник є джерелом нагнітання тиску, здатний підвищувати тиск у реїці в залежності від потреби;

Спеціальна ємність слугує для збору масла коли двигун заглушеній. Як тільки кермо починає обертання, відбувається вприскування олії через золотниковий розподільник, саме туди де необхідно створити тиск. Після того, як кермо припиняє обертатися, насос ГУР перестає нагнітати масло, в результаті воно повертається в ємність.

## 1.2 Різновиди рульових рейок та їх загальна будова

Перший вид конструкцій рульових рейок з гідропідсилювачем керма був відомий:

*Без сервомоторіка*

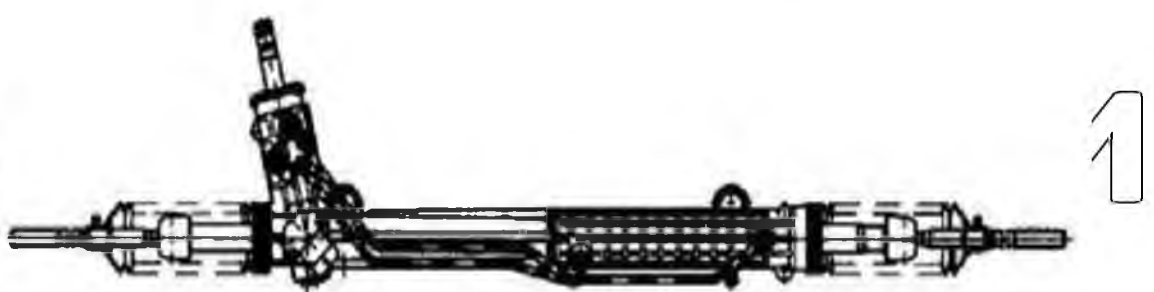


Рисунок 1.2 – Рульова рейка без сервомоторіка

НУБІП Український

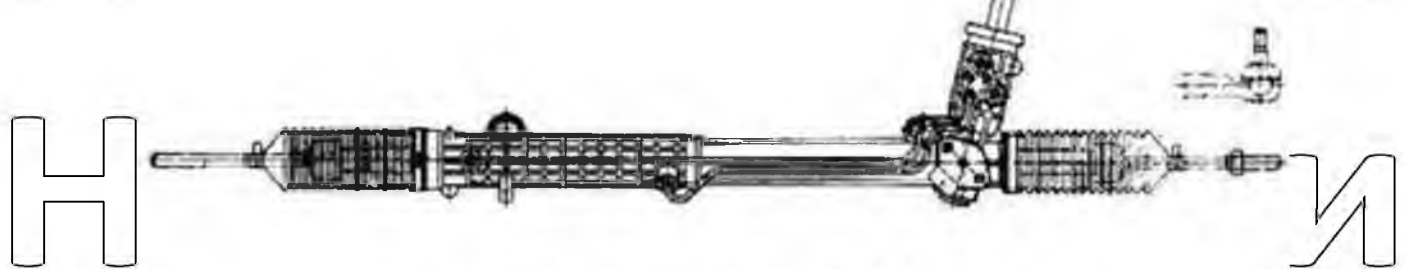
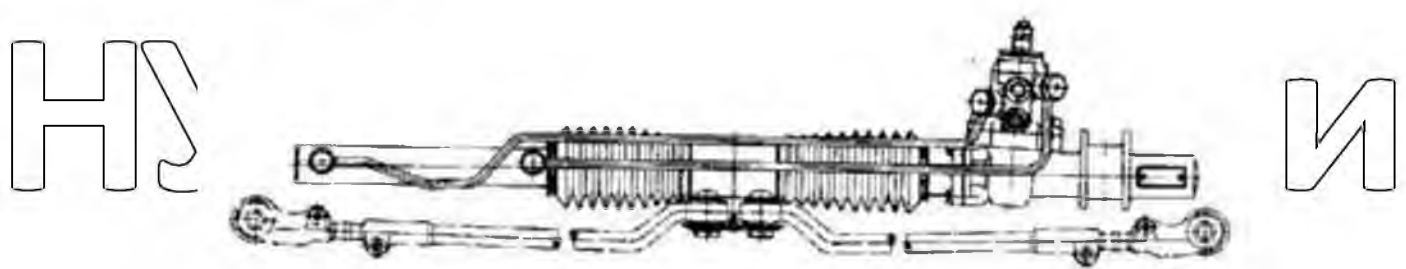


Рисунок 1.3 – Рульова рейка з серватроніком

НУБІП Український  
Без серватроніка



НУБІП Український  
Рисунок 1.4а – Рульова рейка з гідропідсилювачем та без серватроніка

з серватроніком



НУБІП Український  
Рисунок 1.4б – Рульова рейка з гідропідсилювачем та з серватроніком

1. Механічні



Рисунок 1.5 – Механічна рульова рейка автомобіля Infiniti EX-50



Рисунок 1.6 – Механічна рульова рейка автомобіля Daihatsu Materia



Рисунок 1.7 – Механічна рульова рейка автомобіля Daewoo Lanos

НУ



їНИ

НУ

їНИ

НУБІП УКРАЇНИ

2.Гідравлічні

Рисунок 1.8 – Механічна рульова рейка авто поблизу Nissan X-Trail

НУ



НИ

НУБІЙ

УКРАЇНИ

Рисунок 1.9 – Рульова рейка з гідропідсилювачем Hyundai Atos

НУ



їНИ

НУБІП

УКРАЇНИ

Рисунок 1.10 – Рульова рейка з гідропідсилювачем Porsche Cayenne



Рисунок 1.11 – Рульова рейка з гідропідсилювачем Infiniti FX

3. Електричний



Рисунок 1.12 – Електрична Рульова рейка Audi A3



Рисунок 1.13 – Електрична Рульова рейка VOLKSWAGEN Golf V



Рисунок 1.14 – Електрична рульова рейка FORD Focus-3



Рисунок 1.15 – Пристрій рульової рейки без сервотроніка:  
1- вал рульової рейки, 2- корпус рульової рейки, 3- золотник, 4- верхній  
підшипник, 5- золотник, 6- кришка золотника, 6- середній підшипник  
золотника, 7- регулювальний притиск, 8- пружина, 9- гайка регулювального  
притиску, 10- трубопровід рульової рейки, 11- трубопровід рульової рейки, 12-  
рульова тяга, 13- пильник рульової тяги, 14- наконечник рульової тяги, 15-  
права втулка, 16- рульова тяга, 17- пильник рульової тяги, 18- наконечник  
рульової тяги, 19- хомут пильника рульової тяги, 20- хомут пильника кермової  
тяги, 21- стопорне кільце, 22- кільце ущільнювача, 23- права втулка ковзання,  
24- сальник силового циліндра, 25- кільце ущільнювача поршня, 26- кільце  
ущільнювача поршня, 27- сальник силового циліндра, 28- втулка ковзання, 29-

30- кільце ущільнювача, 30- хомут пильовика кермової тяги, 31- хомут пильовика кермової тяги, 32- вкладиш притиску, 33- кільце ущільнювача, 34- кільце ущільнювача трубопроводу, 35- кільце ущільнювача трубопроводу, 36- кільце ущільнювача трубопроводу, 37- середній сальник золотника, 38- кільця ущільнювачів золотника, 39- верхній сальник золотника, 40- кільце ущільнювача втулки золотника, 41- брудознімач.

Пристрій рульової рейки з сервотроніком (Рисунок 1.16)

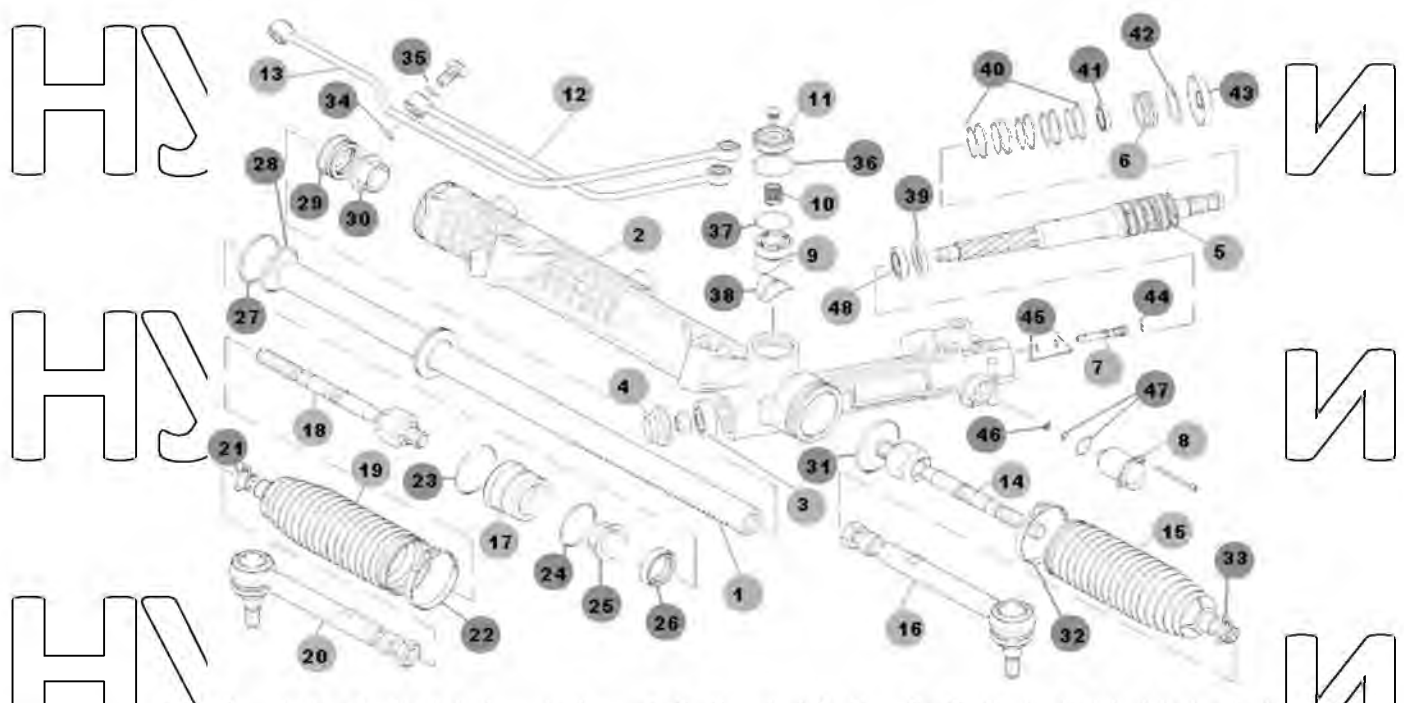


Рисунок 1.16 – Пристрій рульової рейки з сервотроніком.

1-вал рульової рейки, 2-корпус рульової рейки, 3- нижній підшипник золотника, 4- кришка нижнього підшипника золотника, 5- золотник, 6- кринка золотника, 7- регулювальний клапан, 8- датчик сервотроніка, 9- притиск 10- пружина, 11- гайка притиску, 12- трубопровід рульової рейки, 13- трубопровід рульової рейки, 15- рульова тяга, 16- пильник рульової тяги, 17- наконечник рульової тяги, 18- права втулка, 19- рульова тяга, пильник рульової тяги 20 - наконечник рульової тяги, 21- хомут пильника кермової тяги, 22- хомут пильника кермової тяги, 23- стопорне кільце, 24- кільце ущільнювача, 25- втулка ковзання, 26- сальник силового циліндра, 27- кільце ущільнювача

поршня, 28- кільце ущільнювача поршня, 29- сальник силового циліндра, 30- втулка ковзання, 31- кільце ущільнювача, 32- хомут пильника кермової тяги, 33- хомут нильника кермової тяги, 34- кільце ущільнювача, 35- кільце ущільнювача, 36 ущільнююче кільце, 37- ущільнююче кільце, 38- вкладиш притиску, 39- нижній сальник золотника, 40- кільця ущільнювачів золотника, 41- верхній сальник золотника, 42- кільце ущільнювача, 43- рівезні мати, 44- кільце ущільнювача, 45- кільця ущільнювачів, 46- фільтр серватроніка, 47- ущільнюючі кільца.

Пристрій рульової рейки з гідропідсилювачем без сервотроніка:

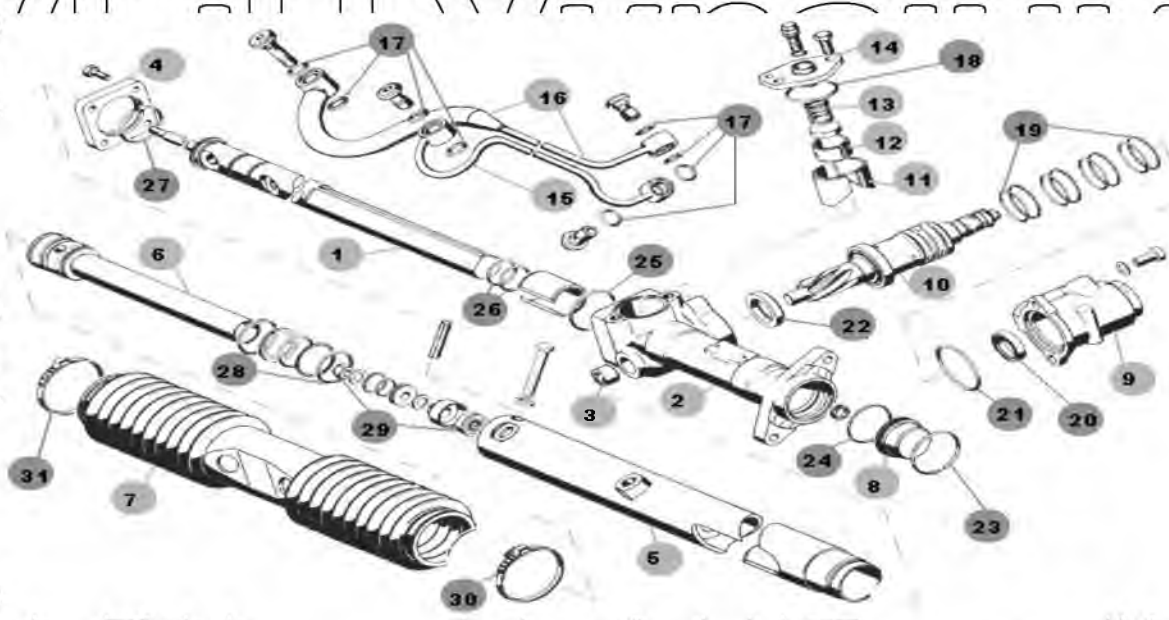


Рисунок 1.17 Пристрій рульової рейки з гідропідсилювачем без сервотроніка:

1-вал рульової рейки, 2-корпус рульової рейки, 3-нижній підшипник золотника, 4-фланець, 5-корпус силового циліндра, 6-силовий циліндр, 7-Пильник рульової рейки, 8-заглушка, 9- корпус золотника, 10- золотник, 11- притиск, 12-направляюча притиску, 13- пружина, 14-фіксатор притиску, 15-трубопровід рульової рейки, 16- трубопровід рульової рейки, 17- ущільнююче кільце (8 шт), 18- кільце ущільнювача, 19- кільця ущільнювачів золотника, 20- верхній сальник золотника, 21- кільце ущільнювача, 22- нижній сальник золотника, 23- стопорне кільце, 24- кільце ущільнювача, 25-кільце ущільнювача, 26- кільце ущільнювача, 27- кільце ущільнювача, 28-ущільнення поршня, 2-ущільнення

силового циліндра, 30- хомут пильника кермової рейки, 31-хомут пильника кермової рейки.

Пристрій рульової рейки з гідропідсилювачем та сервотроніком

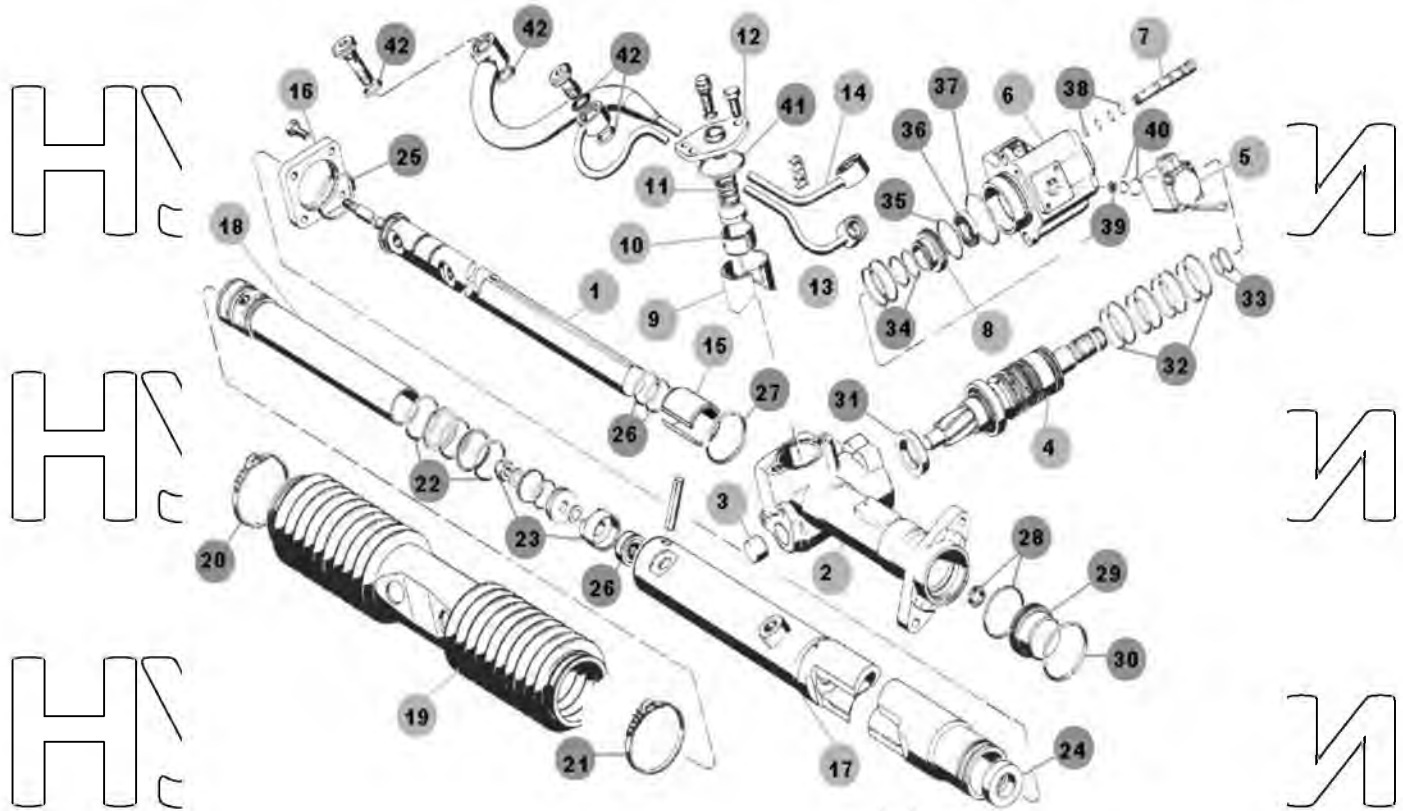


Рисунок 1.18 – Пристрій рульової рейки з гідропідсилювачем та

сервотроніком:

1-вал рульової рейки, 2-корпус рульової рейки, 3-нижній підшипник золотника, 4- золотник, 5-датчик сервотроніка, 6- корпус золотника, 7-регулювальний клапан сервотроніка, 8- регулятор сервотроніка, 9-вкладиш притиску, 10- напрямна притиску, 11-пружина, 12-фіксатор притиску, 13-трубопровід рульової рейки, 14-трубопровід рульової рейки, 15-середня втулка ковзання, 16- фланець, 17-корпус силового циліндра, 18-силовий циліндр, 19- пильник рульової рейки, 20-хомут пильника, 21- хомут пильника, 22-ущільнення поршня, 23-ущільнення силового циліндра, 24-втулка ковзання, 25- кільце ущільнювача, 26-кільця ущільнювачів, 27-кільце ущільнювача, 28-кільця ущільнювачів, 29- заглушка, 30-стопорне кільце, 31-нижній сальник золотника, 32-кільця ущільнювачів, 33-кільця ущільнювачів датчика сервотроніка, 34-кільця ущільнювачів регулятора сервотроніка, 35-кільце

ущільнювача, 36- верхній сальник золотника, 37- кільце ущільнювача, 38- кільце ущільнювачів, 39- фільтр серватроніка, 40- кільце ущільнювачів, 41- кільце ущільнювача, 42- кільце ущільнювачів трубопроводів.

### *Механічна рульова рейка*

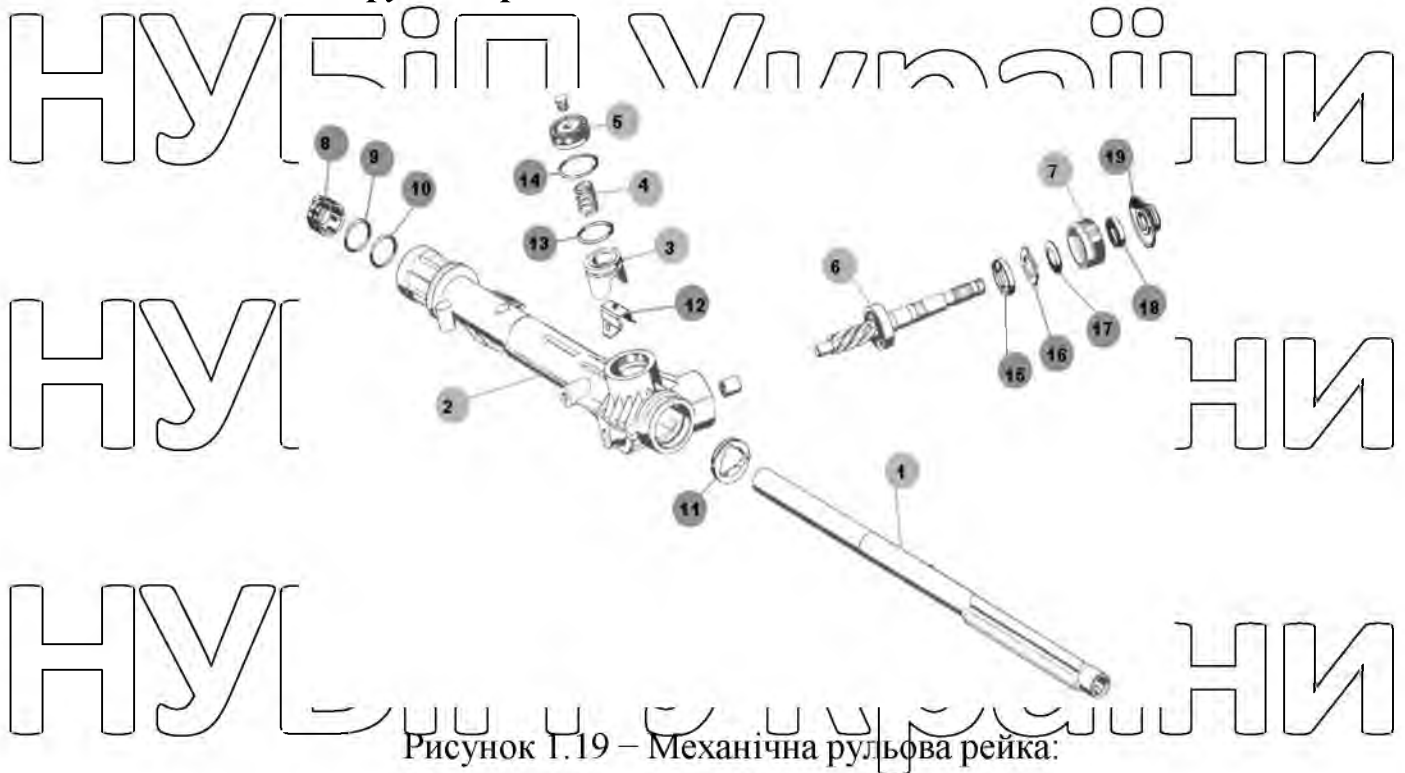


Рисунок 1.19 – Механічна рульова рейка:

1-вал рульової рейки, 2-корпус рульової рейки, 3-регулювальний притиск, 4-пружина, 5- гайка притиску, 6- первинний вал, 7- верхній підшипників, 8- права втулка, 9- пружина ковзання, 10- ущільнення втулки ковзання, 11- ущільнення втулки ковзання, 12- ліва втулка ковзання, 13- вкладиш притиску, 14- кільце ущільнювача притиску, 15- кільце ущільнювача притиску, 16- верхній підшипник золотника, 17- кільце ущільнювача, 18- кільце ущільнювача, 19- верхній сальник золотника, 20- брудознімач

### **1.3 Характерні несправності рульового управління**

Характерними відмовами і несправностями рульового керування :

ослаблення кріплення картера рульового механізму, підвищений знос деталей рульового механізму, кульовик зчленувань тяг і важелів, ослаблення кріплення

рульового колеса і рульової копонки, викришування черв'ячної пари і неправильне регулювання (надмірне затягування деталей) рульового механізму.

Несправностями гідропідсилювача рульового приводу є:

Недостатній або занадто високий рівень масла в бачку насоса, наявність повітря (піна в масляному бачку) або води в системі, несправність насоса, підвищена витік масла в рульовому механізмі, засмічення фільтрів, несправна робота перепускного чи запобіжного клапана насоса (періодичне зависання, зайдання, відвернення сідла), недостатнє натяг ременя приводу насоса.

Зазначені несправності призводять до зростанню вільного ходу (люфту)

рульового колеса, зусилля на прокручування обода рульового колеса при повороті ступців в рульовому механізмі до появи масла з сапуна насоса (гідропідсилювача рульового колеса) і т. д. Можливо зайдання або заклинивання рульового механізму.

Зусилля, що прикладається до обода рульового колеса при вивішених колесах, має бути в межах для легкових автомобілів: 7-12 Н. Перевіряють також кріплення і стан шарнірних з'єднань тяг рульового приводу. Люфт визначають за допомогою динамометра-люфтometра закріпленого на рамі рульового колеса затискачами 1.

Кутове переміщення колеса визначають під дією сили в 10 Н, що додається до динамометру 2. На автомобілях з гідравличним підсилювачем рульового управління люфт вимірюють при працюючому двигуні. Визначення сумарного люфту не дає уявлення про те, за рахунок якого сполучення або вузла сталося його збільшення, якщо попередньо не перевірити підтяги картер рульового механізму, рульову сошку;

При ПТО перевіряють герметичність з'єднань гідропідсилювача.

Переконуються у відсутності підтікання рідини. При необхідності підтягають кріплення. Перевіряють стан приводу рульового керування зовнішнім оглядом, переконавшись в наявності шплінтів, гайок пальців шарнірних з'єднань і відсутності погнутості тяг.

При цьому контролюють стерновий механізм динамометром-люфтметром при прямолінійному положенні коліс автомобіля. Контролюють зусилля прокручування рульовою колеса при вивішених передніх колесах. Перевіряють і при необхідності усувають люфт в шарнірних з'єднаннях рульових тяг. Люфт зручніше перевіряти вдвох: один різко повертає кермове колесо вправо і вліво, а інший дивиться на переміщення шарнірного з'єднання.

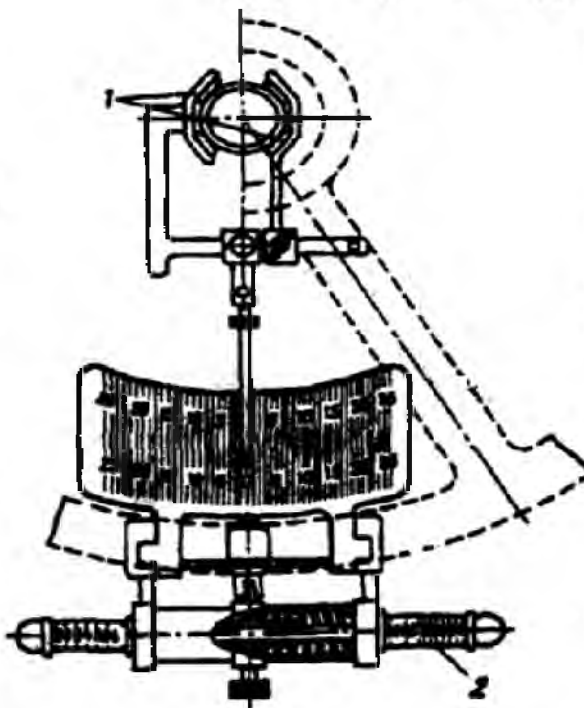


Рисунок 1.20 – Динамометр-люфтметр

Якщо одна деталь з'єднання переміщається, а інша нерухома, то є люфт; якщо ж переміщаються, обидві деталі одночасно, то люфту немає. Визначити люфт в шарнірних з'єднаннях можна також переміщенням тяги руками в довжньому напрямі. Якщо, наприклад, поздовжня тяга переміщується разом з сошкою, то люфт в шарнірному з'єднанні відсутній. Шоб відрегулювати люфт, необхідно розшпільнити пробку і затягувати її спеціальним ключем до відчутного опору, а потім відвернути пробку до першого положення, при якому її можна зашпільнити.

Перевіряють шплінтовку гайок кульових пальців оглядом і, знявши кришку бачка гідропідсилювача, перевіряють в новому рівні масла і рівень масла в картері рульового механізму, при необхідності його доливають.

Перевіряють і при необхідності регулюють натяг ременя приводу насоса гідропідсилювача (прогин під зусиллям 40 Н повинен бути не більше 8 - 14 мм).

При ТО - перевіряють кріплення рульового колеса. Злегка переміщають кермове колесо вздовж валу або похитують його в напрямку, перпендикулярном площині обертання колеса. При виявленні ослаблення кріплення знімають кнопку сигналу і підтягають гайку кріплення колеса на рульовому валу накидним ключем.

#### 1.4 Висновки та постановка завдання на магістерську роботу

Проаналізувавши характеристику рульового управління, що ремонтується, конструктивно-технологічні особливості, призначення і умови роботи відремонтованої рульової рейки, було зроблено наступні висновки:

При виборі способу ремонту слід в першу чергу уважу звертати на якість і фізичні властивості відремонтованої рейки, а потім на економічні показники (це зумовлено тим, що відремонтований агрегат є складовою частиною ходової яка відповідає за рух автомобіля, а тому будь-яке погіршення фізико-механічних властивостей деталі недопустим):

При виконанні демонтажних робіт, пов'язаних зі значною масою, виникає можливість появи дефектів – взаємного розташування робочих органів. Цілком зрозумілим є необхідність забезпечення технічних умов при виконанні операцій технологічного процесу демонтажу і ремонту.

Тому було поставлено наступні завдання, які слід вирішити в процесі виконання магістерської роботи:

– в загально-технічному розділі описати будову та принцип роботи вузла; описати несправності які виникають в даному вузлі.

– в технологічній частині вибрати метод демонтажу, розробити технологічні процеси діагностування, розбирання, розробити технічну документацію на ремонт вузла; визначити норми часу для всіх операцій;

– в конструкторській частині розробити пристрій для полегшення

ремонтних робіт. Зниження впливу маси агрегату здійснюють шляхом створення розтягуючих напружень в основному металі валів. Розроблені конструкції пристрою повинна забезпечувати наступні вимоги: дозволяти монтаж і демонтаж об'єктів ремонту; створювати необхідні затиску; давати можливість провертання об'єкта для виконання технологічної операції; бути простим у виготовленні і експлуатації, при виготовленні використовувати стандартні вузли транспортних засобів;

– в науковому розділі провести випробування для перевірка теоретичних

передумов на параметри коливань підресореною і непідресореної мас і зсув дії. Для проведення експериментів був створений контрольно-вимірювальний комплекс

– в розділі «охорона праці та безпека в надзвичайних ситуаціях» розглянути норми освітлення та вентиляції в агрегатній дільниці по ремонту рульових рейок, а також описати безпеку підприємства в надзвичайних ситуаціях.

– в розділі «екологія» розглянути основні питання по збереженню довжелля та зменшення впливу відходів автомобільної промисловості на нього.

– провести техніко-економічні розрахунки роботи, описати засоби охорони праці, зробити загальні висновки щодо дипломної роботи; розробити комплект технологічної документації за ГОСТ 3.1404-86; виконати графічну частину роботи.

НУБІП України

# НУБІП України

## 2 ТЕХНОЛОГІЧНИЙ РОЗДІЛ

### 2.1 Розробка технологічного процесу ремонту деталей

Для забезпечення тривалого терміну служби підшипників і шестерень

конічні підшипники валу мають бути зібрани з попереднім натягом 0,03...0,05  
мм. Для цього слід змінити товщину регулювальної шайби і пошліфувати її на  
величину заміряного індикатором осьового проміжку плюс 0,03...0,05 мм.

Після цього зняті деталі встановити на місце в зворотній послідовності окрім

кришки з сальником, яку слід ставити після перевірки правильності  
регулювання, оскільки тертя сальника об шийку фланця спровокує свідчення  
дійсної величини моменту опору, який приведений валом в підшипник. При  
складанні шестерню закріпити в лещатах, заздалегідь наклавши на губки м'які  
прокладки і, погоджуючи картер підшипників, постукувати по ньому  
дерев'яним молотком, щоб ролики підшипників при затягуванні зайняли  
правильне положення.

Момент, необхідний для провертання вала в підшипниках, має  
дорівнювати 0,1...0,2 кг, що відповідає необхідному попередньому натягу.

Визначити величину цього моменту можна динамометричним ключем на гайці.  
В цьому випадку зусилля, перпендикулярне до радіусу розташування отвору на  
фланці, повинне складати 1,3...2,6 кг. Підвищений натяг може привести до  
сильного нагріву і швидкого зносу підшипників, тому при необхідності

регулювання потрібно помітити положення гайки на валу, зняти фланець,  
встановити на місце кришку з сальником та сам вал і затягнути його гайкою.

Гідтікання мастила проявляється внаслідок підвищеного зносу  
поверхонь під робочою кромкою сальника, а також пошкодженням сальника і  
прокладок. Про знос або поломку сальників можна судити по попаданню

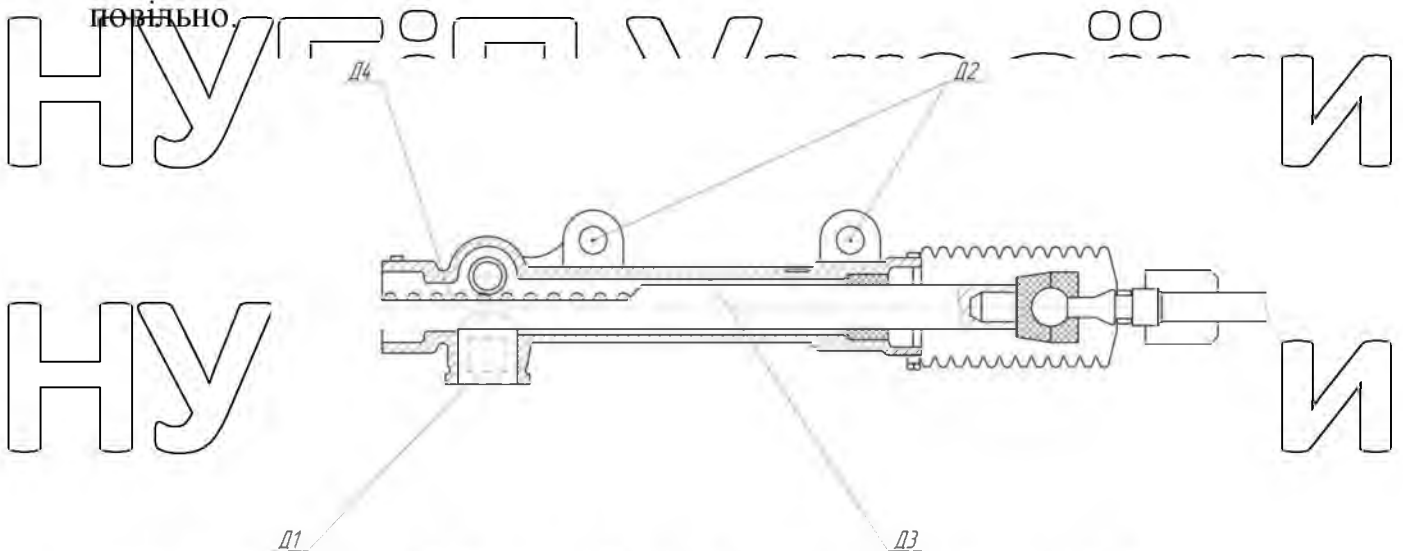
мастила в корпус рейки. При підтіканні мастила необхідно замінити сальники і  
ушільнювачі.

**НУБІЙ України**  
Не можна допускати застосування густих масил або сумішей, що містять солідол. Густі масила закупорять канали з малим перерізом, погрішать умови масила підшипників і шестерень.

При підтіканні оливи через сальники ведучого валу необхідно усунути причину підтікання і, якщо це потрібно, замінити сальник. Періодично слід очищати від бруду повітряні отвори сапунів, оскільки при несправних сапунах може підвищитися тиск в картерах і порушиться герметичність сальників.

Поломка зубів шестерень, обрив шпильок наконечників частіше за все є наслідком неправильної експлуатації автомобіля, або заливання масил невідповідних марок.

Шестерня ведучого вала працює в спряженні з веденою шестернею і зазнає незначного зносу зубів. Оскільки дана зубчаста передача постійно працює виключно в масляному середовищі зношування зубів відбувається дуже перевільно.



**Рисунок 2.1 – Дефекти рульової рейки**  
При здійсненні дефектування рульової рейки здійснюють контроль параметрів: діаметр, шорсткість валу, биття радиальне на опорних шийках, величину шліців, гнізда роликів, різьбові з'єднання, наявність дефектів.

Спочатку деталь слід візуально перевірити на відсутність тріщин, сколів, задирів на робочих поверхнях, погнутості. Вище перелічені дефекти не допускаються і їх наявність приводить до вибраковування деталі.

Деталь також може мати дефекти (рис. 2.2)

Перший вид дефекту – зношення отвора в діаметрі.  
Другий вид дефекту – знос отворів під кріпильні болти.  
Третій вид дефекту – знос внутрішнього робочого тіла рульової рейки.

Контроль здійснюється з допомогою штангенциркуля . Допустимий знос по площині складає 0,034 мм.

Четвертий вид дефекту – знос зубів внутрішнього вала

## 2.2 Критерії граничного зносу деталей рульових рейок

Корпуси рульових рейок виготовляють шляхом зварювання нижньої труби більшого діаметра і верхньої шийки меншого діаметра, зі сталі 40Л із. Корпус рульової рейки працює в важких умовах і піддається великим навантаженням, тому якість металу і умов змащення повинні забезпечувати надійну роботу всіх вузлів і механізмів. Основні дефекти рульової рейки представлено в таблиці 2.1.

Таблиця 2.1 - Дефекти корпусу рульової рейки

№	Дефекти	Допустимі розміри
1.	Зношення шийки біля внутрішнього підшипника ведучого вала	84,880
2.	Знос шийки біля зовнішнього підшипник ведучого вала	4,900
3.	Знос кільця під сальник	141,700
4.	Знос отвору під підшипник шестерні	140,100
5.	Знос отворів під гнізда підшипників	135,080
6.	Ушкодження різьблення під наконечники	Зрив більше трьох ниток
7.	Ушкодження різьблення під болти кріплення кришки сальника	Зрив більше двох ниток

**НУБІП України**

Знос кільця під сальник ремонтується встановленням нового кільця.  
 Зношенні ційки під підшипники відновлюють наплавленням під флюсом  
 в середовищі вуглексілого газу.

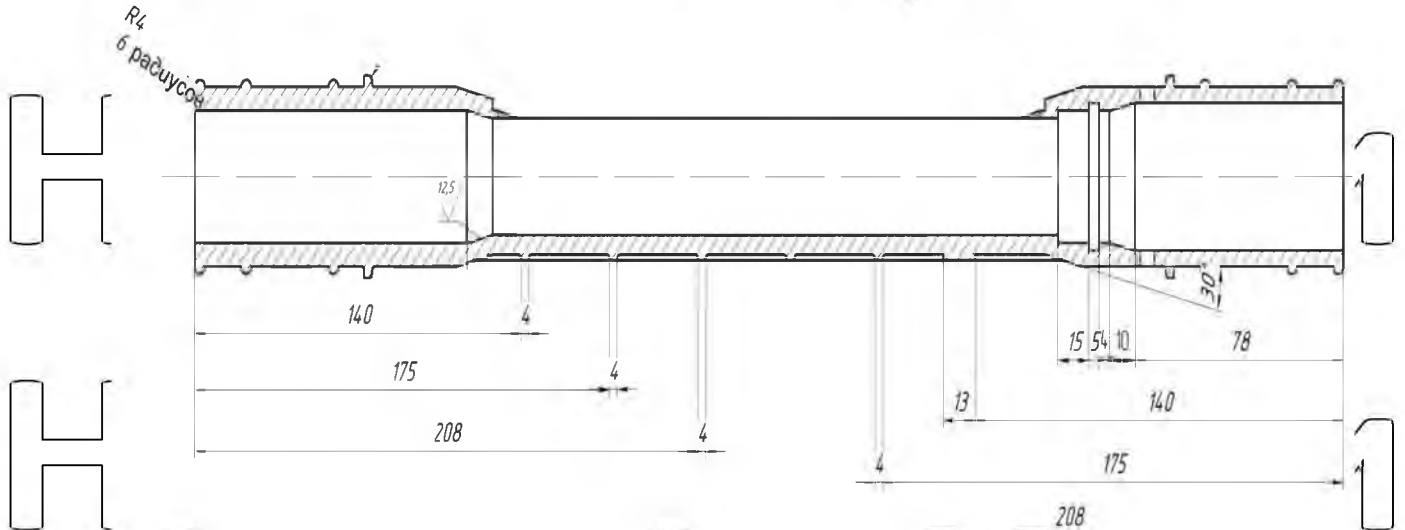


Рисунок 2.2 – Дефекти корпуса рульової рейки

**НУБІП України**

Основні дефекти корпуса рульової рейки в (табл.2.2).

Таблиця 2.2 - Дефекти корпуса

№	Дефекти	Допустимі розміри
1.	Задири або нерівномірне зношування торня	При розмірі а більше 49,8 фракувати
2.	Зношення отвору під шийку канавки	5,200
3.	Знос шийки під підшипник роликовий	75,010
4.	Знос отворів під болти	14,500

Вал рульової рейки виготовляють зі сталі 38ХГС, HRC 44...50.

№	Дефекти	Допустимі
1.	Погнутість осі	-
2.	Знос шліців по товщині	55,0
3.	Знос конусників отворів під розтижні втулки	

**2.3 Технологія ремонту рульової рейки**

Ремонт рейки полягає в заміні зношених або пошкоджених деталей.

Конструкція рульової рейки не дозволяє виконувати більшість ремонтних робіт без зняття.

При ремонті розібрані деталі промивають і ретельно оглядають.

Перевіряють стан підшипників, на робочих поверхнях яких не повинно бути викривлених місць, тріщин, вм'ятин, лущення, зруйнованих або пошкоджених роликів і сепараторів. При ремонті деталей рейки застосовують наступні методи відновлення металу.

При автоматичному дуговому наплавленні з використанням шару флюсу механізовано основні рухи електроду. Деталь при даному способі встановлюють в матрон або центр переобладнаного токарного верстата, а апарат для здійснення процесу наплавлення А-560М або ПАУм-1 на супорті (рис. 2.3).

Наплавлення здійснюють за допомогою гвинтових валиків з взаємним їх перекриттям приблизно на одну третину.

Механізоване зварювання і процес наплавлення взаємному середовищі вуглекислого газу. При цьому способі зварювання і наплавлення та захищення зони горіння дуги і розплавленого металу від кисню на азоту повітря здійснюється струменем вуглекислого газу. Вуглекислий газ дуже надійно ізольує зону від навколишнього середовища та здійснює забезпечення отримання металу високої якості.

**НУБІ** Автоматичне наплавлення в вуглекисому газі застосовують при відновленні зношених поверхонь деталей. Для цієї мети застосовують використовувати зварювальні автомати А-580М, що застосовуються при наплавленні під флюсом, правда перед цим на них встановлюють мундштук з пальником для подавання захисного газу.



Рисунок 2.3 – Конструктивна схема наплавлення електродугового з використанням флюсу:

1 - головка; 2 - підачний механізм; 3 - помпа для флюсу; 4 - флюс; 5 - деталь.  
Для визначення зміщення електроду користуються залежністю

$$e = (0.04 \dots 0.05) D_H,$$

де  $D_H$  - діаметр поверхні деталі.

Відхилення електрода приймають від 10 до 12 мм,  $eL = d$  мм.

Частоту обертання оброблюваної деталі знаходять за формуллю:

$$n_d = \frac{60F_d}{\pi(D_H + 2t)},$$

де  $K_H$  – швидкість наплавлення, мм/с;

$D_H$  – діаметр деталі, мм;

$t$  – товщина шару, мм.

Для здійснення процесу напівавтоматичного зварювання під флюсом

використовують тримач, зображеній на рисунку 2.4.

# НУБІ

# ІНИ

# НУБІ

# ІНИ

# НУБІ

# ІНИ

Рисунок 2.4 – Тримач для зварювання із флюсом:

1 – мундштук; 2 - лійка; 3 – відкривний шибер; 4 – ручка-тримач; 5, 6 – кнопки; 7 - упор.

Електролітичне залізення деталей отримання твердих та дуже зносостійких залізних покрить. Технологічний процес залізення застосовується в авторемонтному виробництві переважним чином з метою компенсації зношення деталей.

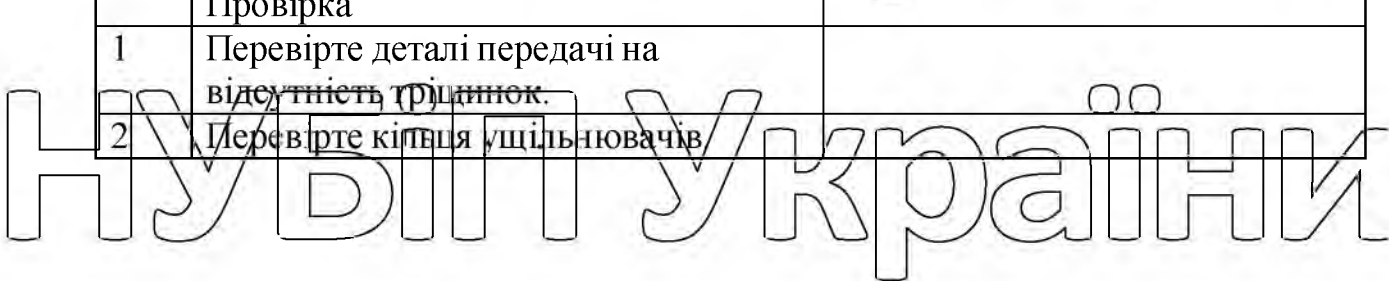
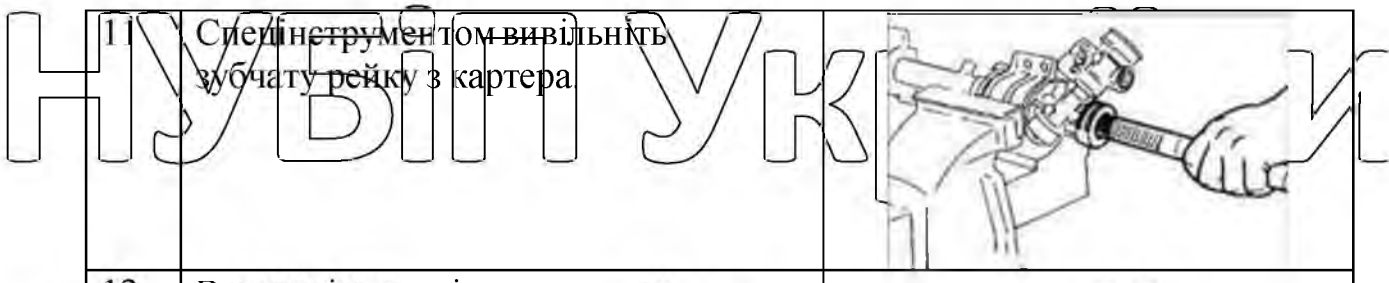
**2.4 Розбирання або збирання рульового керування**

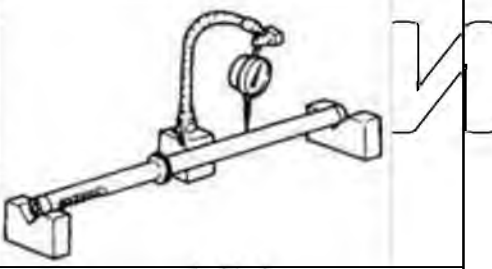
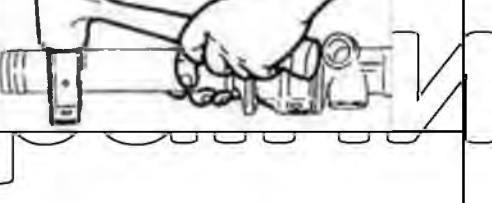
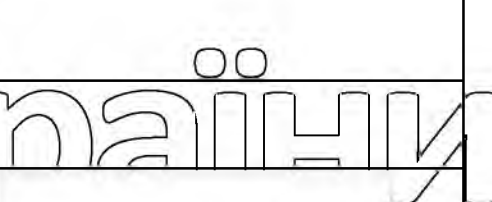
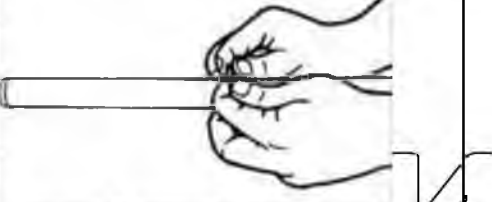
Таблиця 2.5 – Технологічна карта

№	Операція яка проводиться	Ескіз операції
1	1 Розбирання 2 Виверніть два болти і гайки, акуратно зіміть кронштейн головного маслопроводу, потім обережно відокреміте маслопроводи.	

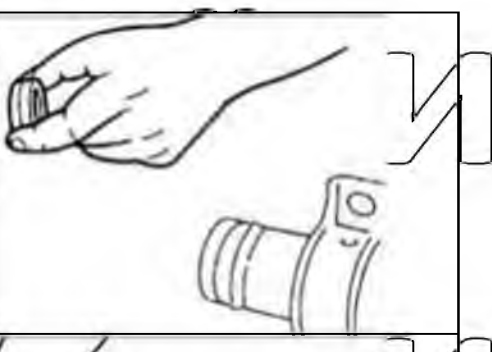
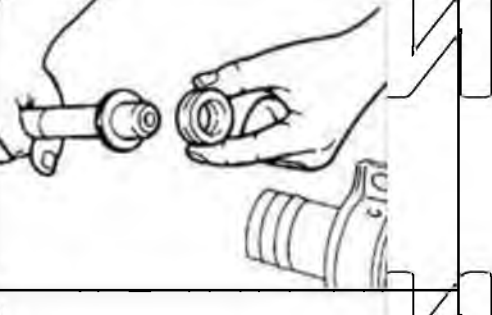
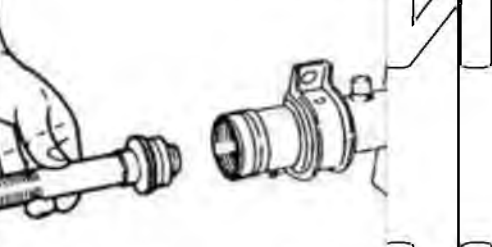
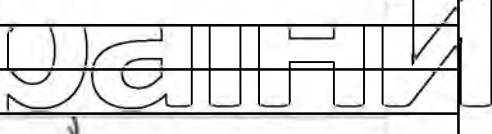
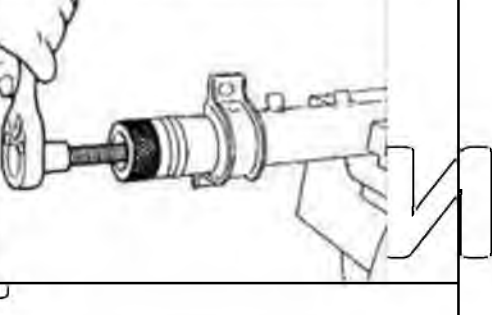
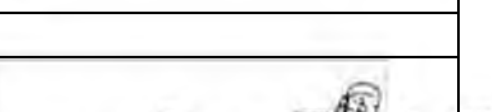
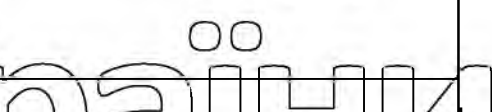
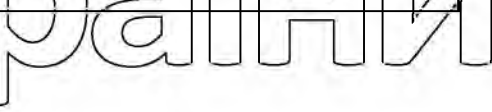
2	Перед відгортанням наконечника тяги рульового кермування відзначте взаємне розміщення рульової тяги, затягнутої контргайки та наконечника.	
3	Послабте контргайку та відверніть наконечник тяги з тяги рульового кермування.	
4	Молотком акуратно вибийте пружинний штифт.	
5	Викрутіть контргайку пробки.	
6	Виверніть пробку.	
7	Зніміть пружину і упор.	
8	Виверніть повільно контргайку.	
9	Закріпіть уважно картер рульової передачі в двохстулкових лепітатах і зніміть без заклиновання вал шестерні.	
10	Зніміть обережно втулку рульової передачі	

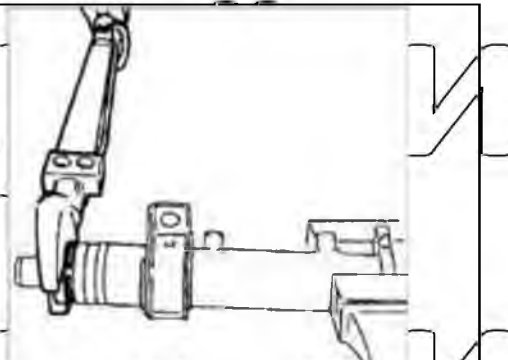
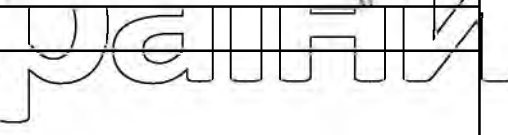
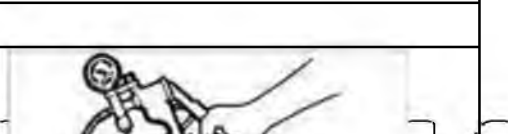
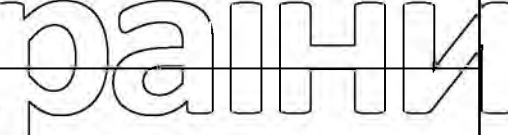
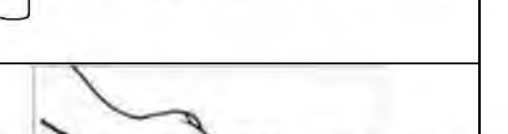
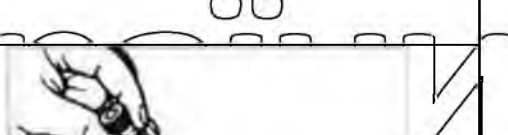
НУБІП України

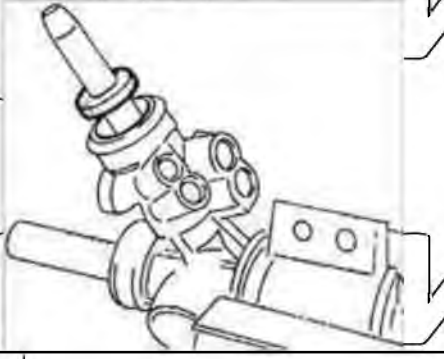
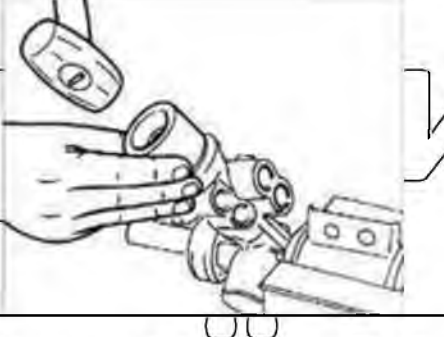
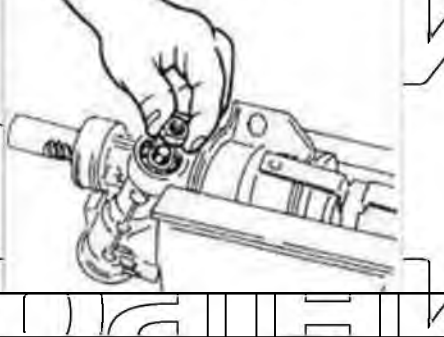
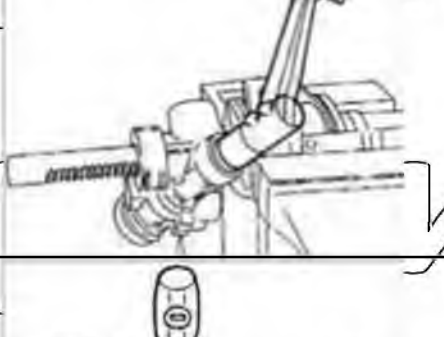
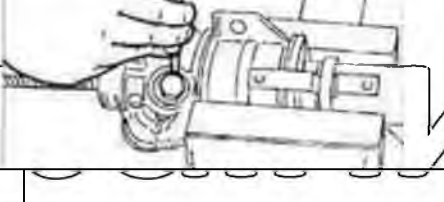


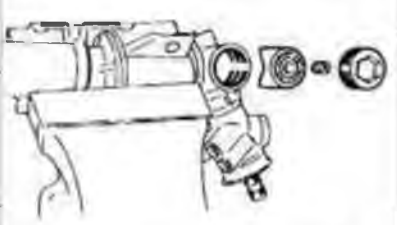
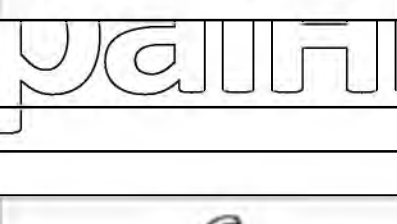
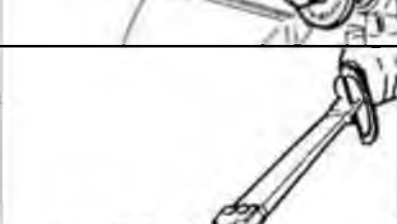
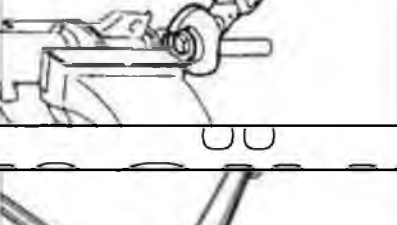
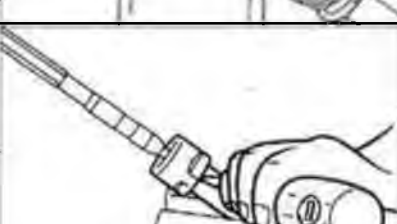
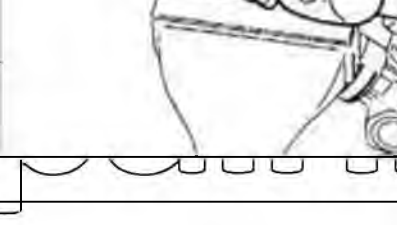
3.	Встановіте зубчату рейку на V-образних блоках і індикатором зміряйте прогин рейки.	
Збірка		
1.	Встановіте резинові опори на қартер передачі.	
2.	Молотком з пластика встановіть кронштейни	
3.	Нанесіть дуже тонкий шар рідини для трансмісії на кільця.	
4.	Встановіть кільце ущільнювача в канавку рейки.	
5.	Встановіть друге кільце ущільнювання в рейку.	
6.	Вручну встановіть одне кільце ущільнювача.	
7.	Нанесіть шар мастила на поверхню вставки.	
8.	Зєднасте ущільнення з змащеною поверхнею вставки.	

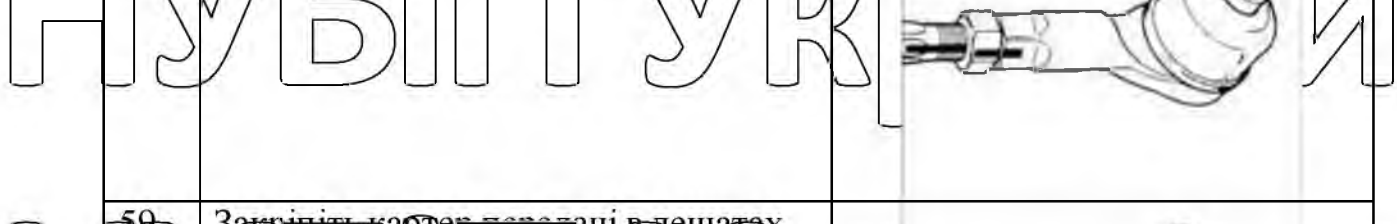
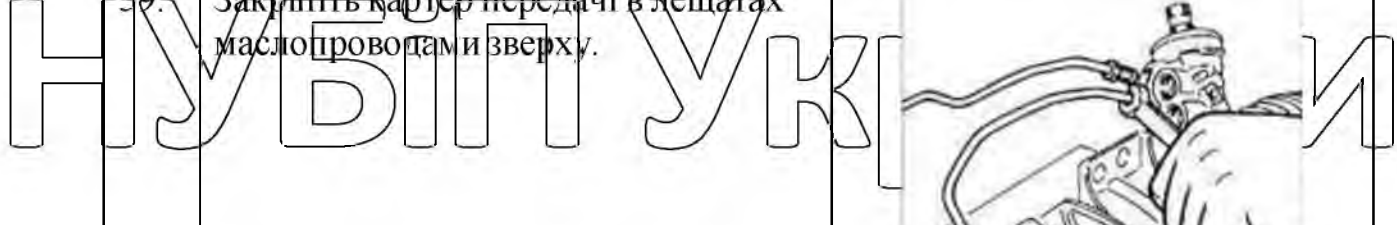
НУБІП України

	9.	Нанесіть шар трансмісійної рідини на частини вставки і ущільнення.	
	10.	Встановіть вставку і ущільнення рейки на інструмент.	
	11.	Вставте інструмент в гнізда валу.	
	12.	Затягніть гайки інструменту.	
	13.	Поверніть вал інструменту.	
	14.	Зніміть інструмент.	
	15.	Нанесіть мастило.	
	16.	Всуваєте рейку в картер.	
	17.	Зніміть спеціальний інструмент	
	18.	Нанесіть герметик на частину втулки з розв'язком.	
	19.	Встановіть втулку в картер.	

	20.	Затягніть втуяку.	
	21.	З'єднайте інструмент з кожухом.	
	22.	З'єднайте вакуумнасос з спеціальним інструментом.	
	23.	Створіть розрідження.	
	24.	Перевірте підтримання вакууму.	
	25.	Закріпіть кожух однієї шестерні в лещатах.	
	26.	Нанесіть шар трансмісійної рідини на підшипник і поставте його в картер.	
	27.	Втисніть підшипник у картер та затягніть пробку.	
	28.	Нанесіть мастило.	
	29.	Нанесіть шар трансмісійної рідини на ущільнювач.	
	30.	Встановіть вал шестерні.	
	31.	Нанесіть шар трансмісійної рідини на підшипник.	
	32.	Нанесіть шар рідини трансмісійної	

	на кільце ущільнювача.	
33.	Встановіте втулку на шліци валу.	
34.	Встановіть кільце ущільнювача в картер.	
35.	Встановіть масляне кільце ущільнювача.	
36.	На деякий час встановіть з'єднувач.	
37.	Наверніть контргайку.	
38.	Затягніть контргайку з моментом 39-49 Н·м.	
39.	Нанесіть герметик на різьбу.	
40.	Встановіть картерну кришку.	
41.	Закерніть кришку.	
42.	Закріпіть картер передачі рульової в	

	лещатах.	
43.	Замастіть упор.	
44.	Встановіть упор в картер.	
45.	Встановіть рейку в центральне положення.	
46.	Дотягніть пробку упору.	
47.	Затягніть пробку.	
48.	Нанесіть шар герметика на різьбу.	
49.	Затягніть контрайку.	
50.	Закріпіть картер в лещатах.	
51.	Встановіть тягу на рульову передачу.	
52.	Встановіть циліндричний штифт.	
53.	Заповніть чохол передачі змазкою.	
54.	Нанесіть шар герметика на чохол	

55.	Нанесіть шар змішувального матеріалу на поверхню чохла.	
56.	Насовнням встановіть захищений чохол передачі.	
57.	Закріпіть чохол хомутом.	
58.	Наверніть і затягніть контргайку тяги.	
59.	Закріпіть картер передачі в лещатах маслопроводами зверху.	
60.	Під'єднайте кронштейни маслопроводу.	

## 2.5 Технологічний план виконання всіх ремонтних операцій

Технологічний процес відновлення рульової рейки буде мати наступну

структуру.

Операція 005 – Мийна операція Виконується очищення від бруду, слідів

корозії.

Операція 010 – Розбирання. Проводиться зняття і розбирання деталей рульової рейки.

Операція 015 – Очищення. Виконується остаточне миття деталі від бруду.

**Операція 020 – Дефектувальна** Проводиться виявлення відхилень форми і розташування поверхонь, геометричних розмірів.

**Операція 025 – Токарна.** Зрізання різьби М15 перед наплавленням

здійснюється на токарному верстаті для найкращої з'єднання металу, що наплавляється з основним металом деталі. У випадку, якщо дана операція не проводиться, при наплавленні можливе згоряння металу витків різьби і забруднення продуктами згоряння наплавленого шару, неповне заповнення металом западин між витками і т.д. При нарізуванні різьби в цьому випадку можливі відколи металу і загальна незадовільна якість різьби. Тому від цього процесу приділяють особливу увагу.

**Операція 030 – Вібродугове наплавлення.** Проточена поверхня під різьбу наплавляється до 17 мм на довжині 25 мм із використанням злектроімпульсної установки.

**Операція 035 – Токарна.** Наплавлена поверхня під різьбу обточується до 15 мм на токарному верстаті, а потім нарізається різьба М 15x1,5 відповідно до кріслення.

**Операція 040 – Гальванічна.** Наростити відновлювану поверхню до розміру 28,2 мм. та 35,2мм.

**Операція 045 – Обдування.** Проводиться обдувка стисненим повітрям під тиском 0,9 МПа.

**Операція 050 – Заключний контроль.** Проконтролювати розміри і якість відновленої деталі.

**Операція 055 – Випробування готової деталі.**

## 2.6 Розрахунок операцій технологічного процесу.

$$t_{\text{ик}} = t_0 + t_e + t_{\text{оф}} + t_{\text{еio}} + t_{n3} / n, \quad (2.1)$$

де  $t_0$  – основний час, який необхідний для безпосереднього виливу на

оброблювану деталь;

**НУБІП України**

$t_b$  – допоміжний час;  
 $t_{обс}$  – час обслуговування місця робітника;  
 $t_{від}$  – час відпочинку;

$t_{n3}$  – час на підготовчо-заключні роботи;

**НУБІП України**

$n$  – число деталей у одній партії.

Час  $(t_0 + t_B)$  є оперативним, а час  $(t_{обс} + t_{від})$  – додатковим і береться у % від  $t_{on}$ .

$t_{шт} = \left(1 + \frac{K}{100}\right) - t_{оп}$  – штучний час, де  $K=5$  – коефіцієнт обслуговування робочого місця.

**НУБІП України**

Операція 005 – Мийна операція.

Приймаємо час на миття 5 хв.

Операція 010 – Розбирання.

**НУБІП України**

Приймаємо час на розбирання 15 хв.

Операція 015 – Очищення.

Приймаємо час 5 хв.

Операція 020 – Дефектувальна.

**НУБІП України**

Приймаємо час 12 хв.

Операція 025 – Токарна.

Глибина різання:

$$t = \frac{(d_1 - d_0)}{2} = \frac{(15 - 13)}{2} = 1 \text{ мм.} \quad (2.2)$$

**НУБІП України**

Швидкість подачі  $v = 200 \text{ м/хв.}$

Довжина обточуваної поверхні  $l = 25 \text{ мм.}$

Операція 030 – Вібродугове наплавлення.

Переходи:

**НУБІП України**

1. Встановити деталь
2. Наплавити поверхню до діаметра 17мм.
3. Зняти деталь.

Основний час при виконанні вібродугового наплавлення:

**НУБІП** України (2.3)

де  $F = 7,0 \text{ мм}^2$  – площа поперечного перерізу зварного шва;

$l = 425 \text{ мм.}$  – довжина шва;

$y = 7,8 \text{ г/см.}$  – щільність металу, що наплавляється;

$k_n = 0,95$  – коефіцієнт розбризкування металу;

$k_e = 1,0$  – коефіцієнт складності роботи;

$a_n = 5 \text{ кг/А·год.}$  – коефіцієнт розплавлювання;

$I = 200 \text{ А}$  – зварювальний струм.

$$T_0 = 0.06 \cdot 7.0 \cdot 425 \cdot 7.8 \cdot 0.95 \cdot 1.0 / (5 \cdot 200) = 1.32 \text{ хв.}$$

Допоміжний час  $t_d = 0,95 \text{ хв.}$

Додатковий час:

$$T_{\text{дод}} = 0.05 \cdot (t_{\text{од}} + t_{\text{ом}}) = 0.05(1.32 + 0.95) = 0.12 \text{ хв.} \quad (2.4)$$

Підготовчо-заключний час:

**НУБІП** України

Калькуляційний час всіх:

$T_{\text{од}} = 5 \text{ хв.}$

$$t_{\text{ик}} = 1.32 + 0.95 + 0.12 + 5/25 = 1 \text{ хв.}$$

Операція 035 – Токарна.

Глибина різання  $t = (d_1 - d_0)/2 = (15 - 13)/2 = 1 \text{ мм.}$

Швидкість подачі  $v = 200 \text{ м/хв.}$

Довжина обточуваної поверхні  $l = 25 \text{ мм.}$

Калькуляційний час виконання операції токарної  $i_{\text{шт.к.}} = 14,7 \text{ хв.}$

Операція 040 – Шліфувальна.

При проведенні цієї операції обираємо круглошлифувальний верстат

ЗМ151, пристосування – упорні гладкі центри конусністю 1:10.

**НУБІП** України

Кутом  $60^\circ$ ,  $D = 80 \text{ мм}$  ГОСТ 18259-72; повідковий патрон і привідний хомутик.

Вибираємо глибину різання  $t = 0,01 \text{ мм.}$

Визначаємо поздовжню подачу за формулою

иинеджерън HYPERLINK

иинеджерън HYPERLINK

иинеджерън HYPERLINK

иинеджерън HYPERLINK

иинеджерън HYPERLINK

иинеджерън HYPERLINK

иинеджерън HYPERLINK  
(2.5) B, P. 303

де  $R$  – частка ширини шліфкруга;  $R = 0.3$  [9];  
 $B$  – ширина шліфкруга, яку приймаємо  $B = 40$  мм.  
 $S_{\text{позд}} = 0.3 \cdot 40 = 12$  мм/об.

Визначаємо довжину ходу стола за формулою

$X_p = l - B$ ,  
дe  $l$  – довжина оброблюваної поверхні;  $l_1 = 20$  мм та  $l_2 = 38$  мм.  
Ефективну потужність при шліфуванні визначимо за формулою  
 $L_{p1} = 20 - 40 = -20$  мм.

$L_{p2} = 38 - 40 = -2$  мм.  
Ефективну потужність при шліфуванні визначимо  
 $N = C_N + V \cdot t \cdot S \cdot d \cdot x \cdot y \cdot q$ ,  
(2.7)

де  $C_N$ ,  $d$ ,  $x$ ,  $y$ ,  $q$  – поправочні коефіцієнти, що враховують умови роботи;

$$C_N = 2,26;$$

$$d = 0,5;$$

$$x = 0,5;$$

$$y = 0,55;$$

$$q = 0,2;$$

$N = 2,26 + 15^{0.5} \cdot 0,01^{0.5} \cdot 12^{0.55} \cdot 27,9^{0.2} = 5,67$  кВт,  
 $N = 2,26 + 15^{0.5} \cdot 0,01^{0.5} \cdot 12^{0.55} \cdot 34,9^{0.2} = 7,1$  кВт.

Після проведених розрахунків приймаємо верстат ЗМ151. Частоту

обертання деталі визначаємо за формулою:

$n_d = \frac{AV}{\pi D} = \frac{431 \cdot 35}{3,14 \cdot 0,4206} = 114,3$  м/с,

де  $V$  – швидкість обертання круга = 35 м/с;

$d$  – діаметр круга.

$$D = \frac{1000 \cdot 60 \cdot 35}{3,14 \cdot 1590} = 420,6 \text{ мм.}$$

Круг приймемо ГП 420x40x220 з матеріалу Э5 40С1 5К.

**НУБІП** України

Основний час визначимо за формулою.

$$t_0 = L_p \cdot N \cdot k / n_d \cdot S_{noso} \cdot S_1 \quad (2.8)$$

де  $h$  – припуск;  $h = 0,1$  мм;

$k$  – коефіцієнт спрацювання круга, який приймаємо  $k = 1,6$ ;

**НУБІП** України

$S_1$  – подача,  $S_1 = 0,01$  мм.

$$t_0 = 48 \cdot 0,1 \cdot 1,6 / 114,3 \cdot 12 \cdot 0,01 = 0,6 \text{ хв.}$$

Операція 045 – Гальванічна.

Деталі обезжирюють на запихають у ванну з електролітом на матеріалом,

який наносить.

Потім, не витягуючи деталей з електроліту міняють полярність та наноситься покриття.

$$S_k = \pi \cdot d \cdot l \cdot \pi_n, \quad (2.12)$$

**НУБІП** України

де  $d$  – діаметр шийки, що покривається;  $d_1 = 27,9$  мм та  $d_2 = 34,9$  мм

$l$  – довжина шийки, що покривається;  $l_1 = 20$  мм та  $l_2 = 38$  мм.

$$S_{k1} = 3,14 \cdot 27,9 \cdot 20 \cdot 25 = 43803 \text{ мм}^2,$$

$$S_{k2} = 3,14 \cdot 34,9 \cdot 38 \cdot 25 = 1041067,7 \text{ мм}^2.$$

Операція 050 – Обдування.

На обдування деталі приймаємо час 2 хв.

Операція 055 – Заключний контроль

Здійснюють контроль параметрів та якості відновленої поверхні.

**НУБІП** України

Час на операцію  $T_{шук} = 4,5$  хв..

Операція 060 – Випробування готової деталі

Приймаємо час 8 хв.

**НУБІП** України

# НУБІЙ України

## КОНСТРУКТОРСЬКИЙ РОЗДІЛ

### 3.1. Стенд для розбирання рульового механізму.

На рисунку 3.1 показано стенд для розбирання або збирання рульового механізму. Стенд складається з плити, де стоять чотири стійки. Ремонтований механізм ставлять на стійки за допомогою фіксаторів слонорята.

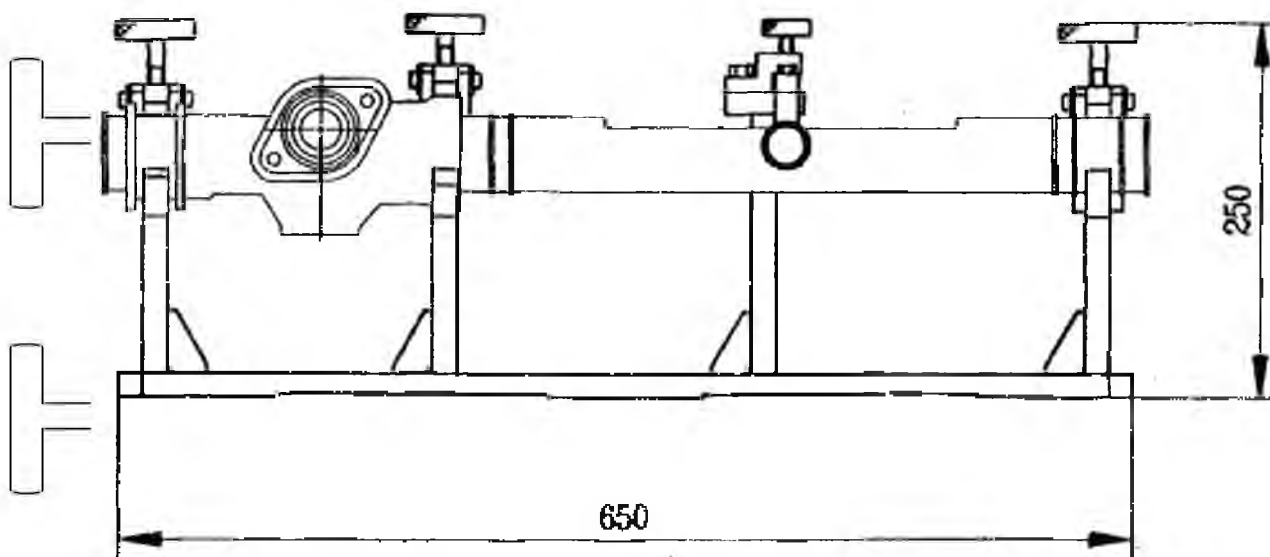


Рисунок 3.1 Загальний вигляд стенду для здійснення розбирання рульових механізмів

### 3.2 Здійснення перевірки та регулювання люфта

Спочатку необхідно підтягти усі гайки кріплення як кульових пальців так і поворотних важелів. Перевірку необхідно проводити вдвох. Один з працівників різко хитає рулем, інший – на дотик рукою (рис. 3.2, а) здійснює перевірку переміщення деталей. Переміщення пальця щодо наконечника свідчить про те, що є люфт. Зазор усувається загвинчуванням в наконечник рульової тяги пробки 1 зі здатністю з відкручуванням її на 1-2 оберти (рис. 3.2, б).

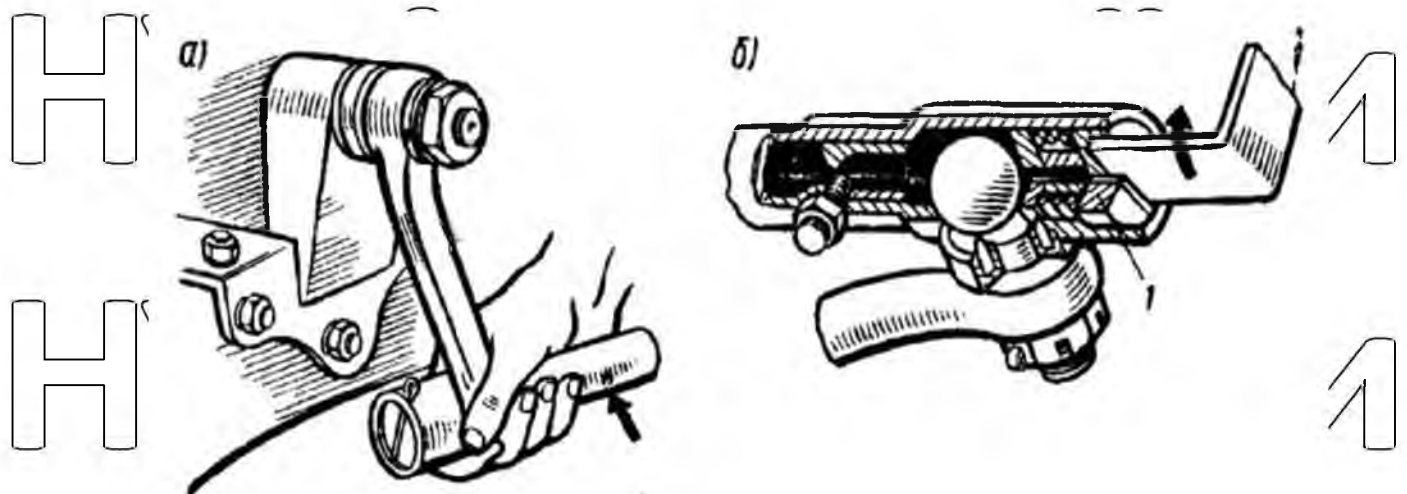


Рисунок 3.2 – Здійснення перевірки люфта а и підтяжка різьбових корок в

зєднаннях шарнірах поперечною тягою

Якщо відчувається хід в шарнірі то такі тяги замінюють новими.

### 3.3. Знімач пальців тяги рульової

Пальці закрілюють у важелях кулаків, сосці та маятнику з допомогою конічних з'єднань.

Рекомендовано момент затягування (гайка  $M14 \times 1,5$  – 5,1...6,3 кгс·м). У

автомобілів ВАЗ гайка ( $M2 \times 1,25$ ) пальця тяги затягується з моментом 2,76...3,41 кг см. Забороняється затяжка пальців без динамометричного клюща

Для цього потрібна естакада або оглядова яма.

Випресування пальців шарнірів рульової тяги Жигулів знімачем

4.47052 не представляється важким. Знімач надійний, при цьому доступ до знімануваного шарніра вільний.

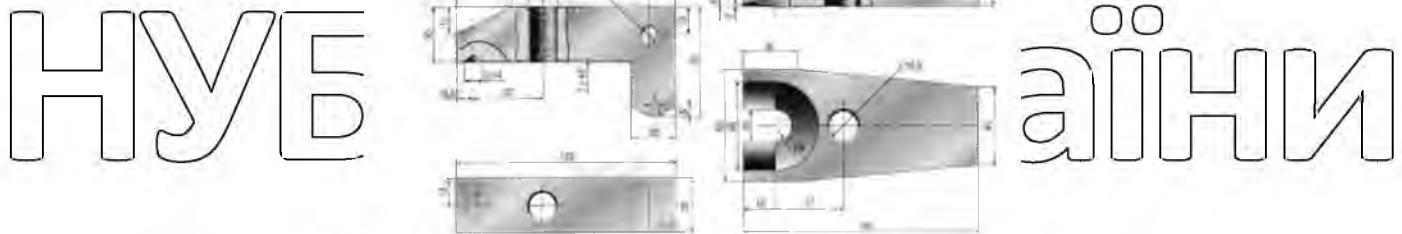
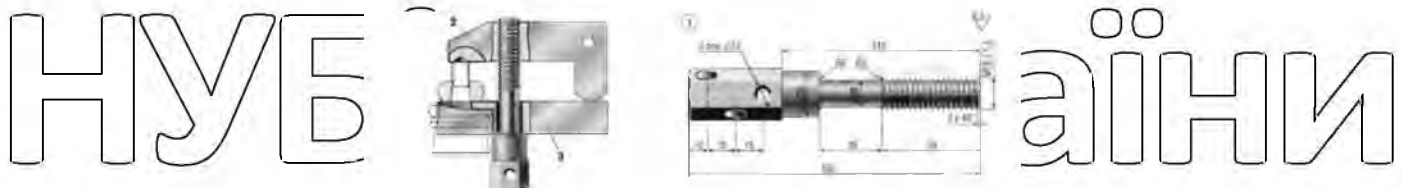


Рисунок 3.3 – Знімач пальців для рульової тяги



Рисунок 3.4 – Запресування шарнір в рульову тягу

1 – стаканна опора; 2 – коротка тяга; 3 - опресовка; 4 – шарнір з'єднання

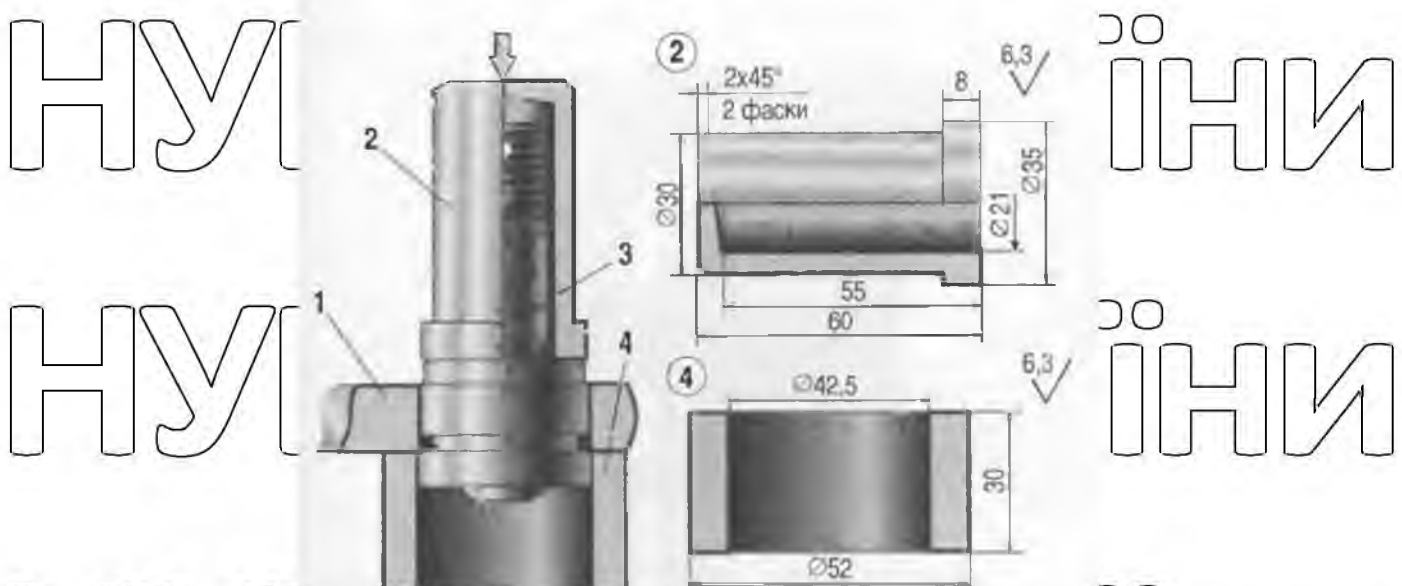


Рисунок 3.5 – Вигляд випресовки для шарнірів рульової тяги:

1 – тяга рульова; 2 - облямовування; 3 – шарнір виресовуваний; 4 – опора циліндрична.

### 3.4 Розрахунок електроприводу електромеханічного підйомника

При проектуванні привода з гвинтовим механізмом задають або знаходить осьову силу  $P$ , яка діє вздовж вісі гвинта від робочого органу обладнання, і швидкість гвинта  $v$  (швидкість руху робочого органу).

Розрахунок полягає у визначенні параметрів гвинтової пари, виборі електродвигуна і редуктора. Основна причина виходу з ладу гвинтових механізмів – занослення різьби. З умов зносостійкості знаходять середній діаметр різьби  $d_2$ . Тиск на різьбі, визначається залежністю

$$p = \frac{P}{10^6 \pi d_z h}, \quad (3.1)$$

де  $P$  – осьова сила, Н,

$[p]$  – допустимий тиск (для сталевого гвинта і бронзової гайки  $[p] = 8 \div 12$

$h$  – робоча висота профілю різьби, мм

де  $S$  – крок різьби, мм ( $S = 12$ );

$$h = 0.5 \cdot S,$$

$$h = 0.5 \cdot 12 = 6 \text{ мм},$$

(3.2)

$z$  – кількість витків гайки

де  $H$  – товщина гайки, м

$$z = \frac{H}{S},$$

$$H = d_z \cdot \psi_M,$$

(3.3)

де  $\psi_M = 1.2 \dots 2.5$ ;

$$H = 0.0444 / 2.5 = 0.111 \text{ м.}$$

$$z = \frac{0.111}{0.112} = 9.25;$$

(3.4)

$$p = \frac{62000}{10^6 \cdot 3.14 \cdot 0.0444 \cdot 0.006 \cdot 9.25} = 8.01 \text{ МПа.}$$

З формул (3.1) отримаємо усереднений діаметр різьби, м

$$d_2 = \sqrt{\frac{2P}{10^6 \pi \psi_M [p]}}, \quad (3.5)$$

$$d_2 =$$

$$2 \cdot 62000$$

инъекция гипиан

Діаметр різьби внутрішній,  $d_1$ , м

$$d_1 = 1.1 \cdot d$$

$$d = \frac{0.0444}{1.1} = 0.040.$$
(3.6)

Діаметр різьби зовнішній,  $d$ , м

$$d = 1.2 \cdot d_1$$

$$d = 1.2 \cdot 0.0404 = 0.0485 \text{ м.}$$
(3.7)

Хід різьби,  $S_1$ , мм

де  $z_3$  – кількість заходів.

$$S_1 = z_3 \cdot S$$

$$S_1 = 1 \cdot 12 = 12 \text{ мм.}$$
(3.8)

Враховуючи, що гвинт одночасно працює на розтягання (стиск) та крученння, його розраховують на міцність.

Визначаємо площину поперечного перетину гвинта  $F_1$ , м<sup>2</sup>,

$$F_1 = \frac{\pi d^2}{4}$$

$$F_1 = \frac{3.14 \cdot 0.0404^2}{4} = 0.00128 \text{ м}^2.$$
(3.9)

Визначаємо окружну силу на різьбі  $T$ , Н

$$T = P \cdot \operatorname{tg}(\alpha + p'),$$
(3.10)

де  $\alpha$  – кут підйому гвинтової лінії (для само гальмуючих гвинтів  $\alpha = 4^\circ 30'$ );  
 $\rho$  – приведений кут тертя;

$$\operatorname{tg}(p') = \frac{f}{\cos \beta},$$
(3.11)

де  $f$  – коефіцієнт тертя гвинта та гайки;

$f = \operatorname{tg} \beta = 0,08 \text{ до } 0,1$  при терпі сталі о бронзу;

$\beta$  – кут запостріння різьби (для прямокутної різьби  $\beta = 0$ ;  $\rho = f$ );

$$\operatorname{tg}(p') = \frac{0.1}{\cos 0} = 0.1;$$
(3.12)

нубіп України

$$p' = 5.71; \\ T = 62000 \cdot \operatorname{tg}(4.5 + 5.71) = 11166.732 \text{ Н}$$

нубіп України

нубіп України

нубіп України

нубіп України

нубіп України

нубіп України

**НУБІП України**

Визначмо момент опору перетину гвинта  $W, \text{м}^2$

$$W = 0.1 \cdot 0.0404^2 = 0.00000659 \text{ м}^2;$$

$$W = 0.1 \cdot d_1^2, \quad (3.13)$$

**НУБІП України**

$\sigma^2 + 4\tau^2 = \sqrt{\frac{62000}{0.00128 \cdot 10^6} + 4 \cdot \frac{247.901}{0.00000659 \cdot 10^6}} = 89.48 \text{ МПа.}$

Гвинти, які працюють на стискання, перевіряють на стійкість.

$$\mu l > (8...10) d_1,$$

де  $l$  – найбільша вільна довжина гвинта, м;

**НУБІП України**

$\mu$  – коефіцієнт довжини, який враховує характер закріплення кінців гвинта.

Сила  $P_{kp}$  визначається по формулі Ейлера. Якщо гнуучкість гвинта  $\lambda \leq 100$ , то:  $\lambda = \frac{\mu l}{i}$ ,

$$(3.14)$$

**НУБІП України**

де  $i$  – радіус інерції, м

$$i = \sqrt{\frac{I}{A}}, \quad (3.15)$$

де  $I$  – момент інерції,  $\text{м}^4$

**НУБІП України**

$$I = 0.01 \cdot \left( 3 \cdot \frac{d}{d_1} \right)^2 d_1^4; \quad (3.16)$$

$$I = 0.01 \cdot \left( 3 \cdot \frac{0.0485}{0.0404} \right)^2 \cdot 0.0485^4 = 0.0000002 \text{ м}^4,$$

**НУБІП України**

$$i = \sqrt{\frac{0.0000002}{0.00128}} = 0.0125 \text{ м};$$

$$\lambda = \frac{0.355}{0.0125} = 28.4;$$

$$n_y = \frac{151552.58}{62000} = 2.44.$$

**НУБІП України**

Якщо стійкість не забезпечується, то гвинт перераховують. Гайки виготовляють з антифрикційних матеріалів – бронзи або чавуну.

Знаючи параметри гвинта, знаходимо частоту обертання черв'ячного колеса, хвил $^{-1}$

$$n = \frac{60 \cdot v}{S_1},$$

нубіп України<sup>(3.17)</sup>

нубіп України

нубіп України

нубіп України

нубіп України

нубіп України

нубіп України

де  $S_1$  – хід різьби, мм;  
 $v$  – швидкість гвинта (швидкість підйому робочого органу), м/с;  
 $n = \frac{60 \cdot 0.01}{12} = 0.05$  хв.

Потужність двигуна, кВт

$$N = \frac{\rho \cdot v}{1000 \cdot \eta_e \cdot \eta_p} \quad (3.18)$$

де  $\eta_e$ ,  $\eta_p$  – к.к.д. гвинтової черв'ячної пари ( $\eta_p = 0,9$ );

К.К.Д гвинтової передачі:

$\eta_p = \frac{A_k}{A_p}$

$$N = \frac{372}{1000 \cdot 0.9 \cdot 0.44} = 1.57 \text{ кВт.} \quad (3.19)$$

де  $A_k$  – корисна робота підйому вантажу, Н·м,  $A_k = 372$  Н·м;

$A_p$  – робота за один оберт гвинта, необхідна для підйому вантажу,  $A_p = 842.36$

$\eta_p = \frac{372}{842.36} = 0.44$ ;

$$N = \frac{62000 \cdot 0.01}{1000 \cdot 0.9 \cdot 0.44} = 1.57 \text{ кВт.}$$

Приймаємо  $N = 2$  кВт.

Згідно з розрахунків було визначено, що для забезпечення електромеханічного підйомника, який призначений для вивінчування скутерів й автомобілів масою до 3,5 т., необхідно застосовувати електродвигун потужністю 2 кВт.

**3.5 Розрахунок деталей пристроя на міцність**

Площу перерізу стійки можна визначити за формуллю:

$$A = \frac{\pi (d_o - d_e)^2}{4} \quad (3.20)$$

$A = \frac{3.14 (120 - 108)^2}{4} = 113.04 \text{ мм}^2$

Напруження, які виникають в перерізі стійки, визначимо формулою:

$$\sigma_e = \frac{F_{\max}}{A}; \quad (3.21)$$

$$\sigma_e =$$

5000  
113.04  
НУБІП України

± 44.1  
МПа

НУБІП України

НУБІП України

НУБІП України

НУБІП України

НУБІП України

НУБІП України

Дійсні напруження стиску менші від граничних. При роботі стендів виникають поперечні сили, що є причиною згинних моментів (1000 Н·м). Напруження стиску-роздягу, які викликають дією моментів згинних, визначаємо формулою:

$$\sigma = \frac{M_{\max}}{W_0}, \quad (3.22)$$

де  $W_0$  — момент опору стійки основи осьовий.

$$W_0 = \frac{\pi d^3}{32} \left[ 1 - \left( \frac{d}{s} \right)^4 \right], \quad (3.23)$$

$$W_0 = \frac{3.14 \cdot 120^3}{32} \left[ 1 - \left( \frac{108}{120} \right)^4 \right] = 58312 \text{ мм}^3;$$

$$\sigma = \frac{1000 \cdot 10^3}{58312} = 17 \text{ МПа.}$$

Напруження не перевищують допустимих.  
Силу зрізу приймаємо (12000 Н.)

На рисунку 3.6 показано схему навантаження зварного шва стійки основи стендів.



Рисунок 3.6 – Розрахункова схема для визначення навантаження зварного шва основи

Дійсні напруження максимальні, які виникають в зварних швах стійки

визначаємо формулою:

$$\tau_{\max} = \frac{F_{\text{ср}}}{\pi \cdot d_3 \cdot 0.7k}, \quad (3.24)$$

де  $k$  – катет шва ( $k = 7 \text{ мм}$ ).

$$\tau_{\max} = \frac{12000}{3.14 \cdot 120 \cdot 0.7 \cdot 7} = 6.5 \text{ МПа.}$$

НУБІП України

Напруження в зварювальних швах максимальні не перевищують граничні.

НУБІП України

НУБІП України

НУБІП України

НУБІП України

НУБІП України

НУБІП України

# НУБІЙ України

## 4 СПЕЦІАЛЬНА ЧАСТИНА

### 4.1 Використання прикладного програмного забезпечення для вирішення задач магістерської роботи

Система автоматизованого проектування (САПР) або автоматизована система проектування (АСП) це автоматизована система, призначена для автоматизації технологічного процесу проектування виробу, кінцевим результатом якого є комплект проектно-конструкторської документації, достатньої для виготовлення та подальшої експлуатації об'єкта проектування. Реалізується на базі спеціального програмного забезпечення, автоматизованій банків даних, широкого набору периферійних пристройів.

САПР виконує такі функції:

- конструкторська частина — розробка нового комплексу конструкторської документації;
- технологічна частина — розрахунок і проектування технологічних схем, технологічного оснащення, транспорту;
- архітектурно-будівельна частина — розрахунок і проектування металевих і залізобетонних конструкцій;
- санітарно-технічні системи — проектування теплопостачання, опалення і вентиляції виробничих і адміністративних корпусів, а також водопостачання і каналізації;
- електротехнічні системи — розрахунок і проектування електропостачання, електросилового устаткування, світлотехнічної частини проектів, телемеханізації електропостачання;
- гідротехнічні спорудження — розрахунок і проектування напірного і безнапірного гідротранспорту відвальніх хвостів стійкості укосів.
- системи автоматизації — розробка схем зовнішніх з'єднань, електричних і труборучних проводок щитів автоматики;

**САПР** — складання локальних і зведеніх кошторисів, відомостей матеріалів, специфікацій, комплектація обладнання.

САПР включає такі технології:

- CAD (англ. *Computer-aided design*) — технологія автоматизованого проектування;

• CAM (англ. *Computer-aided manufacturing*) — технологія автоматизованого виробництва;

- CAE (англ. *Computer-aided engineering*) — технологія автоматизованої розробки;

• CALS (англ. *Continuous Acquisition and Life cycle Support*) — постійна інформаційна підтримка поставок і життєвого циклу.

Система автоматизованого проектування і розрахунку — комп'ютерна

система обробки інформації, що призначена для автоматизованого проектування (CAD), розроблення(CAE) і виготовлення (CAM) кінцевого продукту, а також оформлення конструкторської і/або технологічної документації.

Дані з CAD-систем передаються в CAM (англ. *Computer - aided manufacturing* — система автоматизованої розробки програм обробки деталей

для верстатів з ЧПУ або ГАВС (Гнучких автоматизованих виробничих систем))

Робота з САПР полягає у створенні геометричної моделі виробу

(двовимірної чи тривимірної, твердотільної), генерацію на основі цієї моделі конструкторської документації (креслень виробу, специфікації тощо) і його наступний супровід.

Слід зазначити, що термін «САПР» по відношенню до промислових

систем має ширше тлумачення, ніж CAD — він включає CAD, CAM і CAE.

Компоненти САПР:

- Математичне забезпечення — математичні моделі, методики та методи їх отримання;
- Лінгвістичне забезпечення- мовне забезпечення

**НУБІЙ України**

- Технічне забезпечення — пристрій введення, обробки і виведення даних, засоби підтримки архіву проектних рішень, пристрій передачі даних;
- Інформаційне забезпечення;

• Програмне забезпечення — інформаційна база САПР, автоматизовані

банки даних, системи керування базами даних (СКБД)

• Методичне забезпечення;

#### 4.2 Класифікація програмного забезпечення САПР

Програмне забезпечення САПР поділяється на загальносистемне, базове і прикладне.

Загальносистемне ПО не відбуває специфіку конкретної предметної області й особливості конкретної САПР. Загальносистемне ПО розробляють для різних застосувань ЕОМ і в нього входять операційні системи (ОС) машин.

Базове ПО призначено для використання багатьма проектними організаціями. Воно розробляється разом з апаратною частиною робочих місць проектувальника і виконує функції обслуговуючих підсистем САПР. У базове ПО включають, наприклад, засобу редагування графічних зображень, системи керування базами даних і т. п.

Прикладне ПО складають пакети прикладних програм (ППП), призначенні для виконання різних проектних процедур. ППП — сукупність програм, об'єднаних спільністю застосування й орієнтацією на визначений клас задач.

Укрупнена структура одного з рівнів ПО САПР представлена на мал. 4.1.

При структуруванні програмного забезпечення крім ППП використовують поняття програмних систем, комплексів і компонентів.

Комплекс по визначеню в Єдиній системі програмної документації (ЕСПД) — складна програма, яку можна розділити на складові частини.

Компоненти — складові частини програм, що виконують однорідні функції.

Поняття «комплексів-компонентів» аналогічні поняттям «система-елемент» у блочно-ієрархічному проектуванні складних об'єктів.

У залежності від складу компонентів розрізняють кілька типів ППП.

**ППП** простої структури включають тільки функціональні обробні програми, кожна з яких призначена для виконання деякої проектної чи процедури операції. ППП цього типу використовуються на таких маршрутах проектування, де виконувані проектні операції досить автономні і здійснюються послідовно, а міжпрограмні зв'язки слабкі.

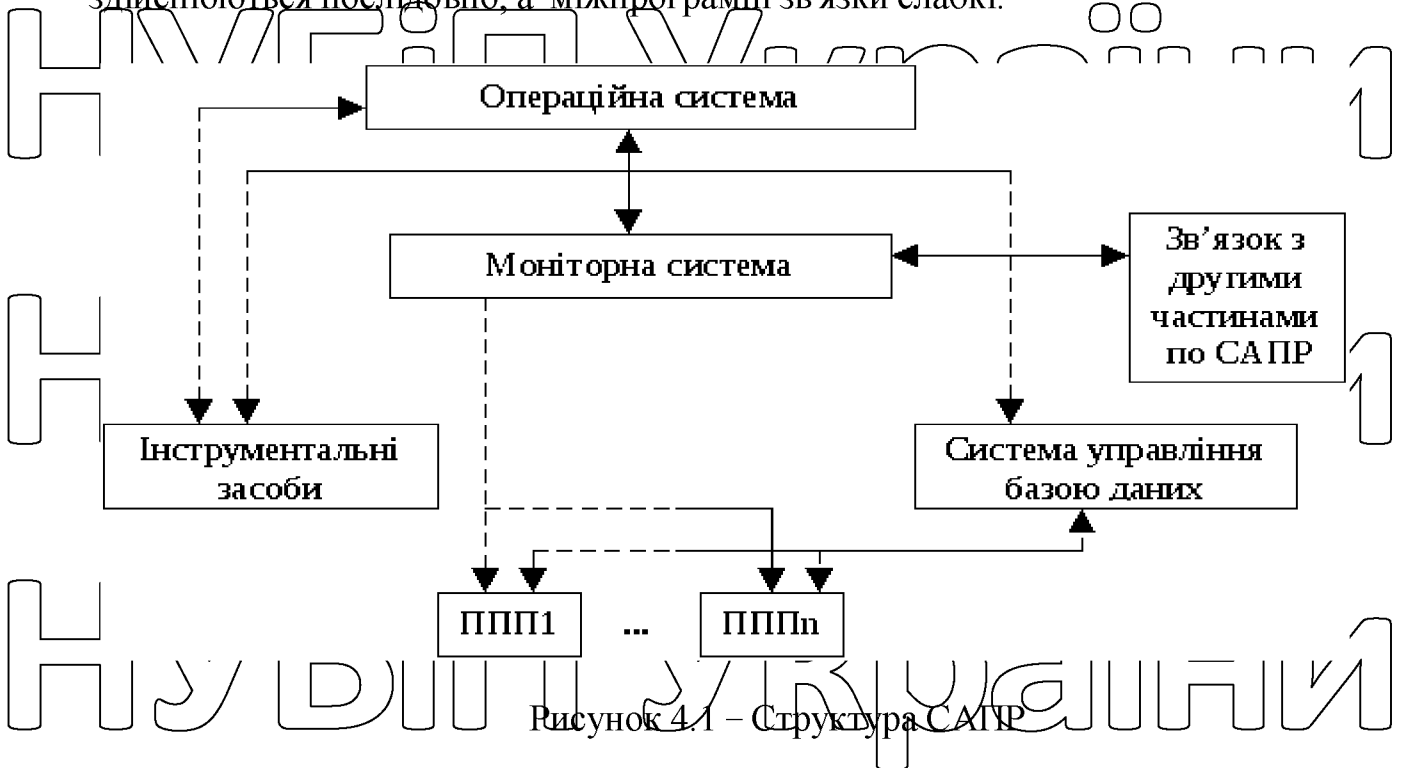


Рисунок 4.1 – Структура САПР

ППП складної структури включають власну керуючу частину, називану монітором. Програмна система додатково поєднує засоби взаємодії і спілкування проектувальника й ЕОМ – язиковий процесор із проблемно-орієнтованою входною мовою. Програмні системи разом з відповідним лінгвістичним і інформаційним забезпеченням відносяться до програмно-методичних комплексів САПР;

Керуюча частина ПО має ієрархічну організацію. В узагальненому представленні її можна розділити на рівні: операційна система обчислювальної мережі, операційні системи окремих ЕОМ, моніторне системи різних автоматизованих систем, моніторна система окремої САПР, монітори окремих програмних чи систем ППП.

## **4.3 Впровадження систем автоматизованого проектування**

Безупинне ускладнення сучасних засобів і процесів їх виготовлення,

зростаючі вимоги до надійно умов і якості продукції, і навіть необхідність скорочення строків підготовки виробництва, зниження трудомісткості і вартості інженерних робіт неминуче ведуть до широкого впровадженню обчислювальної техніки до процесів створення нових виробів.

Останніми роками наші країни за кордоном розробляються та

впроваджуються системи автоматизованого проектування (САПР). САПР є комплексом технічних засобів, програмного і математичного забезпечення, готовий до виконання в автоматичному режимі інженерних розрахунків, графічних робіт, вибір варіантів технічних і організаційних рішень тощо.

САПР успішно застосовуються розробки нових виробів на радіоелектронній промисловості, під час проектування літаків, автомобілів, верстатів та, розробки технологічних процесів та оснащення. Застосування систем автоматизованого проектування дуже ефективно. Так, при проектуванні многошпиндельних головок автоматичних ліній традиційним способом на складальну одиницю витрачається 10-12 днів. З допомогою ЕОМ проектні роботи виконуються за 15 хв. Весь цикл проектування у своїй обсягності займає один-півтора дня.

Впровадження САПР потребує створення відповідної системи організації робіт, бо лише в цьому випадку забезпечується ефективне використання складної і високопродуктивної техніки.

У організаційну структуру науково-технічних підрозділів підприємств під час введення САПР необхідно виділити спеціальну службу, покликану займатися автоматизацією проектно-конструкторських і технологічних робіт.

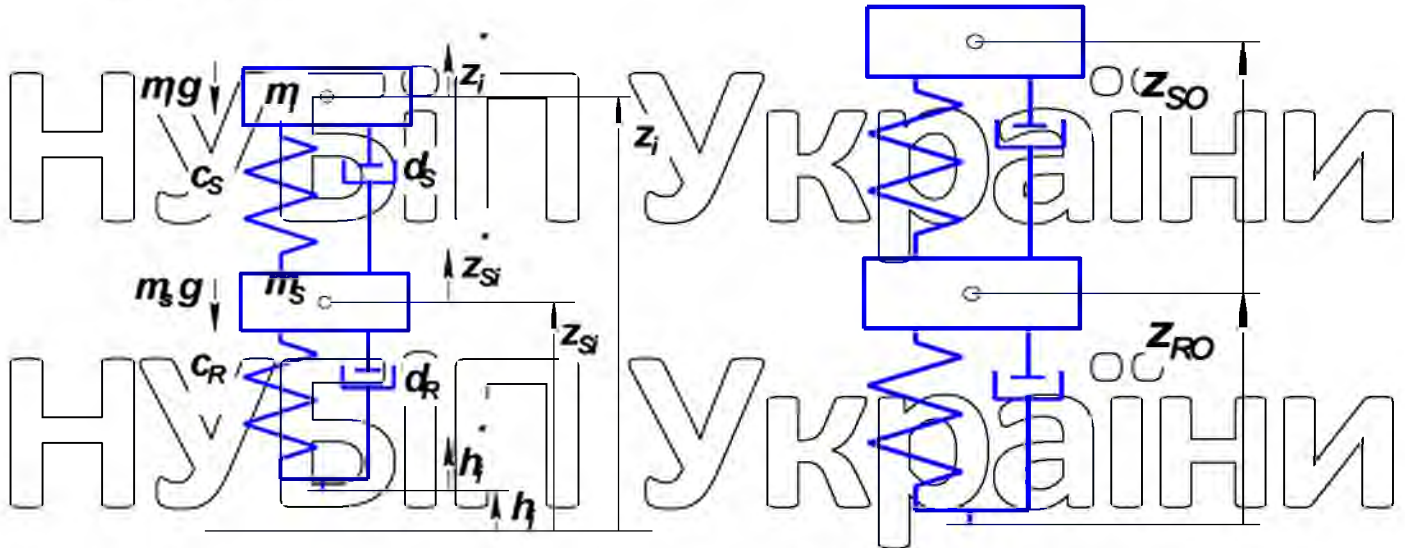
# НУБІП України

5.1. Аналіз заходів по унравленню ресурсів шин

Ступінь впливу експлуатаційних чинників на знос шин автобусів різний.

Вивів динамічних процесів на інтенсивність зношування шин виконало для розробки динамічної моделі подолання перешкоди автомобілем.

Для складання рівнянь руху автобуса необхідно задатися допущеннями, що виступи на траєкторії постійної швидкості руху автобуса змодельовані як нерівності дорожнього покриття, представлені функцією часу; ресори змодельовані як лінійний елемент. Розрахункова схема являє собою динамичну модель, що складається з двох мас-елементів: перша – маса вісі у зборі, друга – маса кузова (з пасажирами) (рис. 5.1), де індекс  $S$  позначає підресорювання керованого колеса,  $R$  – керованого колеса;  $m_s$  – маса конструкції із колеса, підшипника, вісі та жорстко поєднаних з цими частинами деталей механізму демпфування.



а) підресорене кероване колесо

б) розвантажене кероване колесо.

Рисунок 5.1 – Розрахункова схема

Враховуючи максимально відкриту і узгоджену позицію підресорювання

покришки  $z_{R0}$  і керованого колеса  $z_{s0}$ , то диференціальні рівняння мають вигляд:

$$m_S \ddot{z}_{Si} = -m_S g + c_R (z_{R0} - z_{Si} - h_i) - d_R (\dot{z}_{Si} - \dot{h}_i) + c_s (-z_{S0} - z_{Si} + z_i) + d_s (\dot{z}_i - \dot{z}_{Si}); \quad (5.1)$$

де  $m_s$  – маса вісі у зборі, кг;

$$m_s \ddot{z}_i = -m_s g + c_s (z_{S0} - z_i + z_{Si}) - d_s (\dot{z}_i - \dot{z}_{Si}), \quad (5.2)$$

$m_s$  – маса кузова (з вантажем), кг;

$g$  – прискорення вільного падання,  $\text{м/с}^2$ ;

$c_s$  – жорсткість пружини керованого колеса,  $\text{kН/м}$ ;

$z_{S0}$  – підресорювання керованого колеса, мм;

$z_{R0}$  – підресорювання покришки, мм;

$h_i$  – нерівності поверхні, мм;

$d_R$  – демпфування керованого колеса,  $\text{Нс/м}$ ;

$d_s$  – демпфування підресорювання керованого колеса,  $\text{Нс/м}$ .

Моделювання вертикальної динаміки моделі показано на рисунках 5.2

5.3.

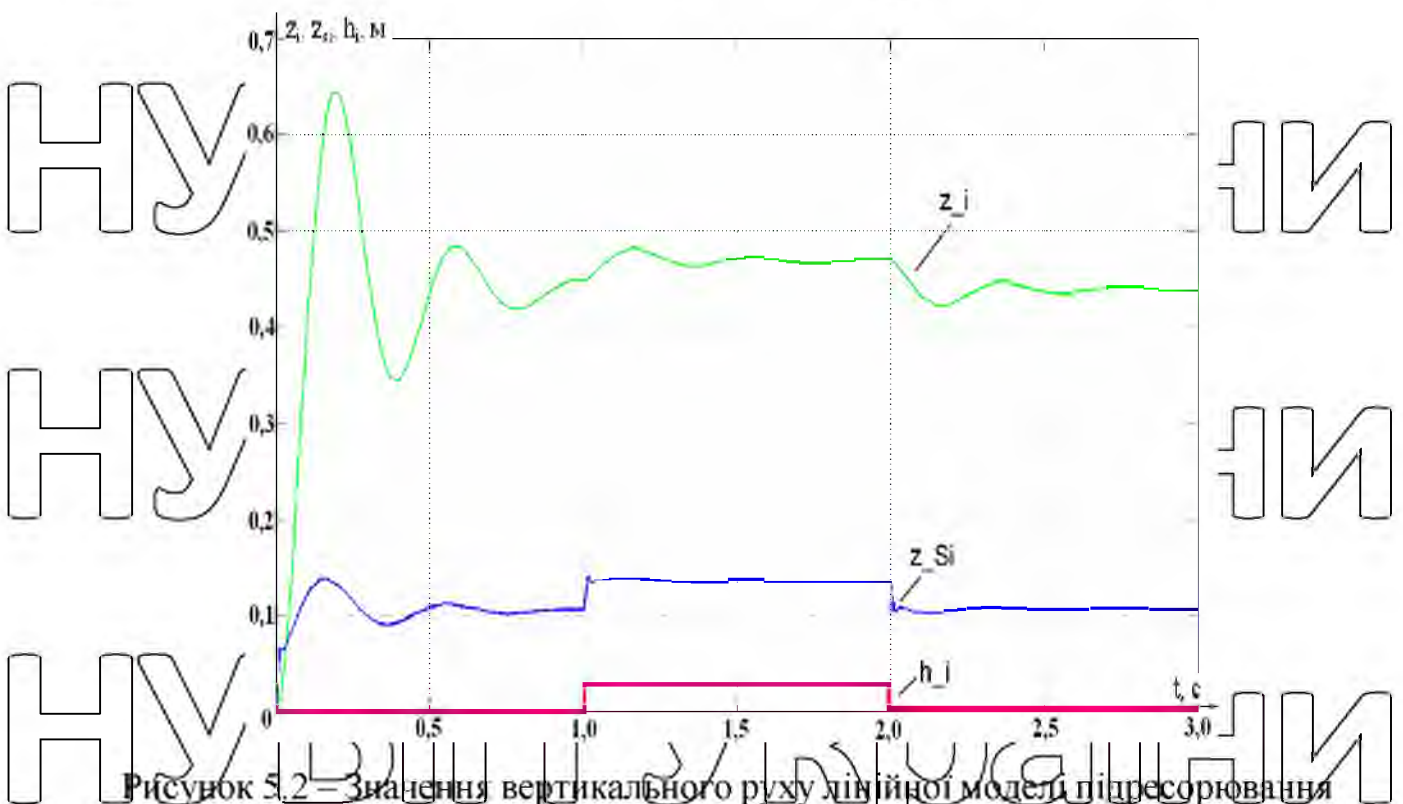


Рисунок 5.2 – Значення вертикального руху лінійної моделі підресорювання

при наїзді на нерівності висотою 30 мм. ( $z_i(t)$ ,  $z_{Si}(t)$ ,  $h_i(t)$  за формулами (1) і (2))

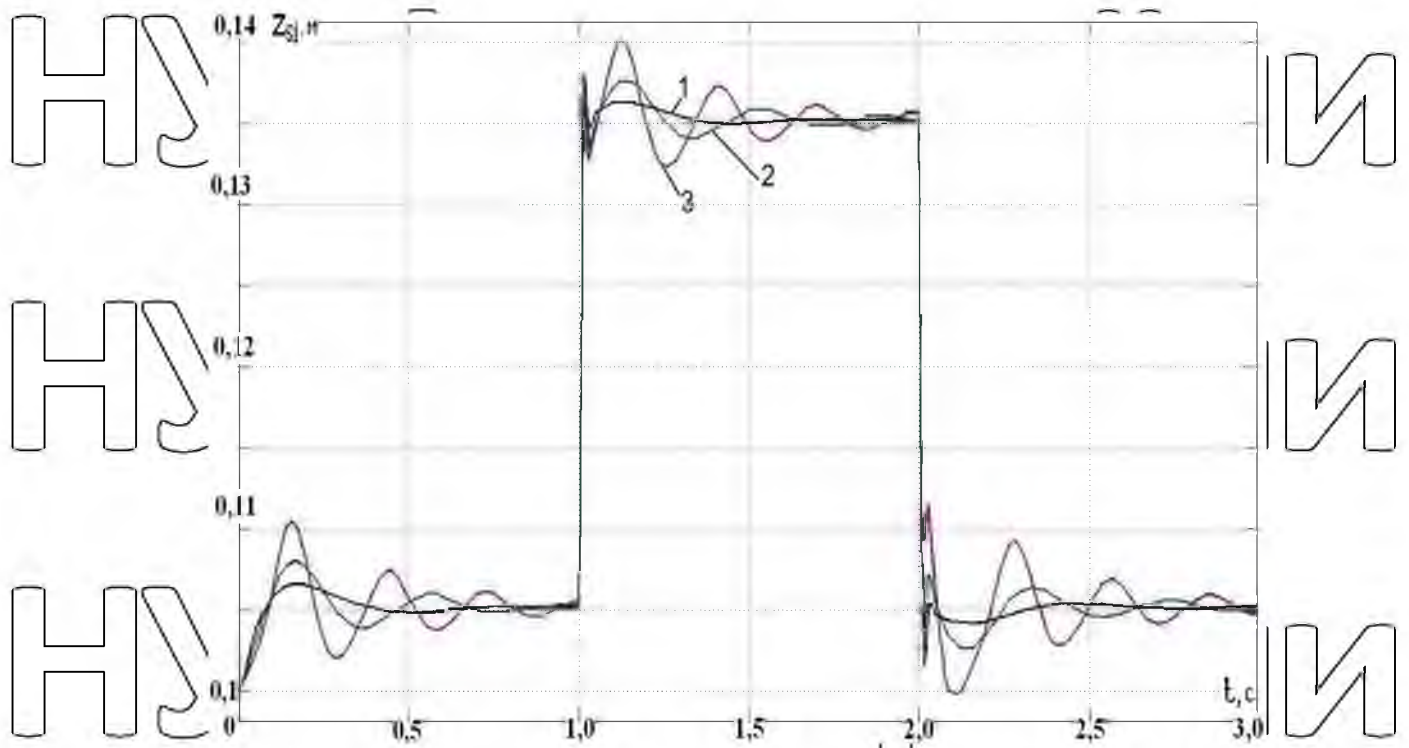


Рисунок 5.3 – Значення вертикального руху моделі підресорювання керованих коліс коли долають перешкоду висотою 30 мм для характеристик  $c_s$ : 1 – прогресивна; 2 – дегресивна; 3 – лінійна

# НУБІП України

Для узагальнення результатів змодельовано переїзд перешкоди для ресор з прогресивної, дегресивної і лінійної характеристик (рис.5.3).

# НУБІП України

Використання дегресивної характеристики дозволяє отримати спокійну вертикальну динаміку.

Моделювання динамічних процесів в шині й підвісці дозволило виявити, що: а) динамічна складова навантаження на шину виникає при подоланні вертикальних перешкод, різкому гальмуванні й наборі швидкості; її величина залежить від швидкості руху, висоти перешкоди і деміпруоних властивостей функціональних елементів підвіски, що досягає й перевищує величину статичного навантаження;

# НУБІП України

б) збільшення навантаження на шину і тривалість переходних процесів залежить від характеристик функціональних елементів підвіски, форми контактуючих поверхонь і призводить до збільшення контактних і дотичних

нагріт, проховування, що безпосередньо впливає на інтенсивність зношування та її розрахунок;

в) динамічна складова залежить від якості дорожнього покриття і категорії експлуатації та введена в розрахунок нормативного ресурсу статистичним

коєфіцієнтом впливу;

г) перевантаження шин від паспортних значень внаслідок дії динамічних процесів враховується при призначенні нормативного ресурсу відповідним

коєфіцієнтом коригування, що враховує усередину величину перевантаження

та його тривалість.

Пропонується розраховувати ресурс ( $N$ ) шин:

$$L = L_{\text{шина}} \cdot k_1 \cdot k_2 \cdot k_3 \cdot k_4 \cdot k_5 \cdot k_6 \cdot k_7, \text{тис. км}; \quad (5.3)$$

Коефіцієнти коригування потрібно вибирати за розробленими таблицями:

$$k_i = \frac{L_{\text{факт}}}{{L}_{\text{норм}}},$$

де  $k_i$  – коефіцієнти коригування ( $i = 1, 2, \dots, 7$ );

(5.4)

$L_{\text{факт}}, L_{\text{норм}}$  – відповідно фактичний і нормативний пробіг шин автобуса, тис. км

( $i = 1, 2, \dots, n$ ).

## 5.2 Удосконалення системи технічного обслуговування ходової

частини автомобіля

Пропонується комплекс технічних впливів з урахуванням форми й інтенсивності зношування протектора у вигляді розміченого графа елементів (рис. 5.4), які визначені на основі аналізу взаємозв'язків між інтенсивністю і формою зносу протектора з технічним станом ходової частини і рульового

управління автобуса:

$d_0$  і  $d_1$  – люфт рульового відповідно колеса та механізму і тяг;

$d_2$  – люфт підшипників в маточині коліс;

$d_3$  – люфт шкворневого з'єднання;

$d_4$  – технічний стан шин;  
 $d_5$  – тиск повітря в шинах;  
 $d_6$  – перекіс мостів;

$d_7$  – розвал коліс;

$d_8$  – сходження коліс;

$d_9$  – бикгя диску колеса;

$d_{10.1}$  і  $d_{10.2}$  – дисбаланс шин відповідно динамічний і статичний;

$d_{11.1}$  і  $d_{11.2}$  – відповідно овальність і технічний стан гальмівного механізму;

$d_{12}$  – співвідношення поворотів кутів керованих коліс;

$d_{13}$  – значення гальмівних сил;

$d_{14.1}$  і  $d_{14.2}$  – ефективність відповідно підвіски і амортизаторів;

$d_{15}$  – деформація обода;

$d_{16}$  і  $d_{17}$  – невідповідність технічним умовам відповідно посадки бортів і кріплення колеса;

$d_{18}$  – несправність амортизатора;

$d_{19}$  – порушення бази (затягування гайок стремянок задніх рессор);

$d_{20}$  – кут нахилу шворня;

$d_{21.1}$  і  $d_{21.2}$  – невідповідність заданому розподілу навантаження відповідно за всіма її колесами внутрішніми і зовнішніми;

$r_i$  – локалізація і усунення несправності.

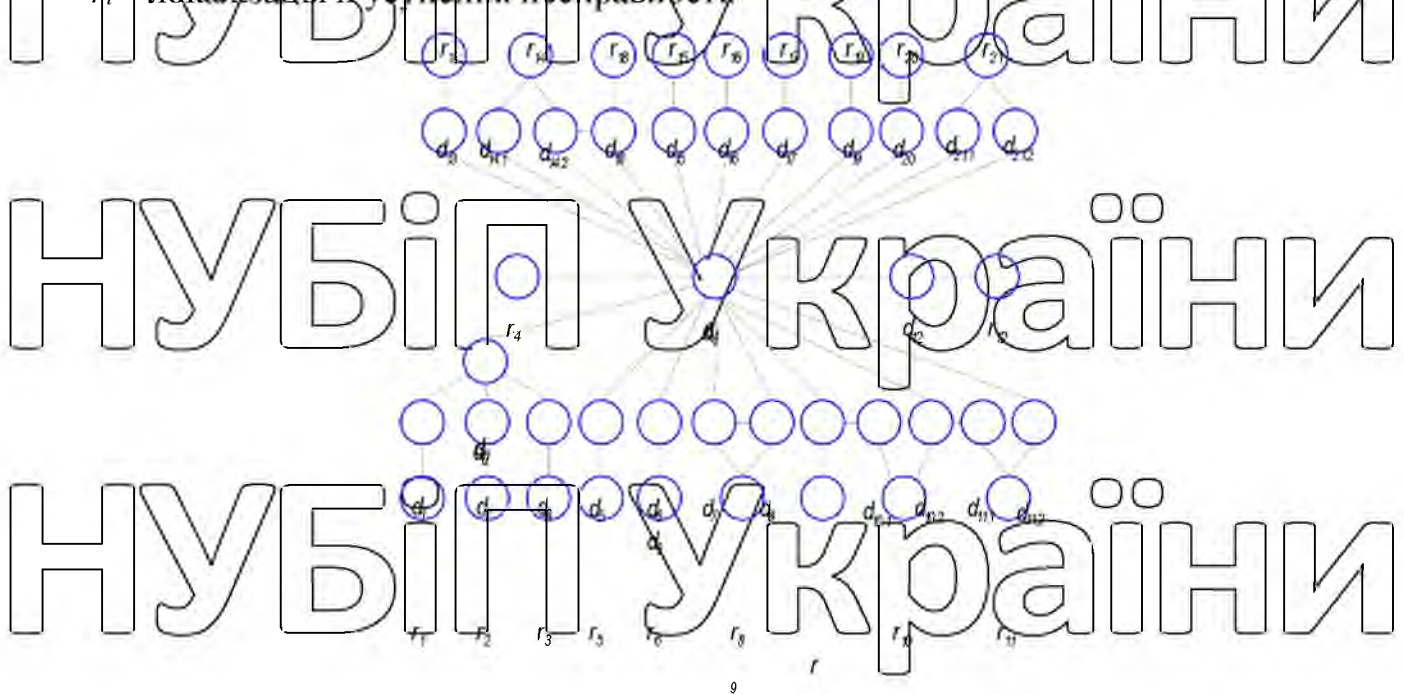


Рисунок 5.4 - Граф комплексу технічних впливів контролю за станом елементів

ходової частини з урахуванням форми й інтенсивності зношування протектора

# НУБІП України

# НУБІТ України

## 5.3 Стабілізація динамічної підвіски ТЗ шляхом удосконалення конструктивних параметрів.

Удосконалення підвіски має велике значення для визначення плавності ходу та впливає на інші експлуатаційні властивості ТЗ: Швидкість руху ТЗ по нерівних дорогах зазвичай обмежується не потужністю двигуна, а якістю підвіски. Тому, якість підвіски веде до загального зниження ефективності автомобілів.

Найбільш перспективною підвіскою для ТЗ, особливо є регульована підвіска, яка забезпечує підвищення плавності ходу. Однак при русі по нерівній

дорозі відбувається значний зсув вниз динамічного нейтрального положення коливань кузова. Розрахункова схема підвіски наведена на рис. 5.5

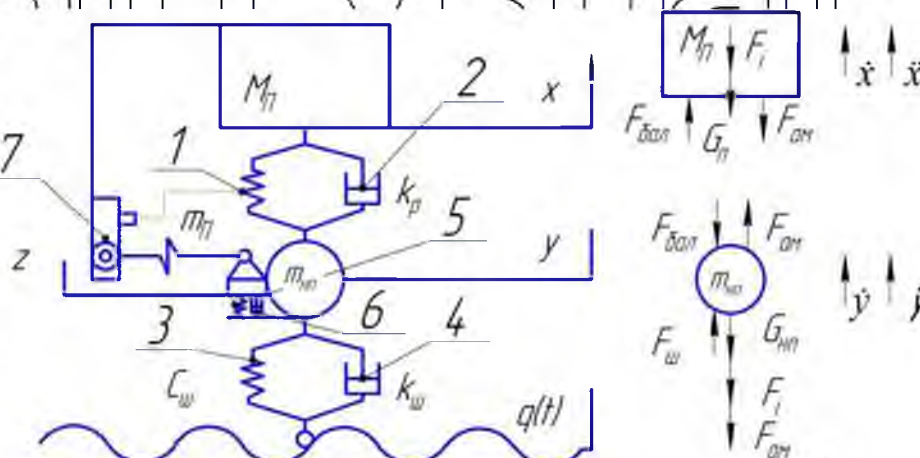


Рисунок 5.5 Розрахункова схема підвіски ТЗ з пружно-демпфуючим приводом регулятора

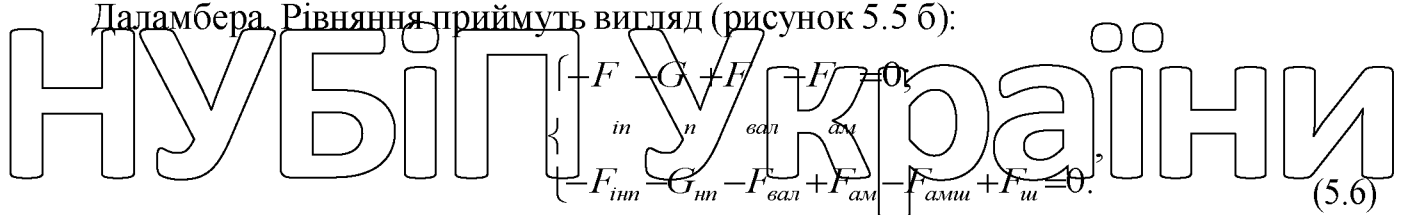
Рух системи розглядалося в інерціальній системі координат, пов'язаної із землею. Координату  $X$  будемо відраховувати від положення статичної рівноваги підресореною маси  $M_\eta$ , а координату  $Y$  - від положення статичної рівноваги непідресореної маси  $m_{\text{ш}}$ . Система рухається під дією кінематичного збурення, обумовленого мікропрофіль дороги, який описується функцією:

# НУБІП України

де  $t$  - час, с.

Для дослідження коливальної системи було застосовано принцип

Даламбера. Рівняння приймуть вигляд (рисунок 5.5 б):



де  $F_{in}$  - сила інерції підресореною маси;  $G_n$  - сила тяжіння підресореною маси;

$F_{aee}$  - сила, створювана пружним елементом;  $F_{am}$  - сила, створювана амортизатором;  $F_{ine}$  - сила інерції непідресореної маси;  $G_{in}$  - сила тяжіння

непідресореної маси;  $F_{aai}$  - сила імітації амортизуючих властивостей шини;  $F_o$  - сила, що імітує пружні властивості шини.

Характеристика пружного елемента була представлена трьома ділянками.

Значення зусилля в підвісці по ділянкам характеристики:

$F(h) = \begin{cases} P \cdot S(h) + c_{csc} \cdot (h_{csc} - h) & \text{при } h \leq h_{csc}; \\ P \cdot S(h) & \text{при } h_{csc} < h < h_{om}; \\ P \cdot S(h) + c_{om} \cdot (h - h_{om}) & \text{при } h \geq h_{om}. \end{cases}$

де  $h = X - Y$  - поточне значення висоти пневмобалона,  $CCAE$  - жорсткість

гумового буфера стиску,  $c_{i_0a}$  - жорсткість гумового буфера від боку,  $P$  - тиск у пневмобалонах,  $S(h)$  - ефективна площа пневмобалона залежно від деформації

$h$ . Тиск повітря визначалося з рівняння Менделєєва-Клапейрона.

Характеристика амортизатора прийнята лінійною, несиметричною, що є загальноприйнятим допущенням в теорії підресорювання. Спіл амортизатора визначається по залежності:

$$(dx \ dy) \left| k_{om} \cdot \left( \frac{dx}{dt} \cdot \frac{dy}{dt} \right) \right| \text{при } \frac{dx}{dt} \cdot \frac{dy}{dt} \geq 0$$

**нубіп** України

$$\frac{F_{ext}}{dt} \cdot dt$$

$$k_{cnc} \cdot \frac{dx}{dt}$$

$$\frac{kpu}{dt} \frac{dx}{dt} \frac{dy}{dt}$$

(5.8)

**нубіп** України

**нубіп** України

**нубіп** України

**нубіп** України

**нубіп** України

**нубіп** України

де  $k_{\text{і}} \cdot k_{\text{п}}$  – коефіцієнт опору амортизатора. Коефіцієнти визначалися методом енергетичної лінеаризації.

Пружна характеристика шини складалася з трьох ділянок і описувалася

наступною залежністю:

$$F_{\text{ш}}(y, q) = \begin{cases} 0 & \text{при } (y-q) > f_{\text{ш}}; \\ c_{\text{ш}} \cdot (f_{\text{ш}} - (y-q)) & \text{при } f_{\text{ш}} \leq (y-q) \leq f_{\text{ш}}; \\ c_{\text{ш}} \cdot (f_{\text{ш}} - f_{\text{ш}}) + c_{\text{об}} \cdot (f_{\text{ш}} - (y-q)) & \text{при } (y-q) < f_{\text{ш}} \end{cases} \quad (5.9)$$

де  $f_{\text{ш}}$  – деформація шини на початку;  $q$  – висота нерівностей дороги;  $c_{\text{ш}}$  – жорсткість шини,  $f_{\text{ш},\text{мак}}$  – мінімальна висота шини до упору в обід колеса,  $c_{\text{об}}$  – жорсткість обода. Таке уявлення пружною характеристики шини можу

довзволити враховувати відрив колеса від дороги. Амортизуючі властивості шини імітуються силою, пропорційною швидкості деформації шини:

$$F_{\text{амти}} = k_{\text{ш}} \frac{dy}{dt}, \quad F_{\text{ш}} = k_{\text{ш}} \frac{dq}{dt} \quad \text{при } y \neq q \quad (5.10)$$

де  $k_{\text{ш}}$  – коефіцієнт демпфірування шини.

Сили інерції підресореною  $F_{\text{пп}}$  і непідресореної  $F_{\text{ппп}}$  мас:

$$F_{\text{пп}} = m_{\text{пп}} \cdot \frac{d^2 \cdot x}{dt^2}, \quad F_{\text{ппп}} = m_{\text{ппп}} \cdot \frac{d^2 \cdot y}{dt^2}. \quad (5.11)$$

Рішення системи рівнянь (5.9) здійснювалося чисельним методом Рунге-

Кутти другого порядку.

Після підстановки цих виразів в систему отримаємо:

$$\frac{d^2 \cdot x}{dt^2} + g - \frac{F(x, y, T)}{m} = 0 \quad \frac{d^2 \cdot y}{dt^2} + g - \frac{F(x, y, T) + F_{\text{ппп}}}{m} = 0$$

$$\frac{dx}{dt} = v, \quad \frac{dy}{dt} = u$$

$$\frac{dv}{dt} = \frac{d^2 \cdot x}{dt^2}, \quad \frac{du}{dt} = \frac{d^2 \cdot y}{dt^2}$$

ИНДІАНИ  
HYPIAH

ИНДІАНИ  
HYPIAH

ИНДІАНИ  
HYPIAH

ИНДІАНИ  
HYPIAH

ИНДІАНИ  
HYPIAH

ИНДІАНИ  
HYPIAH

Г (5.12)  
d<sup>1</sup> (y-x)p  
d<sup>2</sup> (x-p)AR  
d<sup>3</sup> L<sup>1</sup> L<sup>2</sup>  
d<sup>4</sup> S<sup>1</sup> S<sup>2</sup>  
d<sup>5</sup> G<sup>1</sup> G<sup>2</sup>  
d<sup>6</sup> J<sup>1</sup> J<sup>2</sup>  
d<sup>7</sup> II  
d<sup>8</sup> I  
d<sup>9</sup> H<sup>1</sup> H<sup>2</sup>  
d<sup>10</sup> F<sup>1</sup> F<sup>2</sup>  
d<sup>11</sup> E<sup>1</sup> E<sup>2</sup>  
d<sup>12</sup> D<sup>1</sup> D<sup>2</sup>

**НУБІЙ України**  
Розрахунок проводився для пневматичної підвіски. Нерівності дороги були задані синусоїдальним профілем. Результати розрахунку коливань підресореною маси наведені на рисунку 5.6.

З рисунка видно, що на початку руху коливання обумовлені двома гармонійними складовими: коливаннями підвіски з власною частотою, і з частотою обурення від нерівностей дороги. У міру загасання низькочастотної гармоніки, обумовленої власною частотою підвіски, коливання переходят у режим усталеного руху. При цьому підресорена маса здійснює коливання з частотою обурює впливу, а ДН швидко зміщується вниз, зменшуючи динамічний хід підвіски. Пробій підвіски визначався по коливаннях висоти пневматичного балона (рисунок 5.7).

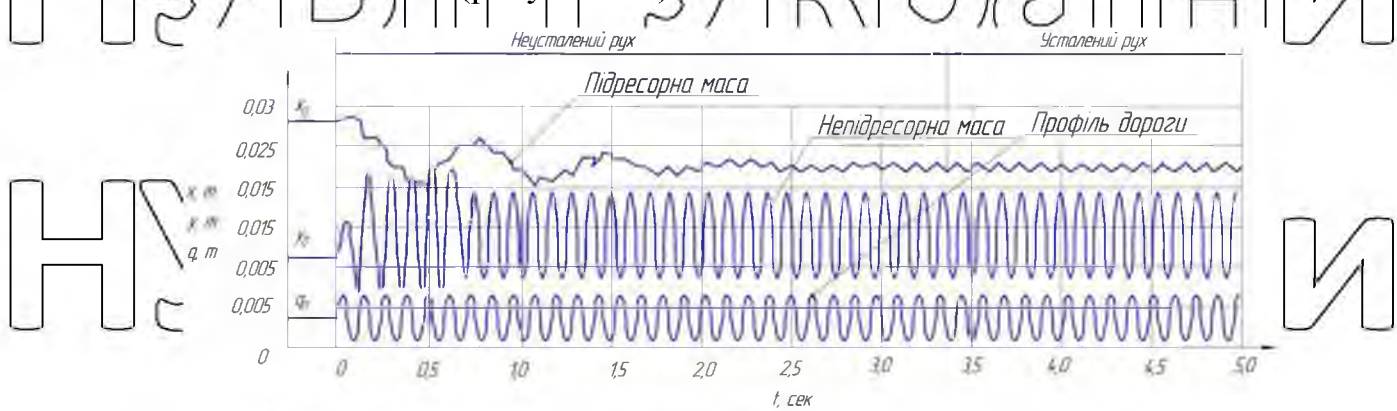


Рисунок 5.6 - Розрахункова осцилограма коливань підресореною і непідресореною мас при синусоїдальному кінематичному збуренні

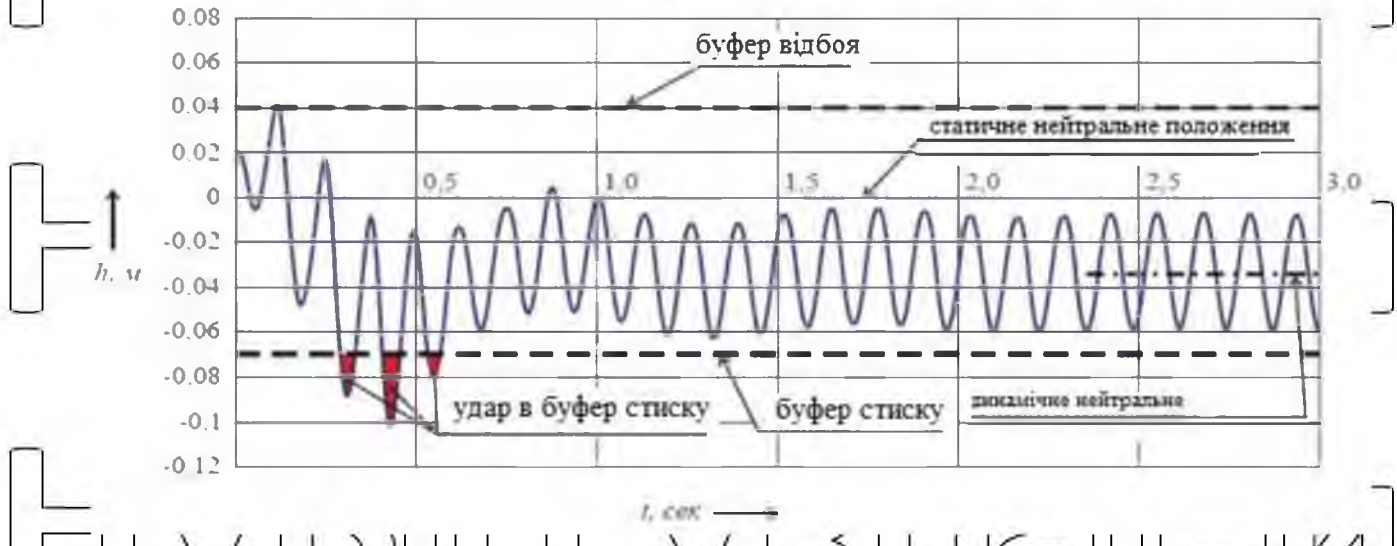


Рисунок 5.7 - Коливання підвіски з ударами в буфер стиснення (з пробоями в буфер стиснення)

Відриг колеса від дороги визначався по рівності нулю значення сили нині. Експериментальним дослідженням випробувань була перевірка теоретичних передумов про вплив РУП на параметри коливань підресороною і непідресороної мас і зсув ДН. Для цього проводився запис коливань пневмопідвіски з серійними і з уdosконаленими регуляторами. Для проведення експериментів був створений контрольно-вимірювальний комплекс. Типові осцилограмми коливань ДН передньої і задньої підвісок при русі автомобіля з серійним РУП показані на рисунку 5.8, а з уdosконаленим - на рисунку 5.9.

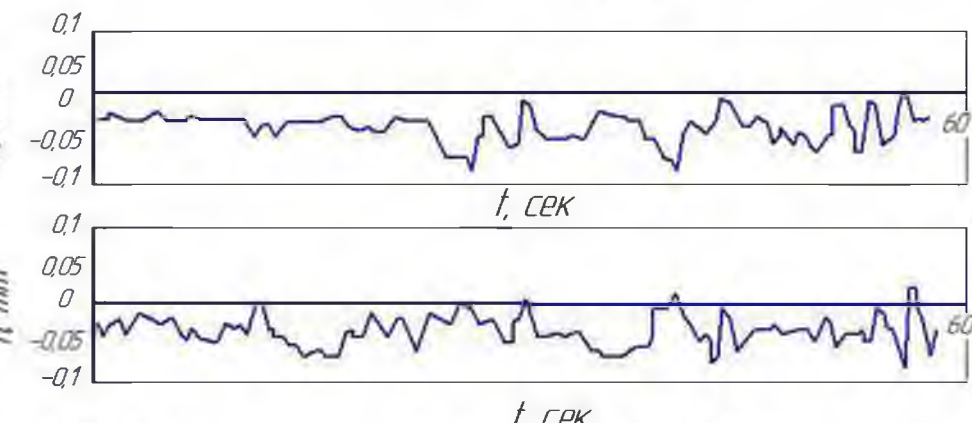


Рисунок 5.8 - Осцилограмми коливань підвіски автомобіля з серійним регулятором рівня підлоги

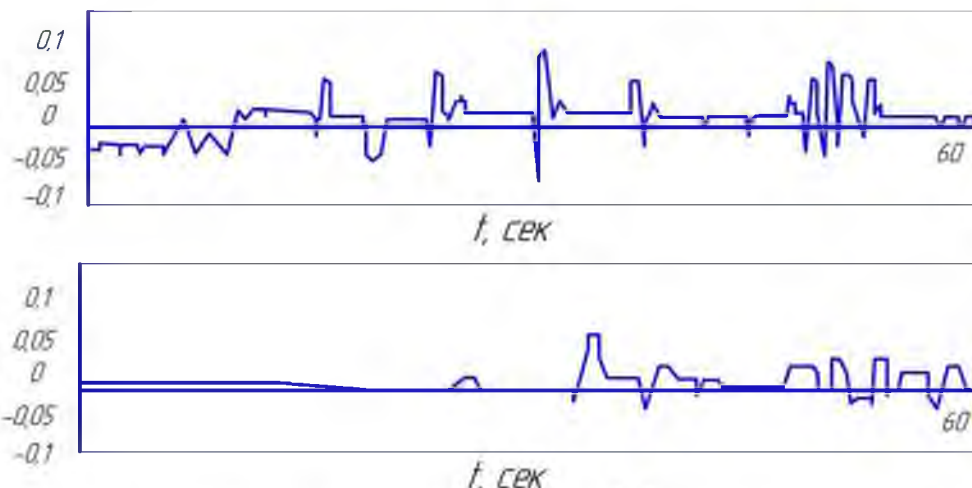


Рисунок 5.9 - Осцилограмма коливань підвіски автобуса

Як видно з порівняння отриманих осцилограм (рисунок 5.8 і 5.9), уdosконалений регулятор забезпечує значно більше стабільне положення ДН, ніж серійний. Трехточковий стабілізатор забезпечує стабільне положення ДН і зміщує її вниз.

# НУБІЙ України

## 6 ПРОЕКТИЙ РОЗДЛ

### 6.1 Розрахунок річної виробничої програми автомобільного парку підприємства

Виробнича програма АТП по ТО і ремонту характеризується числом технічних обслуговувань, які плануються на добу, рік, цикл. Їхне виконання у встановленому обсязі забезпечує високу технічну готовність рухомого складу і зменшує потреби у ремонтах. ТО виконується як без розбирання і зняття агрегатів і вузлів з автомобіля, так із розбиранням і зняттям. Окрім вузли знимають з автомобіля для їхнього контролю на спеціальних стендах і приладах в тому випадку, коли не можна перевіритися в повній їхній справності.

Виробнича програма є основою для визначення річних обсягів робіт по ТО і ремонту необхідної кількості виробничого персоналу, вибору методу ТО і ремонту автомобілів і технологічного устаткування зон і ремонтних дільниць АТП. ТО рухомого складу по періодичності, переліку і трудомісткості виконуваних робіт поділяється на:

- щоденне технічне обслуговування (ЩО);
- перше технічне обслуговування (ТО-1);
- друге технічне обслуговування (ТО-2);
- сезонне обслуговування (СО);
- поточний ремонт (ПР);

ЩО автомобілів призначено для загального контролю, забезпечення безпеки руху, належного зовнішнього вигляду, заправлення пальним, мастильними матеріалами, охолоджувальною рідиною, мийних робіт, а для деяких видів рухомого складу й санітарної обробки кузова. ЩО виконують перед виїздом автомобіля на лінію та після закінчення роботи й повернення в АТП. Основним призначенням ТО-1 і ТО-2 автомобілів є зменшення інтенсивності спрацювання деталей та вузлів, виявлення і попередження

відмов і несправностей шляхом своєчасного виконання контрольно-діагностичних, кріпильних, регулювальних, мастильних та інших робіт. То має забезпечувати безвідмовну роботу рухомого складу в межах встановлених періодичностей по пробігах, включеним в обов'язковий перелік операцій. ТО-1 і ТО-2 виконується

через певний пробіг.

СО проводиться два рази на рік і призначено для підготовки рухомого складу до експлуатації в холодну і теплу пору року і, як правило його виконання суміщається з виконанням ТО-1 і ТО-2.

ПР виконується за потребою, число впливів не планується. Оскільки виробнича програма в АТП розраховується на рік, то в даному курсовому проекті доцільно виробничу програму розраховувати на цикл. При цьому під циклом розуміють пробіг від початку експлуатації нового автомобіля до капітального ремонту (КР).

Цикловий метод розрахунку виробничої програми передбачає види і корегування нормативів періодичності ТО-1, ТО-2, пробігу до КР, розрахунок кількості ТО, ПР, КР за циклом, визначення коефіцієнту переходу від циклу до року і на його основі перерахунок кількості ТО і ПР на рік. Кількість ПР визначається із розрахунку на 1000 км. пробігу.

КР призначений для відновлення працевдатності автомобілів і агрегатів, забезпечення пробігу не менше 80% від норми пробігу нових автомобілів і агрегатів. За термін служби автомобіль піддається як правило одному КР, не

враховуючи КР вузлів та агрегатів до і після КР автомобіля. Виробнича програма є основою для визначення річних обсягів робіт по ТО і ПР автомобілів, необхідної кількості виробничого персоналу, вибору методу ТО і

ПР, вибору устаткування та обладнання для ремонтної зони та виробничих дільниць АТП.

Вихідні дані для розрахунку виробничої програми приведені в таблиці 2.1

Марка автомобіля	$A_i$ , авт.	$Lcd$ , км	Таблиця 6.1 Вихідні дані виробничої програми		
			Умови експлуатації і режим роботи автомобіля		
			КУЕ	Др., дн	Тн., год.
Ауді - 80	260	250	2	255	12

При розрахунках приймаємо наступні позначення:

$A_i$  – спискова кількість автомобілів;

$Lcd$  – середньодобовий пробіг автомобілів;

$L$  – пробіг до ремонту або ТО автомобілів;

$N$  – число ТО, ПР рухомого складу за цикл або за рік;

$D$  – число днів простотю одиниці рухомого складу в ТО або ремонті;

$T$  – трудомісткість виконання ТО і ремонту;

$\alpha_t$  – коефіцієнт технічної готовності;

$\alpha_n$  – коефіцієнт випуску автомобілів.

### 6.1.1 Вибір і корегування нормативів

Згідно «Положення про ТО і ремонт рухомого складу автомобільного транспорту» періодичність ТО-1 і ТО-2 для автомобіля Ауді - А6 становить:

$$L^u_{TO-1} = 5000 \text{ (км)};$$

де  $L^u_{TO-1}$  – нормативна періодичність до ТО-1;

$$L^u_{TO-2} = 20000 \text{ (км)};$$

де  $L^u_{TO-2}$  – нормативна періодичність до ТО-2;

Враховуючи трудомісткість технічних впливів і ПР становить:

$$T_{ЩО} = T^u_{ЩО} \cdot K_m; \quad (6.1)$$

де  $T_{ЩО}$  – трудомісткість виконання 1-го ЩО;

$K_m$  – коефіцієнт механізації робіт ЩО;

**НУБІП України<sup>(6.2)</sup>**

де  $M$  – доля mechanізованих робіт в ШО (%);  
 $K_M = \frac{M}{100}$ .

Приймаємо  $M = 35\%$ ;

**НУБІП України**

$K_M = 1 \cdot \frac{35}{100} = 0,35$ .  
 $K_M = 0,65 \text{ люд}\cdot\text{год.}$

$T_{\text{ЩО}} = 0,50 \text{ люд}\cdot\text{год.}$

де  $T_{\text{ЩО}}$  – нормативна трудомісткість виконання одного ШО;  
 $T_{\text{ТО-1}} = 2,9 \text{ люд}\cdot\text{год.}$   
 де  $T_{\text{ТО-1}}$  – нормативна трудомісткість виконання одного ТО-1;

$T_{\text{ТО-2}} = 11,7 \text{ люд}\cdot\text{год.}$

де  $T_{\text{ТО-2}}$  – нормативна трудомісткість виконання одного ТО-2;  
 $T_{np} = 3,2 \text{ люд}\cdot\text{год.}$   
 де  $T_{np}$  – питома трудомісткість поточного ремонту;  
 $T_{\text{ЩО}} = 0,50 \cdot 0,65 = 0,33 \text{ (люд}\cdot\text{год.)}$

Сезонне обслуговування становить 20% від трудомісткості ТО-2:

**НУБІП України**

$T_{\text{ЩО}} = 0,2 \cdot T_{\text{ТО-2}}; T_{\text{ЩО}} = 0,2 \cdot 11,7 = 2,34 \text{ (люд}\cdot\text{год.)}$

Так, як в Положенні 98 не поданий пробіг до КР, то використовуємо

нормативи ОНТП – 0186, пробіг до КР автомобіля становить:

**НУБІП України**

$L_{\text{КР}} = 300000 \text{ (км.)}$   
 де  $L_{\text{КР}}$  – нормативний пробіг автомобіля до КР.  
 Час простою автомобіля в ТО і ремонти становить.  
 $D_{\text{ТО ПР}} = 0,2 \text{ днів}/1000 \text{ км.}$

де  $D_{\text{ТО ПР}}$  – час простою автомобіля в ТО і ПР;  
 $D_{\text{КР}} = D_{\text{КР}} + D_{\text{д.}}$

де  $D_{\text{КР}}$  – нормативний час простою автомобіля в КР;

$D_{\text{д.}}$  – час доставку автомобіля на АРЗ і назад, днів;

**НУБІП Україні** (6.4)

Приймаємо  $L_{KP} = 12$  днів;  $\Delta_d = 0,2 \cdot L_{KP}$ ,  
 $D_d = 0,2 \cdot 12 = 2,4$  (днів);  
 $D_{KP} = 12 + 2,4 = 28,8$ (днів);

**НУБІП Україні**

Періодичність ТО та ПР може бути зменшена в наслідок різних умов експлуатації автомобілів згідно із завданням на курсове проектування автомобілів підприємства, що експлуатуються в умовах III експлуатації, ТО відкорегований норматив періодичності пробігу до КР становить:

**НУБІП Україні** (6.5)

$L_{TO-1} = L_{TO-1} \cdot K$ ;  
де  $K$  – коефіцієнт коригування нормативу в залежності від КУЕ ДГЗ;

Приймаємо  $K = 0,7$ ;

$$L_{TO-1} = 5000 \cdot 0,7 = 3500 \text{ (км)};$$

**НУБІП Україні** (6.6)

$L_{TO-2} = L_{TO-2} \cdot K$ ;  
 $L_{TO-2} = 20000 \cdot 0,7 = 14000 \text{ (км)}$ ;

**НУБІП Україні** (6.7)

$L_{KP} = L_{KP} \cdot K$ ,

$$L_{KP} = 300000 \cdot 0,7 = 210000 \text{ (км)};$$

**НУБІП Україні**

Відкориговані величини періодичності ТО і пробігу до КР перевіряється в кратності середньодобового пробігу ( $L_{сд}$ ) з наступним заокругленням до цілих сотих, при чому кожне допустиме відхилення  $\pm 10$ , тобто необхідно визначити кратні числа а, б, с.

**НУБІП Україні** (6.8)

$a = \frac{L_{TO-1}}{L_{сд}}$ ,  
 $a = \frac{3500}{250} = 14$ ,

**НУБІП Україні**

Звідси відкоригована періодичність пробігу до ТО-1 з врахуванням середньодобового пробігу становить:

**нубіп** України

$$L_{\text{то-1}} = L_{\text{сд. а}}; \quad (6.9)$$

$$L_{\text{то-1}} = 250 \cdot 14 = 3500 \text{ (км)};$$

**нубіп** України

Аналогічно визначаємо відкориговану періодичність до ТО-2 і пребігу КР:

$$b = \frac{L}{L_{\text{то-1}}}; \quad (6.10)$$

**нубіп** України

$$b = \frac{14000}{3500} = 4;$$

$$L_{\text{то-2}} = L_{\text{то-1}} \cdot b; \quad (6.11)$$

**нубіп** України

$$L_{\text{то-2}} = 3500 \cdot 4 = 14000 \text{ (км)};$$

$$c = \frac{L_{\text{кр}}}{L_{\text{то-2}}}; \quad (6.12)$$

**нубіп** України

$$c = \frac{210000}{14000} = 15;$$

$$L_{\text{кр}} = L_{\text{ц}} = L_{\text{то-2}} \cdot c; \quad (6.13)$$

де  $L_{\text{ц}}$  – відкоригована величина;

**нубіп** України

$$L_{\text{кр}} = 14000 \cdot 15 = 210000 \text{ км},$$

### 6.1.2 Визначення кількості ТО і КР за цикл

**нубіп** України

Визначаємо кількість ТО за допомогою формул:

$$N_{\text{то}}^{\text{п}} = \frac{L_{\text{ц}}}{L_{\text{кр}}}; \quad (6.14)$$

де  $L_{Ц}$  – відкоригована величина за цикл;

$L_{КР}$  – періодичність до КР;

**НУБІП України**

$$N_{Ц}^{\text{п}} = \frac{210000}{210000} = 1 \text{ (ремонт);}$$

**НУБІП України**

$$N_{\text{то-2}}^{\text{п}} = \frac{L_{Ц}}{L_{\text{то-2}}} - N_{\text{кр}}^{\text{п}};$$

$$N_{\text{то-2}}^{\text{п}} = \frac{210000}{14000} - 1 = 14 \text{ (обсл.);}$$

**НУБІП України**

$$N_{\text{то-1}}^{\text{п}} = \frac{L_{Ц}}{L_{\text{то-1}}} - (N_{\text{кр}}^{\text{п}} + N_{\text{то-2}}^{\text{п}});$$

$$N_{\text{то-1}}^{\text{п}} = \frac{210000}{3500} - (1 + 14) = 45 \text{ (обсл.);}$$

**НУБІП України**

Кількість ШО за цикл визначається з розрахунку того, що прибирально-мийні роботи рекомендується проводити кожного дня в незмінний час;

**НУБІП України**

$$N_{\text{шо}}^{\text{п}} = \frac{L_{Ц}}{L_{\text{сп}}} ;$$

$$N_{\text{шо}}^{\text{п}} = \frac{210000}{250} = 840 \text{ (обсл.).}$$

### 6.1.3 Розрахунок коефіцієнтів технічної готовності і використання

**автомобілів**

**НУБІП України**

Коефіцієнт технічної готовності визнаємо за допомогою формули:

$$\alpha_t = \frac{\text{Дец}}{\text{Дец} + \text{Д}} ;$$

**НУБІП України**

де  $\text{Дец}$  – кількість днів експлуатації автомобілів за цикл;

$D_{РЦ}$  – кількість днів простою автомобіля в ТО і ремонті за цикл;

**НУБІП України**

В розрахунку КГ прийнято, що кількість днів експлуатації автомобілів за цикл дорівнює кількості ПЧ за цикл:

$$Дец = N_{шо п} = 840 \text{ (днів);}$$

$$Дрц = Дкр + \frac{Дто пр \cdot Lц}{1000} \cdot K_{зп}; \quad (6.19)$$

**НУБІП України**

де  $K_{зп}$  – коефіцієнт зменшення простою в ТО-2 і ПР за рахунок часткового виконання робіт між змінний час;

Приймаємо  $K_{зп} = 0,25$ ;

$$Дрц = 28,8 + \frac{0,2 \cdot 210000}{1000} \cdot 0,25 = 39,3 \text{ (днів);}$$

$$\alpha_t = \frac{840}{840 + 39,9} = 0,95 ;$$

**НУБІП України**

Коефіцієнт використання автомобілів визначаємо за формулою:

$$\alpha_n = \frac{\alpha_t \cdot Др}{Дк} \cdot K_{зв} ; \quad (6.20)$$

**НУБІП України**

де  $Др$  – кількість робочих днів за рік;

$Дк$  – кількість календарних днів;

Приймаємо  $Дк = 365$  днів;

**НУБІП України**

$K_{зв}$  – коефіцієнт простої автомобіля з експлуатаційних причин;

Приймаємо  $K_{зв} = 0,95$ ;

$$\alpha_n = \frac{0,95 \cdot 255}{365} \cdot 0,95 = 0,64 ;$$

#### 6.1.4 Визначення річного пробігу автомобілів

**НУБІП України**

Річний пробіг визначається для розрахунку річного обсягу робіт з ПР:

$$Lpn = Дк \cdot \alpha_n \cdot Lcd \cdot Ai; \quad (6.21)$$

де  $Ai$  – наявність автомобілів в АТП;

# НУБІП України

$S_{\text{ПР}} = 365 \cdot 0,64 \cdot 250 \cdot 260 = 15184000 \text{ (км.)}$

## 6.1.5 Розрахунок коефіцієнту переходу від циклу до року

Виробничу програму в АТП розраховують на рік. Для ТО вона визначається

як добуток кількості впливів даного виду ТО на трудомісткість даного впливу, а для ПР як добуток річного пробігу автомобілів і питомої трудомісткості ПР. Для цього необхідно знати річну кількість впливу.

Результати розрахунків зведені в таблиці 6.2

Таблиця 6.2 Результати річного обсягу робіт

Вид робіт	Позначення	Кількість за рік, або річний пробіг автомобіля	Трудомісткість робіт	Річний обсяг робіт в люд/год
ЩО	$T_{\text{шо}}^{\text{р}}$	31152	0,5	15576
ТО-1	$T_{\text{то-1}}^{\text{р}}$	3276	2.9	9500.4
ТО-2	$T_{\text{то-2}}^{\text{р}}$	1019.2	11.7	11924.6
СО	$T_{\text{со}}^{\text{р}}$	520	3.2	171.6
ПР	$T_{\text{пр}}^{\text{р}}$	15184000	0.33	48588.8
Всього	$T_{\text{то пр}}^{\text{р}}$	-	-	37172.6

## 6.1.6 Визначення обсягу робіт по самообслуговуванню

автомобільного парку підприємства

Розподіл допоміжних робіт на АТП поданий в таблиці 6.3

# НУБІП України

# НУБІП України

Таблиця 6.3 Розподіл допоміжних робіт на АТП

Назва робіт	Трудомісткість % люд/год
Самообслуговування АТП	45 3345.53
Транспортні	10 743.45
Перегін автомобілів	15 115.18
Прийом і зберігання видача матеріальних цінностей	10 743.45
Прибирання території і приміщення	20 1486.9
Всього	100 7434.52

Всі роботи по обслуговуванню АТП проводяться відділом головного  
механіка. Розподіл робіт по самообслуговуванню приведений в таблиці 6.4

# НУБІП України

# НУБІП України

# НУБІП України

Таблиця 6.4 Розподіл робіт по самообслуговуванню

Назва робіт	Трудомісткість
Електротехнічні	25 % 836.38 лод/год
Механічні	10
Бляхарські	4
Деревообробні	16
Мідницькі	1
Слюсарні	16
Трубопровідні	22
Ковальські	2
Зварювальні	4
Всього	100

## 6.2 Розрахунок об'єкту проектування

### 6.2.1 Розподіл обсягу робіт для визначення розрахункових даних

Розподіл обсягу робіт поточного ремонту поданий в таблиці 6.5

Таблиця 6.5 Розподіл обсягу робіт поточного ремонту

№	Найменування робіт	%	Трудомісткість
	Постові роботи	-	24294.4
	Всього	50	
1	Агрегатні	18	8745.98
2	Слюсарно-механічні	10	4858.88
3	Електричні	5	2429.44
4	Акумуляторні	2	971.78
5	Ремонт системи живлення	4	1943.55
6	Шиноремонтні	1	485.89

продовження таблиця 6.5

7	Вулканізаційні	1	485.89
8	Ковальсько-ресорні	3	1457.66
9	Мідницькі	2	971.78
10	Зварювальні	1	485.89
11	Бляхарські	1	485.89
12	Арматурні	1	485.89
13	Оббивні	1	485.89
Всього		50	24294.4
Всього		100	48588.8

Визначаємо річну трудомісткість робіт по відділенню.

$$T_{pr} = T_{pr}^p \cdot C_{pr}; \quad (6.37)$$

де  $C_{pr}$  – доля трудомісткості робіт ПР яка припадає на відділення;

$$T_{pr} = 48588.8 \cdot 0,18 = 8745.98 \text{ (мод год)}.$$

## 6.2.2 Розрахунок кількості робітників

До виробничих робітників відносяться робітники різних зон і відділень, які безпосередньо виконують роботи по ТО і ПР рухомого складу. При такому розрахунку розрізняють технологічне і штатне число робітників. При

розрахунку кількості робітників відділення визначають технологічно необхідну

штатну кількість виробників. Їх визначаємо за формулою:

$$P_T = \frac{T_{pr} \cdot a_{pr}}{F_{rm}}; \quad (6.38)$$

де  $F_{rm}$  – річний виробничий час робочого місця при однозмінній роботі.

Для 5-ти робочої неділі визначаємо річний ремонтний виробничий фонд робочого місця:

$$F_{rm} = T_{zm} \cdot (D_k - D_c - D_{sv}), \quad (6.39)$$

де  $T_{zm}$  – час робочої зміни;

$\text{Дв}$  – кількість вихідних днів в році;  
 $\text{Дсв}$  – кількість свяtkovих і релігійних днів;  
 $\text{Дис}$  – передсвяtkові дні скороченні на 1 годину;

$\text{Дк}$  – кількість календарних днів в році;

$\text{Дс}$  – кількість суботніх днів які скорочені на 2 години;

Визначаємо річний виробничий час для 6-ти денного робочого тижня:

$$\text{Фрм} = T_{\text{зм}} \cdot (\text{Дк} - \text{Дв} - \text{Дс} \times (\text{Дис} \cdot 1 + \text{Дав} \cdot 2)); \quad (6.40)$$

$$\text{Рт} = \frac{8745.98}{2011} = 4,3,$$

Приймаємо 4 робітники

$T_{\text{зм}} = 8 \text{ год.};$   
 $\text{Дв} = 104 \text{ год.};$   
 $\text{Дс} = 7 \text{ год.};$

$\text{Фрм} = 8 \cdot (365 - 104 - 7) - (7 \cdot 1 + 7 \cdot 2) = 2011 \text{ (год);}$

Визначаємо штатну кількість робітників:

$R_{\text{шт}} = \frac{T_{\text{пр}}}{\text{Фшт}},$  (6.41)  
 де  $\text{Фшт}$  – річний виробничий час штатного робітника;

$$F_{\text{шт}} = \text{Фрм} - t_{\text{відп}} - t_{\text{пп}}; \quad (6.42)$$

де  $t_{\text{пп}}$  – час по поважних причинах;

$t_{\text{пп}} = 0,04 \cdot (\text{Фрм} - \text{твідп}),$   
 $t_{\text{пп}} = 0,04 \cdot (2011 - 24) = 79,5 \text{ (год);}$   
 $F_{\text{шт}} = 2011 - 24 - 79,5 = 1907,5 \text{ (год);}$

$$R_{\text{шт}} = \frac{8745.98}{1907,5} = 4.6 \text{ (робітників).}$$

Приймаємо 5 робітникі

### 6.2.3 Вибір технологічного устаткування і оснастки

Перелік технологічного устаткування приводиться в таблиці 6.6

Таблиця 6.6 Перелік устаткування відділення

№ п/п	Назва	Кількість	Габаритні розміри
1.	Вертикально-свердлильний верстат	1	1050×500
2.	Верстат для заточування інструменту	2	680×980
3.	Гідропрес	1	760×1200
4.	Плита поворотна	1	1000×750
5.	Стелаж для деталей	4	1400×500
6.	Стіл слюсарний	3	1400×800
7.	Лещата слюсарні	3	300×400
8.	Пристрій для перевірки рульового управління	1	800×600
9.	Верстат фрезерувальний	1	1000×600
10.	Настільний радіально-свердлильний верстат	1	580×800
11.	Настільний прес	1	480×800
12.	Стіл для контролю і сортування деталей	1	2000×600
13.	Універсальні центри для перевірки валів	1	650×1300
14.	Шафа для приладів	1	1200×600
15.	Ящик для ганчір'я	1	900×450
16.	Ванна для миття деталей	1	960×660
17.	Механізоване миття деталей	1	1960×950

18.	Стенд для ремонту коробки передач	1	оо 540×600
19.	Стенд для ремонту редукторів задніх мостів		1960×950
20.	Стенд для ремонту двигунів	1	оо 1960×950
21.	Стенд для ремонту рульових механізмів з гідропідсилювачем		1300×850
22.	Кран-балка підвісна	1	950×600
23.	Пожежний щит	1	4000×1500
24.	Кран-консультант Всього	32	100×540
-			

#### 6.2.4 Розрахунок площі обґрунтування планувальних рішень

Площа агрегатного відділення визначаємо за формулою:

$$F_{\text{агр}} = k_{\text{густ}} \cdot \sum F_{\text{обл}} \quad (6.44)$$

де  $k_{\text{густ}}$  – коефіцієнт густини розміщення обладнання;

$\sum F_{\text{обл}}$  – сумарна площа обладнання у відділенні;  
 $F_{\text{обл}} = 30 \text{ м}^2$

$$k_{\text{густ}} = 2,93;$$

$F_{\text{агр}} = 2,93 \cdot 30 = 87,9 \text{ м}^2$ .  
Приймаємо площу агрегатної дільниці по ремонту рульових рейок  $88 \text{ м}^2$ .

НУБІП України

# 7 ОБГРУНТУВАННЯ ЕКОНОМІЧНОЇ ЕФЕКТИВНОСТІ

## НУБІП України

### 7.1 Підприємство як економічний суб'єкт

Перехід до ринкової економіки — стратегічний напрям розвитку України.

Завдання це складне й багатогранне. Його вирішення включає в себе і перебудову відносин форм власності, і розвиток нормальної конкуренції, і створення відповідної ринкової інфраструктури.

Освоєння ринкових відносин — це формування нової ідеології економічного мислення і стратегії дій в умовах ринку, а не тільки необхідність розуміння нових термінів, категорій і понять.

Перехід від планової економіки до ринку має поступальний, еволюційний характер — від періоду певної економічної кризи до стабілізуючого періоду, що проходить у кілька етапів і вносить докорінні зміни в структуру державного управління, впровадження інвестиційної та інноваційної діяльності, зростання внутрішніх накопичень і приплив зовнішнього капіталу.

Сам процес трансформації складний, неоднозначний і багато в чому суперечливий.

Найхарактерніші риси сучасного періоду — це поява різноманіття форм власності, децентралізація управління, підвищення ролі основної господарської ланки (підприємств і організацій), що діє на принципах економічної самостійності і відповідальності за результати своєї діяльності.

На підприємстві безпосередньо поєднуються різні фактори виробництва для створення матеріальних благ та надання послуг, реалізуються особисті та колективні інтереси.

Упорядкована сукупність підприємств та їх об'єднань утворює економічну систему країни. Кінцева мета економічної діяльності підприємств полягає в розв'язанні суперечності між постійно зростаючими потребами суспільства та обмеженими ресурсами.

Діяльність підприємств, яка пов'язана із задоволенням потреб кожної людини, підлягає впливу багатьох факторів і охоплює широкий спектр питань:

організаційно-технологічного, економічного та фінансового характеру, які потребують повсякденного вирішення.

Діяльність підприємств дуже різноманітна. Оскільки будь-яке підприємство так чи інакше пов'язане з основними фазами відтворювального

циклу — виробництвом продукції і послуг, обміном і розподілом товарів, їх

споживанням, то можна виділити такі види діяльності підприємства: виробничу, комерційну, фінансову, консалтингову. Кожен з названих видів діяльності підприємства, з одного боку, є відносно самостійним, а з іншого

вони взаємно переплітаються, доповнюючи один одного. Однак мета і характер діяльності підприємств різні. За цією ознакою всі підприємства та організації

можна розподілити на дві групи: комерційні і некомерційні (некомерційні).

Комерційна організація (ділове підприємництво) — юридична особа, основна мета якої — одержання прибутку і його розподіл між засновниками (фізичними і юридичними особами). Комерційними організаціями є:

- господарські товариства;
- виробничі кооперативи;
- державні чи муніципальні унітарні підприємства.

Некомерційна організація — юридична особа, для якої одержання прибутку і його розподіл між засновниками не ставиться за основу мету, одержуваний прибуток використовується для саморозвитку, досягнення статутних цілей організації. До них належать:

- споживчі кооперативи;
- релігійні організації;

благодійні та інші фонди, громадські організації, асоціації і союзи, утворенні комерційними і некомерційними організаціями;

- установи, що цілком самофінансуються.

Організації з підприємницьким характером діяльності являють собою підприємства.

Згідно з Господарським кодексом України, підприємство — самостійний суб'єкт господарювання, створений компетентним органом державної влади або органом місцевого самоврядування, або іншими суб'єктами для задоволення суспільних і особистих потреб шляхом систематичного здійснення виробничої, науково-дослідної, торговельної та іншої господарської діяльності.

Суб'єктами господарювання є:

- господарські організації — юридичні особи, які здійснюють господарську діяльність та зареєстровані в установленому законом порядку;

- громадяни України, іноземці та особи без громадянства, які здійснюють господарську діяльність і зареєстровані відповідно до закону як підприємці;
- філії, представництва, інші відокремлені підрозділи господарських організацій (структурні одиниці), утворені ними для здійснення господарської діяльності.

Підприємства мають такі ознаки:

- виробничо-технічна єдність (спільність продукції, що виготовляється, процесів її виробництва, певний склад виробничих фондів, єдина технічна політика, спільність допоміжного і обслуговуючого господарства);

- організаційно-соціальна єдність (наявність єдиного трудового колективу, керівника та адміністрації підприємства, наділення підприємства правами і реквізитами юридичної особи);

- фінансово-економічна самостійність (можливість самостійно визначити напрями економічного розвитку, склад, обсяги продукції, що випускається, напрями розподілу прибутку підприємства, форми і розміри матеріального стимулювання, спільність системи планування та обліку).

Повний перелік ознак наведено на рис. 7.1.

Для ефективного господарювання істотним є визначення цілей створення і функціонування підприємства. Головну мету підприємства прийнято називати місією.

Існує широке та вузьке розуміння місії. У широкому розумінні місія — це філософія і призначення, сенс існування організації. У вузькому розумінні це сформульоване твердження відносно того, для чого, з якою причини існує організація.

НУ  
НУ

НУ  
НУ

НУ  
НУ

НУ  
НУ



Рисунок 7.1–Ознаки підприємства

**НУБіп України**

7.2 Визначення вартості відновлення деталі

Визначаємо заробітну плату:

$$\text{ЗП} = T \cdot C_r , \quad (7.1)$$

де  $T$  — норма часу на ремонт рульової рейки, люд.-год.;  
 $C_r$  — годинна тарифна ставка робітника, грн.  $C_r = 20$  грн.

$$T = 6,5 \text{ люд.-год}$$

$$ЗП = 6,5 \cdot 20 = 130 \text{ (грн.)}.$$

**НУБІП України**

Дана сума включає в себе ремонт рульової рейки автомобіля і витрати на розбирання і загальне збирання.

Визначаємо премію робітників, яка становить 40 % від

відрядної зарплати:

$$\Pi = \frac{ЗП \cdot 40}{100}, \text{ грн.}$$

(7.2)

Тому загальна премія всіх робітників становить:

$$П = \frac{130 \cdot 40}{100} = 52 \text{ (грн.)}.$$

Визначаємо основну заробітну плату:

$$ОЗП = ЗП + П, \text{ грн.}$$

(7.3)

$$ОЗП = 130 + 52 = 182 \text{ (грн.)}.$$

Додаткова заробітна плата може становити 12 % від основної зарплати, тому:

$$ДЗП = 0,12 \cdot ОЗП, \text{ грн.}$$

(7.4)

$$ДЗП = 0,12 \cdot 182 = 21,84 \text{ (грн.)}.$$

Відрахування у фонд соціального страхування складає 37,5 % від суми основної і додаткової зарплати:

$$Нс = 0,375 \cdot (ОЗП + ДЗП), \text{ грн.}$$

(7.5)

$$Нс = 0,375 \cdot (182,84 + 21,84) = 76,75 \text{ (грн.)}.$$

Визначаємо загальний фонд зарплати:

$$ЗФЗП = ОЗП + ДЗП + Нс, \text{ грн.}$$

(7.6)

$$ЗФЗП = 182 + 21,84 + 76,75 = 280,59 \text{ (грн.)}.$$

Накладні витрати визначаємо за формулою:

$$З_{HB} = \frac{ЗФЗП \cdot K_{HB}}{100}, \text{ грн.}$$

(7.7)

де  $K_{HB}$  – коефіцієнт накладних витрат складає 80%.

$$З_{HB} = \frac{280,59 \cdot 80}{100} = 224,47 \text{ (грн.)}.$$

Вартість ремонтних матеріалів складає:

Ви = 1850 грн.

**НУБІП України**

## ЗАГАЛЬНІ ВИСНОВКИ

НУБІП України  
В процесі виконання магістерської роботи здійснено розробку

технпроцесу діагностування, розборки та складання різних рульови рейок які мають гідропідсилювач і які не мають підсилювач керма автомобіля AUDI; здійснено розробку техпроцесу розбирання або збирання механізмів рульового керування.

Задля спрощення робіт з демонтажу при розбиранні було розроблено конструкцію спецпристосування – знімача підшипників, та стенд розбирання

рульових механізмів.

Проведено аналіз підвіски і вибрано варіанти вирішення поставленої проблеми. Наведено характеристику експлуатаційної надійності і безпеки руху.

Представлено математичну модель функціонування підвіски автомобіля за розрахунковою схемою транспортного засобу з пружнодемпфіруючим.

Розглянуто схему і рівняння стійкості і керованості руху автомобіля. Наведено результати випробувань підвіски.

В економічній частині представлено розрахунок техніко-економічних показників економічний ефект від впровадження запропонованого

технологічного процесу та витрати на розробку приспособлення.

Наведено вимоги безпеки під час проведення технічного обслуговування автомобілів та під час проведення ТО. Дано аналіз причин травматизму на виробництві.

НУБІП України

НУБІП України

# СПИСОК ВИКОРИСТАНИХ ДЖЕРЕЛ

1. Anders G. J. Innovations in power systems reliability. Springer. 2011. 361 p.

2. Delphi Diesel Systems, Publication № DDX125(EN) Delphi Diesel Aftermarket Operations UK, 2012. 76 p.

3. Endrenyi J. Comparison of two methods for evaluating the effects of maintenance on component and system reliability. IEEE International Conference Probabilistic Methods Applied to Power Systems. 2014. P. 307–312.

4. Endrenyi J. The Present Status of Maintenance Strategies and the Impact of Maintenance on Reliability. A Report of the Probability Application Subcommittee.

IEEE Transactions on Power Systems. 2011. Vol. 16. № 4. P. 638–646.

5. Ge H. Maintenance optimization for substations with aging equipment: a dissertation for the degree of Phd. Lincoln, Nebraska. 2010. 212 p.

6. Hampel R., Kurr D., Scbefenadcer H. Elektronisches Messystem zur digitalen Erfassung und Auswertung von Indikatordiagrammen. 2015. № 2. P. 33–38.

7. Latino M. A. Behavioral based reliability. Machinery Reliability Conference. 2020. April. <http://reliability.com/industry/articles/article36.pdf>.

8. Smykov S. V., Seregin A. A., Nikitchenko S. I., Kurochkin V. N., Valuev N. V. Hinged aggregate for technical maintenance of machines: Modeling, testing and conditions of application. Journal of Mechanical Science and Technology. 2018.

9. Wegrzyn, J. Liquefied Natural Gas for Trucks and Buses. SAE Technical Paper Series. 2018 № 2000-01-2210.

10. Zehn Prozent Biokraftstoff fur Alle. Verein Deutscher Ingenieure. VDINachrichten. 2015. Jg. 59. № 47. 8 p.

11. Hunt D. Farm power and machinery management. Tenth edition Agricultural Engineering. 2013. Dubli. Vol. 3. P. 1703-1709.

12. Onwualu A. P., Akubuo C. O., Ahaneke U. E. Fundamentals of Engineering for Agriculture Immaculate Publications Limited. 2 Aku stree, Ogui New Layout, Enugu, Nigeria. 2006. 186 p.

13. Ojha T. P., Michael A. M. Principles of Agricultural Engineering. Vol. 1. Jain Brothers. New Delhi (sixth edition). 2012. 210 p.

14. Yohanna J. K., Ifem, J. L. C. Performance evaluation of field efficiency of farm machinery in Nasarawa and plateau state. Proceeding of the Nigerian Institution of Agricultural Engineers. 2013. P. 88-92.

15. Kepner R. A, Bainer R, Barger E. L. Principles of Farm Machinery, AVI Publishing Company Inc. Wester port. 2016. 208 p.

16. Oduma O., Igwe J. E., Ntande D. I. Performance evaluation of field efficiencies of some tractor drawn implement in Ebonyi State. International Journal of Engineering and Technology. 2013. Vol. 5(4). P. 45-50.

17. Agricultural field machinery selection and utilization for improved farm operations in South-East Nigeria: A review. Available from: [https://www.researchgate.net/publication/335951790\\_Agricultural\\_field\\_machinery\\_selection\\_and\\_utilization\\_for\\_improved\\_farm\\_operations\\_in\\_South-East\\_Nigeria\\_A\\_review](https://www.researchgate.net/publication/335951790_Agricultural_field_machinery_selection_and_utilization_for_improved_farm_operations_in_South-East_Nigeria_A_review) [accessed Mar 02 2020].

18. William E. Crop – Machinery Management. Lower State University Extension and Outreach. Dept. of Economics, 2015. P. 641-732-5574.

19. Анікевич Л. В. Системи керування нормами внесення матеріалів в технологіях точного землеробства : автореф. дис. на здобуття наук. ступеня д-ра техн. наук : 05.05.11 Машини і засоби механізації сільськогосподарського виробництва. Київ. 2005. 36 с.

20. Аулін В. В., Голуб Д. В., Гриньків А. В., Лисенко С. В. Методологічні та теоретичні основи забезпечення та підвищення надійності функціонування автомобільних транспортних систем: монографія. Кропивницький. Видавництво ТОВ "КОД", 2017. 370 с.

21. Аулін В. В., Гриньків А. В. Методика вибору діагностичних параметрів технічного стану 248 транспортних засобів на основі теорії сенситивів. Технічний сервіс агропромислового, лісового та транспортного комплексів. 2016. №5. С. 109–116.

22. Аулін В. В., Гриньків А. В. Проблеми і задачі ефективності системи технічної експлуатації мобільної сільськогосподарської та автотранспортної техніки. Вісник Житомирського державного технологічного університету.

Серія технічні науки. 2016. №2 (77). С. 36–41.

23. Аулін В. В., Гриньків А. В. Проблеми і задачі ефективності системи технічної експлуатації мобільної сільськогосподарської та автотранспортної

техніки. Вісник Житомирського державного технологічного університету.

Серія технічні науки. 2016. №2 (77). С. 36–41.

24. Аулін В. В., Гриньків А. В. Теоретичне обґрунтування моментів контролю технічного стану систем і агрегатів засобів транспорту. Технічний сервіс агропромислового, лісового та транспортного комплексів. 2017. №8. С. 9–20.

25. Аулін В. В., Гриньків А. В., Замота Т. М. Забезпечення та підвищення експлуатаційної надійності транспортних засобів на основі використання методів теорії чутливості. Вісник інженерної академії України. 2015. №3. С. 66–72.

26. Аулін В. В., Лисенко С. В., Голуб Д. В., Гриньків А. В., Мартиненко О. Д. Теоретико-фізичний підхід до діагностичної інформації про технічний стан агрегатів мобільної сільськогосподарської техніки. Вісник Харківського національного технічного університету сільського господарства. Харків. 2015. Вип. 158. С. 252–262.

27. Аулін В. В., Лисенко С. В., Кузик О. В., Гриньків А. В., Голуб Д. В. Трибофізичні основи підвищення надійності мобільної сільськогосподарської та автотранспортної техніки технологіями триботехнічного відновлення: монографія. Кропивницький. 2016. 304 с.

28. Бабанін О. Б. Наукові основи вдосконалення технологій контролю, діагностування та матеріально-технічного забезпечення при технічному обслуговуванні локомотивів: Дис... докт. техн. наук: 05.22.07 Рухомий склад залізниць та тяга поїздів. Харківська державна академія залізничного транспорту. Харків, 2001. 288 с.

29. Бабіюк Г. В. Системне обґрунтування і розробка адаптивних способів забезпечення надійності гірничих виробок: Дис... докт. техн. наук 05.15.04 шахтне та підземне будівництво. Донбаський державний технічний університет. Дніпропетровськ, 2005. 522 с.

30. Біловод О. І. Підвищення надійності і обґрунтування параметрів процесу виробництва і відновлення розроблених дискових копачів бурякозбиральних машин : автореферат дисертації на здобуття наукового ступеня кандидата технічних наук : 05.05.11 Машини і засоби механізації сільськогосподарського виробництва. Харків. 2008. 20 с.

31. Бірюков Д. С. Аналіз та оптимізація надійності складних систем з багатьма станами : автореф. дис... канд. техн. наук: 01.05.04. Київ. нац. ун-т імені Тараса Шевченка. Київ. 2009. 20 с.
32. Боднар Є. Б. Підвищення експлуатаційної надійності локомотивів шляхом впровадження раціональної системи утримування: Дис... канд. техн. наук 05.22.07 рухомий склад залізниць та тяга поїздів. Дніпропетровський національний університет залізничного транспорту імені академіка В. Лазаряна. Харків, 2004. 161 с.
33. Бойко А. І. Тенденції розвитку вітчизняного сільгоспмашинобудування і проблем забезпечення надійності машин. Науковий вісник Національного аграрного університету. Київ. НАУ, 2004 Вип. 73. Ч. 2. С. 181–183.
34. Бойко Ю. Ф. Исследование и обоснование технологического процесса технического обслуживания трактора сельскохозяйственного назначения (на примере трактора Т-40А). Автореф. дис... канд. техн. наук: 05.20.03 эксплуатация и ремонт сельскохозяйственных машин и орудий. Государственный всесоюзный научно-исследовательский технологический институт ремонта и эксплуатации машинно-тракторного парка. Москва. 1977 19 с.
35. Бондаренко В. В. Удосконалення технології технічного обслуговування та діагностиування електрообладнання пасажирських вагонів: Дис... канд. техн. наук 05.22.07 рухомий склад залізниць та тяга поїздів. Українська державна академія залізничного транспорту. Харків. 2002. 194 с.
36. Боузаєнне Меккі бен Салем. Удосконалення урахування впливу регіональних факторів на процес технічного обслуговування авіаційної техніки (на прикладі району Середземного моря): дис... канд. техн. наук: 05.22.20. Національний авіаційний ун-т. Київ. 2006. 186 с.
37. Броди С. М., Погосян И. А. Вложенные стохастические процессы в теории массового обслуживания. Київ. Наукова думка. 1973. 127 с.
38. Адамчук В. В. Стан наукового забезпечення механізації сільського господарства в Україні. Техніко-технологічні аспекти розвитку та випробування нової техніки і технологій для сільського господарства України. Дослідницьке: УкрНДПВТ ім. Л. Погорілого, 2009. Вип. 19., кн. 1. С. 21–29.

39. Гуков Я. С. Наукове забезпечення формування державної політики стосовно відтворення та оновлення матеріально-технічної бази агропромислових підприємств. Механізація та електрифікація сільського господарства. 2008. Вип. 92. С. 13–25.
40. Агєєва І. В. Розвиток системи інженерно-технічного обслуговування. Вісник Харківського національного технічного університету сільського господарства імені Петра Василенка. Харків, 2007. Вип. 54. С. 160–168.
41. Демко О. А. Вплив кваліфікації операторів на ефективність використання машин. Науковий вісник Національного університету біоресурсів і природокористування України. 2009. Вип. 134, Ч.2. С. 159–169.
42. Васильєва Н. К. Економіко-математичне моделювання системного інноваційного оновлення аграрного виробництва. автореф. дис. на здобуття наук. ступеня д-ра екон. наук : 08.00.11 Математичні методи, моделі та інформаційні технології в економіці. Київ. 2007. 36 с.
43. Войтюк В. Д. Техніко-технологічний розвиток системи сервісу енергонасичної сільськогосподарської техніки: автореф. дис. на здобуття наук. ступеня д-ра техн. наук : 05.05.11 Машини і засоби механізації сільськогосподарського виробництва. Мелітополь, 2012. 39 с.
44. Волк М. О. Методи та засоби розподіленого імітаційного моделювання електронних систем: дис... канд. техн. наук 01.05.02 Математичне моделювання та обчислювальні методи. Харківський державний технічний університет радіоелектроніки. Харків, 1999. 189 с.
45. Волох О. П. Методика обґрунтування раціональних значень параметрів технічного обслуговування машин інженерного озброєння при їх використанні за призначенням: дис... канд. техн. наук: 20.02.14 Озброєння і військова техніка. Військовий інженерний інститут Подільського державного аграрно-технічного університету. Кам'янець-Подільський, 2006. 175 с.
46. Грабко В. В. Методи і пристрої для технічної діагностики та автоматичного керування силовим електрообладнанням: дис... д-р техн. наук: 05.13.05 Елементи та пристрої обчислювальної техніки та систем керування. Вінницький національний технічний університет Вінниця, 2004. 384 с.

47. Кузьмінський Р. Д. Системно-функціональні засади синтезу технологічних ліній і дільниць ремонту вузлив та агрегатів мобільної техніки рільництва : автореф. дис. на здобуття наук. ступеня д-ра техн. наук : 05.05.11

Машини і засоби механізації сільськогосподарського виробництва. Глеваха, 2013. 40 с.

48. Кухтю В. Г. Методи оцінки довговічності конструкцій шасі колесних тракторів: Дис... д-р техн. наук: 05.22.20 Експлуатація та ремонт засобів транспорту. Харківський національний автомобільно-дорожній університет. Харків, 2006. 329 с.

49. Ларін О. М. Теоретичні основи оцінки працездатності шин легкового автомобіля в експлуатації: Дис... д-р техн. наук: 05.22.20 Експлуатація та ремонт засобів транспорту. Академія пожежної безпеки України. Львів, 2001. 344 с.

50. Лобода А. В. Розробка організаційної структури забезпечення якості в автосервісі: Дис... канд. техн. наук: 05.13.22. Національний транспортний ун-т. Київ, 2004. 162 с.

51. Пожковський А. Г. Аналіз і синтез систем розподілу інформації в умовах мультисервісного трафіка : автореф. дис... д-ра техн. наук : 05.12.02 Одес. нац. акад. зв'язку імені О.С. Попова. Одеса, 2010. 36 с.

52. Луханін М. І. Моделювання залізничних транспортних коридорів на фазі поширення мереж: Петрі: Дис... канд. техн. наук: 05.22.20 Українська держ. академія залізничного транспорту. Харків, 2003. 163 с.

53. Мамонова Г. В. Багатоканальні системи обслуговування у схемі усереднення та дифузійної апроксимації : автореф. дис... канд. фіз.-мат. наук: 01.05.04. Київ. нац. ун-т імені Тараса Шевченка. Київ, 2007. 18 с.

54. Мартиненко В. Я. Механіко-технологічні основи підвищення ефективності робочих органів гічкозбиральних машин: Дис... д-ра техн. наук: 05.05.11. ВАТ "Тернопільський комбайновий завод". Тернопіль, 2000. 374 с.

55. Мартинишин Я. М. Організація ремонтно-технічного обслуговування в аграрних підприємствах України : автореф. дис. на здобуття наук. ступеня д-ра екон. наук : 08.00.04 Економіка та управління підприємствами. Миколаїв, 2009. 37 с.

56. Мигаль В. Д. Вібраційні методи оцінки якості тракторів на стадіях проектування, виготовлення та експлуатації. Дис... д-р техн. наук: 05.22.20 Експлуатація та ремонт засобів транспорту. Харківський національний автомобільно-дорожній університет. Харків, 2003. 513 с.

57. Молодик М. В. Основні напрями досліджень з підвищення надійності сільськогосподарської техніки при експлуатації і відновленні ремонти. Вісник аграрної науки. 2010. № 5. С. 110–113.

58. Молодик М. В. Оцінювання надійності машин при експлуатації, технічному обслуговуванні і ремонті. Механізація та електрифікація сільського господарства. Глеваха, 2008. Вип. 92. С. 381–389.

59. Молодик М. В. Теоретичні передумови оцінки впливу технічного обслуговування і ремонту на надійність машин. Науковий вісник Національного університету біоресурсів і природокористування України. КИЇВ 2010. Вип. 144, ч. 1. С. 75–80.

60. Молодик М. В. Наукові основи системи технічного обслуговування і ремонту машин у сільському господарстві: монографія. Кіровоград: Код, 2009. 180 с.

61. Молодик М. В. Оцінка надійності електрообладнання зернозбиральних комбайнів. Механізація та електрифікація сільського господарства. Глеваха, 2010. Вип. 94. С. 419–425.

62. Морозов В. І. Вивчення якості роботи кормозбиральних машин. Вісник Харківського національного технічного університету сільського господарства імені Петра Василенка. Економічні науки. Харків: ХНТУСГ, 2017 Вип. 65. С. 166–171.

63. Норкін В. І. Стохастичні методи розв'язання задач неопуклого стохастичного програмування та їх застосування. Дис... докт. фіз.-мат. наук 01.05.01 Теоретичні основи інформатики та кібернетики. Інститут кібернетики імені В. М. Глушкова. Київ. 1998. 250 с.

64. Парацій В. А. Стохастичне прогнозування довговічності металоконструкцій причіпних обприскувачів: Дис... канд. техн. наук: 05.05.11. Тернопільський держ. технічний ун-т ім. Івана Пулюя. Тернопіль. 2000. 122 с

65. Пастушенко С. І. Розвиток наукових основ розробки сільськогосподарської техніки підвищеної енергоефективності: автореф. дис.

- на здобуття наук. ступеня д-ра техн. наук : 05.05.11 Машини і засоби механізації сільськогосподарського виробництва. Київ. 2004. 32 с.
66. Підгурський М. І. Методи прогнозування ресурсу несучих і функціональних систем бурякозбиральних комбайнів : автореф. дис. на здобуття наук. ступеня д-ра техн. наук : 05.05.11 Машини і засоби механізації сільськогосподарського виробництва. Тернопіль, 2007. 36 с. ○○
67. Постанова Кабінету Міністрів України "Про затвердження Державної цільової програми реалізації політики в агропромисловому комплексі на період до 2020 року" №785 від 30.05.2007р.
68. Постанова Кабінету Міністрів України від 19 вересня 2007 року № 1158 «Про затвердження Державної цільової програми розвитку українського села на період до 2015 року»
69. Пустовіт С. В. Підвищення ефективності роботи зернозбирального комбайна : автореф. дис. на здобуття наук. ступеня канд. техн. наук : 05.05.11 Машини і засоби механізації сільськогосподарського виробництва. С. В. Пустовіт. Вінниця, 2013. 19 с. ○○
70. Пустовойтенко С. В. Забезпечення якості послуг в автосервісі на основі оптимізації виробничих процесів: Дис. ... канд. техн. наук: 05.13.22. Національний транспортний ун-т. Київ. 2002. 178 с.
71. Рибак Т. Прогнозування ресурсу роботи мобільних сільськогосподарських машин. Техніко-технологічні аспекти розвитку та випробування нової техніки і технологій для сільського господарства України. Дослідницьке. 2004. Вип. 7. С. 149-161.
72. Розора І. В. Моделювання випадкових процесів та полів із даною точністю та надійністю: Дис... канд. фіз.-мат. наук 01.01.05 теорія ймовірностей і математична статистика. Київський національний університет імені Тараса Шевченка. Київ. 2005. 126 с.
73. Савченко В. Б. Забезпечення надійності сільськогосподарських машин і технологічних комплексів: дис. ... канд. техн. наук. 05.05.11 Машини і засоби механізації сільськогосподарського виробництва. Харківський державний технічний університет сільського господарства. Харків. 2001. 156 с.
74. Ткалич О. П. Методика визначення оптимального періоду проведення технічного обслуговування новітряних суден вітчизняного

виробництва. Дисертація на здобуття наукового ступеня кандидата технічних наук. 05.22.20 Експлуатація та ремонт засобів транспорту. Національний авіаційний університет. Київ, 2007. 130 с.

75. Яцковський В. І. Удосконалення вібраакустичного методу діагностування паливної апаратури автотракторних дизелів: Дис... канд. техн.

наук 05.05.11 Машини і засоби механізації сільськогосподарського виробництва. Вінницький державний аграрний університет. Вінниця, 2006. 160 с.

76. Роговський І. Л. Обґрунтування періодичності профілактичних регулювань або замін деталей при технічному обслуговуванні

сільськогосподарських машин. Вісник Харківського державного технічного університету сільського господарства. Харків. 2003. Вип. 20. С. 346–352.

77. Роговський І. Л. Обґрунтування періодичності проведення профілактичних заходів технічного обслуговування сільськогосподарських машин. Вісник Харківського державного технічного університету сільського

господарства. Харків. 2003. Вип. 21. С. 366–373.

78. Роговський І. Л. Аналітичні дослідження обґрунтування періодичності технічного обслуговування сільськогосподарських машин.

Конструювання, виробництво та експлуатація сільськогосподарських машин. Кіровоград. 2003. Вип. 33. С. 209–215.

79. Роговський І. Л. Удосконалення технологій технічного обслуговування зернозбиральних комбайнів. Праці Таврійської державної агротехнічної академії. Мелітополь. 2003. Вип. 16. С. 123–127.

80. Роговський І. Л. Аналіз форм процесу технічного обслуговування сільськогосподарських машин. Механізація виробничих процесів рибного

господарства, промислових і аграрних підприємств. Керч. 2004. Вип. 5. С. 278–285.

81. Роговський І. Л. Фактична періодичність проведення технічного обслуговування сільськогосподарських машин. Вісник Харківського

державного технічного університету сільського господарства. Харків. 2004. Вип. 23. С. 338–342.

82. Роговський І. Л. Методичне обґрунтування періодичності технічного обслуговування сільськогосподарських машин. Вісник Львівського

- державного аграрного університету. Серія: агротехнічні дослідження. Дубляни. 2004. Вип. 8. С. 149–157.
83. Роговський І. Л. Показники технічного стану зернозбиральних комбайнів і послідовність їх визначення при технічному обслуговуванні. Науковий вісник Національного аграрного університету. Київ. 2004. Вип. 73. С. 192–197.
84. Роговський І. Л. Аналітичне визначення факторів впливу на коефіцієнт готовності сільськогосподарських машин в системі їх технічного обслуговування. Конструювання, виробництво та експлуатація сільськогосподарських машин. Кіровоград. Вип. 35. С. 224–228.
85. Роговський І. Л. Відмови зернозбиральних комбайнів в умовах рядової експлуатації та їх класифікація. Науковий вісник Національного аграрного університету. Київ. 2005. Вип. 80. С. 200–206.
86. Роговський І. Л. Пристосованість до технічного обслуговування кормозбирального комбайна. Праці Таврійської державної агротехнічної академії. Мелітополь. 2006. Вип. 36. С. 39–44.
87. Роговський І. Л. Безвідмовність складальних одиниць сільськогосподарських машин при поступових відмовах. Праці Таврійської державної агротехнічної академії. Мелітополь. 2006. Вип. 37. С. 67–71.
88. Роговський І. Л. Сезонні показники експлуатаційної безвідмовності і ремонтонадійності зернозбиральних комбайнів. Науковий вісник Національного аграрного університету. Київ. 2006. Вип. 101. С. 199–203.
89. Роговський І. Л. Методологічність технічного обслуговування при зберіганні сільськогосподарських машин. Праці Таврійської державної агротехнічної академії. Мелітополь. 2006. Вип. 41. С. 112–118.
90. Роговський І. Л. Оцінювання пристосованості до технічного обслуговування зернозбирального комбайна. Техніко-технологічні аспекти розвитку та вин庖ування нової техніки і технологій для сільського господарства України. Дослідницьке. 2006. Вип. 9. Кн. 2. С. 236–241.
91. Роговський І. Л. Оцінка безвідмовності газорозподільного механізму зернозбирального комбайна ”Славутич” і періодичність його регулювання при технічному обслуговуванні. Механізація і електрифікація сільського господарства. Глеваха. 2006. Вип. 90. С. 135–142.